



รายงานการวิจัย

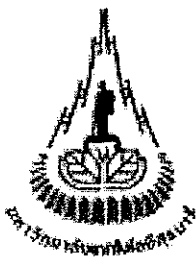
การระบุเอกสารลักษณ์อาร์มอนิกสำหรับวงจรกรองกำลังไฮบริด

(Harmonic Identification for Hybrid Power Filter)

ได้รับทุนอุดหนุนการวิจัยจาก

มหาวิทยาลัยเทคโนโลยีสุรนารี

ผลงานวิจัยเป็นความรับผิดชอบของหัวหน้าโครงการวิจัยแต่เพียงผู้เดียว



รายงานการวิจัย

การระบุเอกลักษณ์ฮาร์มอนิกสำหรับวงจรกรองกำลังไฮบริด (Harmonic Identification for Hybrid Power Filter)

คณะผู้วิจัย

หัวหน้าโครงการ

ศาสตราจารย์ นราภากาศโภ ดร. สราฐดิ ลูอิตอร์

สาขาวิชาวิศวกรรมไฟฟ้า

สำนักวิชาวิศวกรรมศาสตร์

มหาวิทยาลัยเทคโนโลยีสุรนารี

ผู้ร่วมวิจัย

นายชินพัฒน์ ชนะตรา拉ลักษณ์

ได้รับทุนอุดหนุนการวิจัยจากมหาวิทยาลัยเทคโนโลยีสุรนารี ปีงบประมาณ พ.ศ. 2550

ผลงานวิจัยเป็นความรับผิดชอบของหัวหน้าโครงการวิจัยแต่เพียงผู้เดียว

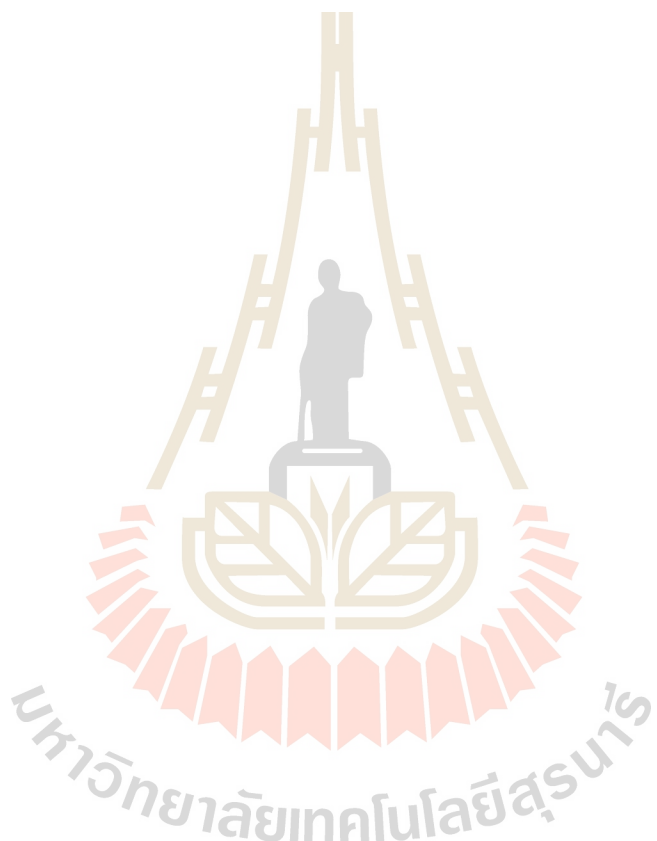
กันยายน 2550

กิตติกรรมประกาศ

ขอขอบคุณ มหาวิทยาลัยเทคโนโลยีสุรนารี ใน การสนับสนุนงบประมาณการเข้าร่วม
ประชุมวิชาการนานาชาติ และขอบคุณคุณชินพัฒน์ ชนะถาวราลักษณ์ เป็นอย่างยิ่งในความ
ช่วยเหลือด้านต่าง ๆ มากmany ขอบคุณคุณย์เกรียงมีวิทยาศาสตร์และเทคโนโลยี มหาวิทยาลัย
เทคโนโลยีสุรนารี ที่อำนวยความสะดวกในการใช้ห้องปฏิบัติการ

ผู้จัด

กรกฎาคม 2552

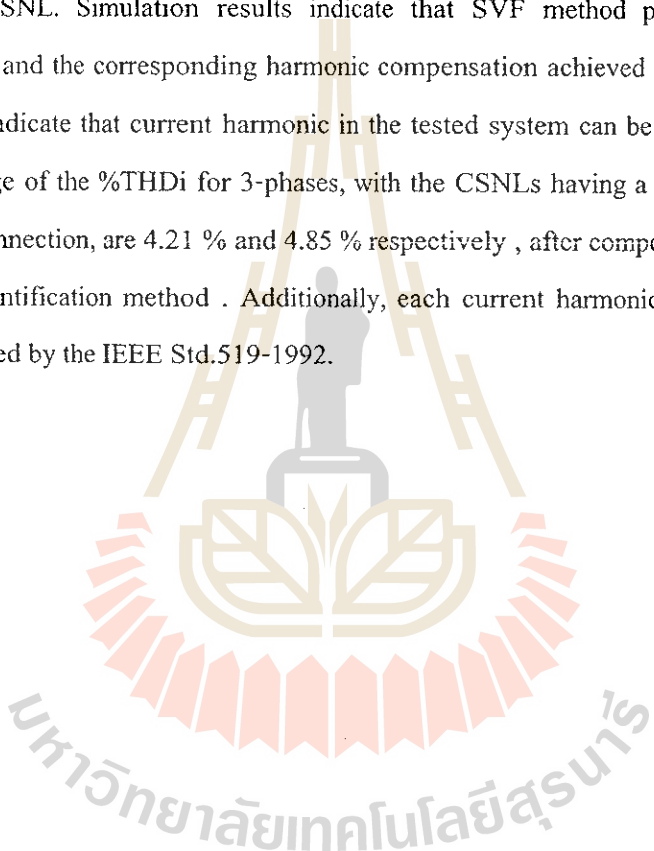


บทคัดย่อ

งานวิจัยนี้นำเสนอวิธีใหม่สำหรับการระบุเอกสารลักษณ์ชาร์มอนิกใช้งานกับวงจรกรองกำลังไฟบิด เป็นการดำเนินงานวิจัยข่ายผลจากงานวิจัยเดิมที่เป็นการพัฒนาวิธี DQF สำหรับระบุเอกสารลักษณ์ชาร์มอนิกในระบบสามเฟส งานวิจัยนี้นำเสนอวิธีประยุกต์ SWFA บนองค์ประกอบ $\alpha, \beta, 0$ หรือวิธี SVF ในการระบุเอกสารลักษณ์ชาร์มอนิกให้กับวงจรกรองกำลังไฟบิดได้อย่างมีประสิทธิผล ได้ทำการทดสอบการทำงานของอัลกอริทึมด้วยการจำลองผลและด้วยการทดลองในห้องปฏิบัติการ ระบบทดสอบมีโหลดเป็นชนิดแหล่งจ่ายกระแสไม่เป็นเชิงเส้น (current source nonlinear load, CSNL) ผลการจำลองพบว่าการระบุเอกสารลักษณ์ด้วยวิธี SVF ให้ข้อมูลชาร์มอนิกที่ถูกต้อง การซ�เซยชาร์มอนิกทำได้ดีเกือบสมบูรณ์แบบ ในผลการทดสอบพบว่าสามารถลดทอนชาร์มอนิกในกระแสได้มากกว่าร้อยละ 80 ค่าเฉลี่ยของ %THDi รวมทั้งสามเฟสเมื่อโหลด CSNL เป็นวงจรเรียงกระแสและตัวต้านทาน หรือตัวต้านทานอนุกรมกับตัวหนีไฟนานาเป็น 4.21 % และ 4.85 % ตามลำดับ ภายหลังการซ�เซยด้วยวงจรกรองกำลังไฟบิดที่ใช้วิธี SVF ระบุเอกสารลักษณ์ชาร์มอนิก ตลอดจนชาร์มอนิกของกระแสแต่ละอันคับถูกกำจัดไว้ในกรอบมาตรฐาน IEEE Std.519-1992 เป็นอย่างดี

Abstract

This research project proposes a new method for harmonic identification to be used with a hybrid power filter. The work is an extension of the previous work which originally proposed the DQF harmonic identification method for a 3-phase system. The newly proposed method is the application of the SWFA (sliding – window Fourier analysis) over the $(\alpha, \beta, 0)$ components called shortly the SVF method for harmonic identification for a hybrid power filter. The algorithm has been tested against simulation and experiments in our laboratory. The load of the tested system is a CSNL. Simulation results indicate that SVF method provides accurate harmonic information, and the corresponding harmonic compensation achieved is almost perfect. Experimental results indicate that current harmonic in the tested system can be reduced to more than 80 % , the average of the %THDi for 3-phases, with the CSNLs having a 3-phase rectifier with Rs and RLs in connection, are 4.21 % and 4.85 % respectively , after compensation based on the SVF harmonic identification method . Additionally, each current harmonic order is limited well below that specified by the IEEE Std.519-1992.



สารบัญ

	หน้า
กิตติกรรมประกาศ	ก
บทคัดย่อภาษาไทย	ข
บทคัดย่อภาษาอังกฤษ	ค
สารบัญ	ง
สารบัญตาราง	ฉ
สารบัญภาพ	ช
บทที่ 1 บทนำ	1
1.1 ความสำคัญและที่มาของปัญหาการวิจัย	2
1.2 วัตถุประสงค์ของโครงการวิจัย	2
1.3 ขอบเขตของการวิจัย	2
1.4 ขั้นตอนการวิจัย	2
1.5 ประโยชน์ที่คาดว่าจะได้รับ	2
บทที่ 2 ประเภทของวงจรกรองกำลัง	3
กตัวรวม	3
2.1 วงจรกรองกำลังพาสซีฟ	3
2.2 วงจรกรองกำลังแยกทีฟ	6
2.3 วงจรกรองกำลังไยบริด	7
2.5 สรุป	11
บทที่ 3 ทฤษฎีที่เกี่ยวข้องเกี่ยวกับการระบุเอกสารลักษณ์haar์มอนิก	12
3.1 กตัวรวม	12
3.2 การระบุเอกสารลักษณ์haar์มอนิกสำหรับวงจรกรองกำลังแยกทีฟด้วยวิธี DQF	12
3.3 การระบุเอกสารลักษณ์haar์มอนิกสำหรับวงจรกรองกำลังไยบริด	
ตัวบวชีประยุกต์ SWFA บนแกน $\alpha, \beta, 0$	15
3.4 สรุป	19
บทที่ 4 ผลการจำลองสถานการณ์การกำจัดhaar์มอนิก	20
4.1 กตัวรวม	20
4.2 โครงสร้างของระบบทดสอบ	20
4.3 การจำลองสถานการณ์การกำจัดhaar์มอนิกสำหรับวงจรกรองกำลังพาสซีฟ	21

สารบัญ (ต่อ)

	หน้า
4.4 การจำลองสถานการณ์การกำจัดหาร่มอนิกสำหรับวงจรกรองกำลังแยกทีฟ	25
4.5 การจำลองสถานการณ์การกำจัดหาร่มอนิกสำหรับวงจรกรองกำลังไอบริดแบบที่ 1	26
4.6 การจำลองสถานการณ์การกำจัดหาร่มอนิกสำหรับวงจรกรองกำลังไอบริดแบบที่ 2	27
4.7 อภิปรายผล	58
บทที่ 5 ผลการทดสอบและการกำจัดหาร่มอนิก	60
5.1 กล่าวว่า	60
5.2 ผลทดสอบกรณีโหลดของวงจรเรียงกระแสเป็นความต้านทานเพียงอย่างเดียว	60
5.3 ผลทดสอบกรณีโหลดของวงจรเรียงกระแสเป็นความต้านทาน ต่ออุปกรณ์กับตัวเหนือขวาน้ำ	64
5.4 สรุป	68
บทที่ 6 สรุปและข้อเสนอแนะ	70
6.1 สรุป	70
6.2 ข้อเสนอแนะ	71
บรรณานุกรม	72
ประวัติผู้วิจัย	73

มหาวิทยาลัยเทคโนโลยีสุรนารี

สารบัญตาราง

หน้า

ตาราง 4.1 สรุปผลการจำลองสถานการณ์ทั้งก่อนและหลังการกำจัดชาร์มนิก โดยผลที่นำ เสนอเป็นค่า %THD ; ในแต่ละเฟส และค่า %THD ; เนลลี่ (%THD _{i,ave})	55
ตาราง 4.2 สรุปผลการจำลองสถานการณ์ทั้งก่อนและหลังการกำจัดชาร์มนิก โดยแสดงค่า กระแส (I rms) และพิกัดกำลังไฟฟ้าของระบบ (VA) ณ จุดต่างๆ	56
ตาราง 4.3 สรุปผลการจำลองสถานการณ์ทั้งก่อนและหลังการกำจัดชาร์มนิก โดยแสดงค่า %THD ; ในแต่ละเฟส และค่า %THD ; เนลลี่ (%THD _{i,ave}) ค่ากระแส (I rms) และ ⁵⁷ พิกัดกำลังไฟฟ้าของระบบ (VA) ณ จุดต่างๆ	
ตาราง 5.1 ผลการทดสอบการกำจัดชาร์มนิกในสภาวะที่โหลดของระบบเป็นวงจรเรียงกระแส สามเฟสที่มีโหลดเป็นความต้านทานเพียงอย่างเดียว	64
ตาราง 5.2 ผลการทดสอบการกำจัดชาร์มนิกในสภาวะที่โหลดของระบบเป็นวงจรเรียงกระแส สามเฟสที่มีโหลดเป็นความต้านทานคืออนุกรมกับดั้วนหนึ่ง	68



สารบัญภาพ

	หน้า
รูปที่ 1.1 แผนภาพแสดงการกำจัดสาร์มชนิกตัวบวชของกำลังไอยบวิค	1
รูปที่ 2.1 (ก) วงจรกรองปัรบคลีนเดียว, (ข) ความสัมพันธ์ของอิมพีడेनซ์กับความถี่	5
รูปที่ 2.2 โครงสร้างวงจรกรองผ่านสูงชนิดต่างๆ	5
รูปที่ 2.3 ความสัมพันธ์ของอิมพีడेनซ์กับความถี่ของวงจรกรองผ่านสูงอันดับสอง	6
รูปที่ 2.4 โครงสร้างวงจรกรองกำลังแยกที่ฟ์แบบบานาน	7
รูปที่ 2.5 โครงสร้างวงจรกรองกำลังแยกที่ฟ์แบบอนุกรม	7
รูปที่ 2.6 วงจรกรองกำลังไอยบวิคที่ใช้วงจรกรองกำลังพาสซีฟแบบบานานผสมกับวงจรกำลังแยกที่ฟ์แบบบานานสำหรับการใช้งานกับโหลดชนิดแหล่งจ่ายกระแสอันเป็นต้น กำเนิดคลื่นอนิก (CSNL)	7
รูปที่ 2.7 วงจรกรองกำลังไอยบวิคที่ใช้วงจรกรองกำลังพาสซีฟแบบอนุกรมผสมกับวงจรกรองกำลังแยกที่ฟ์แบบอนุกรมสำหรับการใช้งานกับโหลดชนิดแหล่งจ่ายกระแสอันเป็นต้น กำเนิดคลื่นอนิก(VSNL)	8
รูปที่ 2.8 วงจรกรองกำลังไอยบวิคที่ใช้วงจรกรองกำลังพาสซีฟแบบอนุกรมผสมกับวงจรกรองกำลังแยกที่ฟ์แบบบานานใช้งานกับโหลด CSNL	8
รูปที่ 2.9 วงจรกรองกำลังไอยบวิคที่ใช้วงจรกรองกำลังแยกที่ฟ์แบบบานานผสมกับวงจรกรองกำลังพาสซีฟแบบอนุกรมใช้งานกับโหลด VSNL	8
รูปที่ 2.10 วงจรกรองกำลังไอยบวิคที่ใช้วงจรกรองกำลังแยกที่ฟ์แบบอนุกรมผสมกับแบบบานาน ใช้งานกับโหลด CSNL	8
รูปที่ 2.11 วงจรกรองกำลังไอยบวิคที่ใช้วงจรกรองกำลังแยกที่ฟ์แบบบานานผสมกับแบบอนุกรมใช้งานกับโหลด VSNL	8
รูปที่ 2.12 วงจรกรองกำลังไอยบวิคที่ใช้วงจรกรองกำลังพาสซีฟแบบอนุกรมผสมกับแบบบานาน ใช้งานกับโหลด CSNL	9
รูปที่ 2.13 วงจรกรองกำลังไอยบวิคที่ใช้วงจรกรองกำลังพาสซีฟแบบบานานผสมกับแบบอนุกรมใช้งานกับโหลด VSNL	9
รูปที่ 2.14 การใช้วงจรกรองกำลังแยกที่ฟ์และพาสซีฟ ต่ออนุกรมกัน เพื่อใช้เป็นวงจรกรองกำลังไอยบวิคแบบบานานสำหรับโหลด CSNL	9
รูปที่ 2.15 การใช้วงจรกรองกำลังพาสซีฟต่อขนาดกับแยกที่ฟ์เพื่อใช้เป็นวงจรกรองไอยบวิคแบบอนุกรมสำหรับโหลด VSNL	9

สารบัญภาพ (ต่อ)

ໜັງ

รูปที่ 2.15 รูปแบบที่ 1 สำหรับช่วงลดขนาดแรงดันมูลฐานของวงจรกรองกำลังแยกทีพ แบบขนาน	9
รูปที่ 2.17 รูปแบบที่ 1 สำหรับช่วงลดขนาดกระแสมูลฐานของวงจรกรองกำลังแยกทีพ แบบอนุกรม	9
รูปที่ 2.18 รูปแบบที่ 2 สำหรับช่วงลดขนาดแรงดันมูลฐานของวงจรกรองกำลังแยกทีพ แบบขนาน	10
รูปที่ 2.19 รูปแบบที่ 2 สำหรับช่วงลดขนาดกระแสมูลฐานของวงจรกรองกำลังแยกทีพ แบบอนุกรม	10
รูปที่ 2.20 รูปแบบที่ 3 สำหรับช่วงลดขนาดแรงดันมูลฐานของวงจรกรองกำลังแยกทีพ แบบขนาน	10
รูปที่ 2.21 รูปแบบที่ 3 สำหรับช่วงลดขนาดกระแสมูลฐานของวงจรกรองกำลังแยกทีพ แบบอนุกรม	10
รูปที่ 2.22 รูปแบบที่ 4 สำหรับช่วงลดขนาดแรงดันมูลฐานของวงจรกรองกำลังแยกทีพ แบบขนาน	10
รูปที่ 2.23 รูปแบบที่ 4 สำหรับช่วงลดขนาดกระแสมูลฐานของวงจรกรองกำลังแยกทีพ แบบอนุกรม	10
รูปที่ 3.1 แผนภาพนิลีอกระบุเอกสารลักษณ์สาร์มอนิกด้วยวิธี DQF	13
รูปที่ 3.2 แผนภาพการคำนวณค่าสัมประสิทธิ์ A_{0d} และ A_{0q}	14
รูปที่ 3.3 แผนภาพการคำนวณค่าสัมประสิทธิ์ A_h และ B_h	16
รูปที่ 3.4 แผนภาพนิลีอกระบุเอกสารลักษณ์สาร์มอนิกด้วยวิธีประยุกต์ SWFA บนแกน $\alpha, \beta, 0$	17
รูปที่ 3.5 แผนภาพนิลีอกระบุเอกสารลักษณ์สาร์มอนิกด้วยวิธีประยุกต์ SWFA บนแกน $\alpha, \beta, 0$	18
รูปที่ 3.6 แผนภาพนิลีอกระบุเอกสารลักษณ์ด้วยวิธีประยุกต์ SWFA บนแกนเลือกกำจัด สาร์มอนิกเฉพาะอันดับที่ 5	18
รูปที่ 3.7 แผนภาพนิลีอกระบุเอกสารลักษณ์ด้วยวิธีประยุกต์ SWFA บนแกน $\alpha, \beta, 0$ เลือก กำจัดสาร์มอนิกเฉพาะอันดับที่ 5 และ 7	18
รูปที่ 3.8 แผนภาพนิลีอกระบุเอกสารลักษณ์ด้วยวิธีประยุกต์ SWFA บนแกน $\alpha, \beta, 0$ เลือก กำจัดสาร์มอนิกทุกอันดับที่ยกเว้นอันดับที่ 5	19

สารบัญภาพ (ต่อ)

	หน้า
รูปที่ 4.1 โครงสร้างของระบบทดสอบที่ใช้ในการจำลองสถานการณ์	20
รูปที่ 4.2 โครงสร้างของระบบที่ใช้ในการจำลองสถานการณ์การกำจัดยาเรื้อนนิก สำหรับวงจรกรองกำลังพาราเซ็ฟแบบบานานานิดปรับคลื่น	23
รูปที่ 4.3 โครงสร้างของระบบที่ใช้ในการจำลองสถานการณ์การกำจัดยาเรื้อนนิก สำหรับวงจรกรองกำลังพาราเซ็ฟแบบอนุกรม	24
รูปที่ 4.4 โครงสร้างของระบบที่ใช้ในการจำลองสถานการณ์การกำจัดยาเรื้อนนิก สำหรับวงจรกรองกำลังแยกทีฟ	26
รูปที่ 4.5 โครงสร้างของระบบที่ใช้ในการจำลองสถานการณ์การกำจัดยาเรื้อนนิก สำหรับวงจรกรองกำลังไอยบอริดแบบที่ 1	27
รูปที่ 4.6 แรงดันไฟฟ้าและกระแสไฟฟ้าที่เหลลงจากกำลังไฟฟ้าหลักก่อนการขาดเชย	28
รูปที่ 4.7 ผลการจำลองสถานการณ์เมื่อติดตั้งวงจรกรองกำลังพาราเซ็ฟที่กำจัดยาเรื้อนนิก เฉพาะอันดับที่ 5	29
รูปที่ 4.8 ผลการจำลองสถานการณ์เมื่อติดตั้งวงจรกรองกำลังพาราเซ็ฟที่กำจัดยาเรื้อนนิก เฉพาะอันดับที่ 7	30
รูปที่ 4.9 ผลการจำลองสถานการณ์เมื่อติดตั้งวงจรกรองกำลังพาราเซ็ฟที่กำจัดยาเรื้อนนิก เฉพาะอันดับที่ 5&7	31
รูปที่ 4.10 ผลการจำลองสถานการณ์เมื่อติดตั้งวงจรกรองกำลังแยกทีฟ (DQF)	32
รูปที่ 4.11 ผลการจำลองสถานการณ์เมื่อติดตั้งวงจรกรองกำลังแยกทีฟ (SWFA บนแกน $\alpha, \beta, 0$)	33
รูปที่ 4.12 ผลการจำลองสถานการณ์เมื่อติดตั้งวงจรกรองกำลังไอยบอริดกรณี 4.5.1	34
รูปที่ 4.13 ผลการจำลองสถานการณ์เมื่อติดตั้งวงจรกรองกำลังไอยบอริดกรณี 4.5.2	35
รูปที่ 4.14 ผลการจำลองสถานการณ์เมื่อติดตั้งวงจรกรองกำลังไอยบอริดกรณี 4.5.3	36
รูปที่ 4.15 ผลการจำลองสถานการณ์เมื่อติดตั้งวงจรกรองกำลังไอยบอริดกรณี 4.5.4	37
รูปที่ 4.16 ผลการจำลองสถานการณ์เมื่อติดตั้งวงจรกรองกำลังไอยบอริดกรณี 4.5.5	38
รูปที่ 4.17 ผลการจำลองสถานการณ์เมื่อติดตั้งวงจรกรองกำลังไอยบอริดกรณี 4.5.6	39
รูปที่ 4.18 ผลการจำลองสถานการณ์เมื่อติดตั้งวงจรกรองกำลังไอยบอริดกรณี 4.5.7	40
รูปที่ 4.19 ผลการจำลองสถานการณ์เมื่อติดตั้งวงจรกรองกำลังไอยบอริดกรณี 4.5.8	41
รูปที่ 4.20 โครงสร้างของระบบที่ใช้ในการจำลองสถานการณ์การกำจัดยาเรื้อนนิก สำหรับวงจรกรองกำลังไอยบอริดแบบที่ 2	42
รูปที่ 4.21 แรงดันไฟฟ้าและกระแสไฟฟ้าที่เหลลงจากกำลังไฟฟ้าหลักก่อนการขาดเชย	43

สารบัญภาพ (ต่อ)

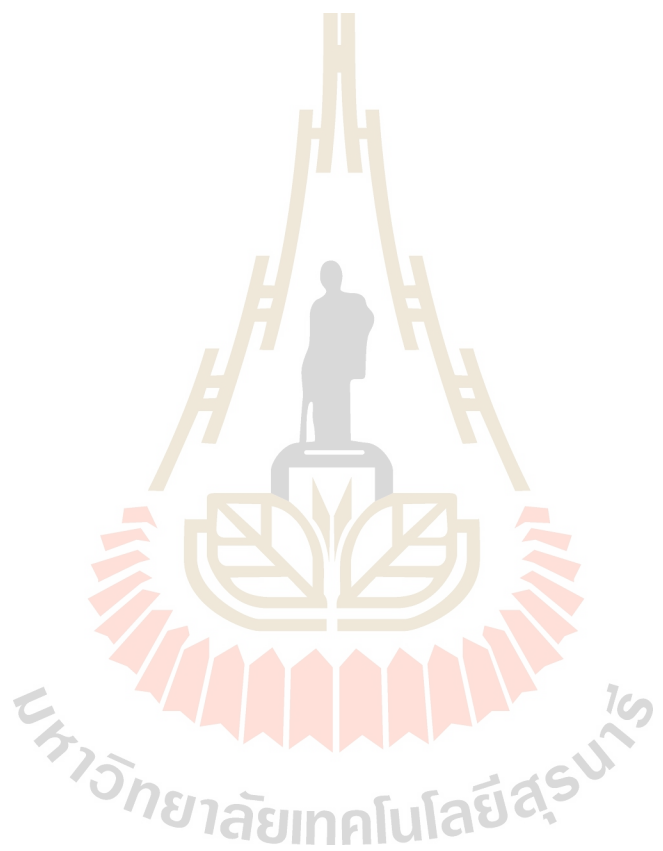
	หน้า
รูปที่ 4.22 ผลการจำลองสถานการณ์เมื่อติดตั้งวงจรกรองกำลังพาสซีฟกรณีที่ 1	44
รูปที่ 4.23 ผลการจำลองสถานการณ์เมื่อติดตั้งวงจรกรองกำลังพาสซีฟกรณีที่ 2	45
รูปที่ 4.24 ผลการจำลองสถานการณ์เมื่อติดตั้งวงจรกรองกำลังพาสซีฟกรณีที่ 3	46
รูปที่ 4.25 ผลการจำลองสถานการณ์เมื่อติดตั้งวงจรกรองกำลังแยกทีฟ (DQF)	47
รูปที่ 4.26 ผลการจำลองสถานการณ์เมื่อติดตั้งวงจรกรองกำลังแยกทีฟ (SWFA บนแกน $\alpha, \beta, 0$)	48
รูปที่ 4.27 ผลการจำลองสถานการณ์เมื่อติดตั้งวงจรกรองกำลัง ไอบริดโดยใช้วงจรกรอง กำลังพาสซีฟกรณีที่ 1	49
รูปที่ 4.28 ผลการจำลองสถานการณ์เมื่อติดตั้งวงจรกรองกำลัง ไอบริดโดยใช้วงจรกรอง กำลังพาสซีฟกรณีที่ 2	50
รูปที่ 4.29 ผลการจำลองสถานการณ์เมื่อติดตั้งวงจรกรองกำลัง ไอบริดโดยใช้วงจรกรอง กำลังพาสซีฟกรณีที่ 3	51
รูปที่ 4.30 ผลการจำลองสถานการณ์เมื่อติดตั้งวงจรกรองกำลัง ไอบริดโดยใช้วงจรกรอง กำลังพาสซีฟกรณีที่ 1	52
รูปที่ 4.31 ผลการจำลองสถานการณ์เมื่อติดตั้งวงจรกรองกำลัง ไอบริดโดยใช้วงจรกรอง กำลังพาสซีฟกรณีที่ 2	53
รูปที่ 4.32 ผลการจำลองสถานการณ์เมื่อติดตั้งวงจรกรองกำลัง ไอบริดโดยใช้วงจรกรอง กำลังพาสซีฟกรณีที่ 3	54
รูปที่ 5.1 ระบบที่ใช้ทดสอบการกำจัดยาร์นอนิกของงานวิชัย	60
รูปที่ 5.2 ผลการทดสอบกรณีโหลดของวงจรเรียงกระแสเป็นความต้านทานเพียงอย่างเดียว	61
รูปที่ 5.3 รูปสัญญาณกระแสเดย์ที่ได้จากการกรองกำลังแยกทีฟ กรณีโหลดเป็น วงจรเรียงกระแสต่อ กับ โหลดความต้านทานเพียงอย่างเดียว	62
รูปที่ 5.4 สเปกตรัมของกระแสไฟฟ้าไฟฟ้า ก่อนและหลังการซัดเซบกรณีโหลดของวงจร เรียงกระแสเป็นความต้านทานเพียงอย่างเดียว	62
รูปที่ 5.5 ผลการทดสอบกรณีโหลดของวงจรเรียงกระแสเป็นความต้านทาน ต่อ อนุกรม กับ ตัวเหนี่ยว วน	65
รูปที่ 5.6 รูปสัญญาณกระแสเดย์ที่ได้จากการกรองกำลังแยกทีฟ กรณีโหลด เป็นวงจรเรียงกระแสต่อ กับ โหลดความต้านทานต่อ อนุกรม กับ ตัวเหนี่ยว วน	66

สารบัญภาพ (ต่อ)

หน้า

รูปที่ 5.7 สถาปัตยกรรมของกระแสไฟฟ้าเฟส ๓ ก่อนและหลังการขยายรถนี้ให้ลดลงของจาร
เรียงกระแสเป็นความด้านท่านต่ออนุกรมกับตัวหนึ่งบวบนำ

66

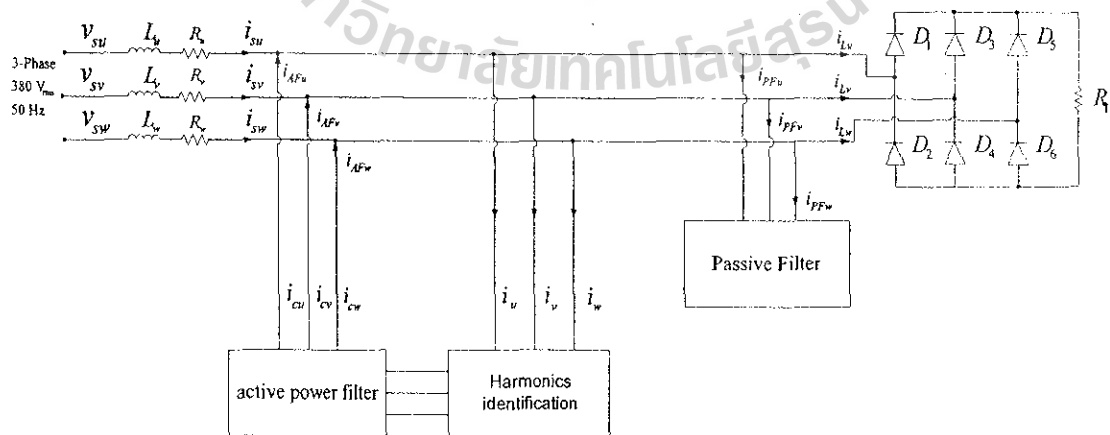


บทที่ 1

บทนำ

1.1 ความสำคัญและที่มาของปัญหาการวิจัย

ปัจจุบัน โรงงานอุตสาหกรรมส่วนใหญ่ได้นำเทคโนโลยีคอนเวอร์เตอร์อิเล็กทรอนิกส์มาใช้ประโยชน์กันอย่างแพร่หลาย ดังเช่น อุตสาหกรรมเหมืองแร่ การผลิตโลหะ อุตสาหกรรมสิ่งทอ เป็นต้น คอนเวอร์เตอร์มีบทบาทสำคัญในการแปลงพลังงานเนื่องจากคอนเวอร์เตอร์ทำงานโดยใช้อุปกรณ์สวิตซ์ชิงกำลัง จึงก่อให้เกิดขาร์มอนิกขึ้นในระบบไฟฟ้า สารมอนิกเหล่านี้ถือได้ว่าเป็น “มลพิษ” ในระบบไฟฟ้า และทำให้เกิดผลเสียหลายประการ ด้วยเหตุนี้จึงนิยมส่วนหนึ่งทางด้านไฟฟ้ากำลังในปัจจุบัน จึงมุ่งเน้นการแก้ปัญหาขาร์มอนิก ดังเช่น การใช้วงจรกรองกำลังพาสซีฟ การใช้วงจรกรองกำลังแยกทีฟ และการใช้วงจรกรองกำลังไฮบริดที่ประกอบด้วยวงจรกรองกำลังพาสซีฟและแยกทีฟ ส่วนใหญ่มีโครงสร้างทางระบบดังรูปที่ 1.1 วงจรกรองกำลังไฮบริด ให้ถูกนิยมใช้อย่างแพร่หลายจนถึงปัจจุบัน เนื่องจากวงจรกรองกำลังดังกล่าวเป็นการทดสอบแล้วว่าดีระหว่างวงจรกรองกำลังพาสซีฟ และวงจรกรองกำลังแยกทีฟ โดยต้นทุนของวงจรกรองกำลังแยกทีฟเพียงอย่างเดียวตนิ่นไม่ต้นทุนสูง แต่เนื่องจากน้ำหนักของวงจรกรองกำลังพาสซีฟเขามากกว่าทำให้พิคค์กำลังไฟฟ้าของวงจรกรองกำลังแยกทีฟลดลง ทำให้ต้นทุนในการผลิตชิ้นส่วนต้องด้วย ส่วนปัญหานี้ในเรื่องของการเกิดเรโซแนนซ์ของวงจรกรองกำลังพาสซีฟที่ได้วงจรกรองกำลังแยกทีฟเข้ามาช่วยแก้ไข จึงทำให้วงจรกรองกำลังไฮบริดที่ผสมวงจรกรองทั้งสองนี้มีประสิทธิภาพในการกำจัดขาร์มอนิกมากยิ่งขึ้น ในด้านการระบุเอกสารกับขาร์มอนิกได้ใช้ค่าถักงานวิจัยเรื่องวงจรกรองกำลังแบบแยกทีฟแบบใหม่ที่ใช้การตรวจวัดขาร์มอนิกในเวลาจริง โดยนำการระบุเอกสารกับขาร์มอนิกวิธี DQ axis with Fourier, DQF[1] มาพัฒนาให้ดีขึ้น โดยชุดกรองกำลังในการทดสอบภาคปฏิบัติยังคงเป็นระบบเดิมที่ใช้กับงานวิจัย DQF ข้างต้น



รูปที่ 1.1 แผนภาพแสดงการกำจัดขาร์มอนิกด้วยวงจรกรองกำลังไฮบริด

1.2 วัตถุประสงค์ของโครงการวิจัย

- เพื่อคิดค้น และพัฒนาวิธีการระบุเอกสารลักษณ์สาร์มอนิก สำหรับใช้งานร่วมกับงจรกรองกำลังแบบไอบริด
- เพื่อพัฒนาเทคโนโลยีการกำจัด “มลพิษ” ทางด้านสาร์มอนิกในระบบไฟฟ้า
- เพื่อสร้างต้นแบบงจรกรองกำลังแบบไอบริดที่กำจัดสาร์มอนิกได้ตามมาตรฐาน IEEE Std519 - 1992

1.3 ขอบเขตของการวิจัย

- การวิเคราะห์ และแก้ปัญหาสาร์มอนิก นุ่งเนื้นที่การปรับแก้กระแสสาร์มอนิก
- วงจรกรองกำลังแบบไอบริดต้องกำจัดสาร์มอนิกได้ตามมาตรฐาน IEEE Std519-1992
- การทดสอบวงจรกรองกำลังแบบไอบริด ในการกำจัดสาร์มอนิก ที่ใช้วิธีการระบุเอกสารลักษณ์ตามวิธีการที่พัฒนา จะทดสอบกับวงจรกรองตอนเวอร์เตอร์ ที่มีโหลดเป็นตัวต้านทานเพียงอย่างเดียว และโหลดที่มีความต้านทานกับตัวหนาแน่น้ำต่ออนุกรมกัน ทั้งตอนเวอร์เตอร์และโหลดจัดเป็นกลุ่ม โหลดแหล่งจ่ายกระแสไม่เป็นเชิงเส้น (Current Source Nonlinear Loads, CSNLs)

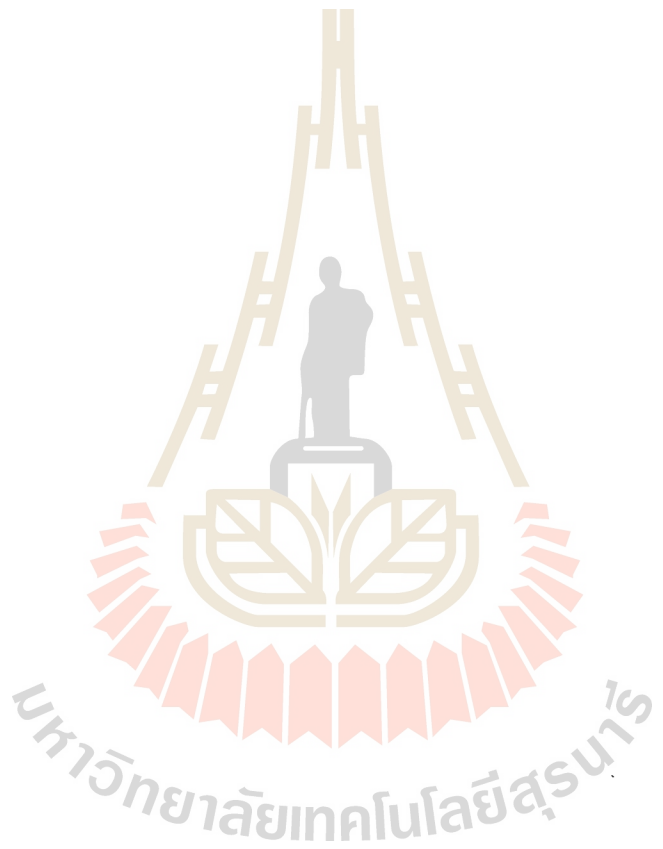
1.4 ขั้นตอนการวิจัย

- สืบค้นข้อมูลเกี่ยวกับโครงการสร้างของวงจรกรองกำลังแบบไอบริด
- ศึกษาวิธีการระบุเอกสารลักษณ์สาร์มอนิกด้วยวิธี DQF
- จำลองสถานการณ์การกำจัดสาร์มอนิกโดยใช้วิธี DQF สำหรับระบุเอกสารลักษณ์สาร์มอนิกโดยวงจรกรองกำลังแบบไอบริดเป็นแบบอุดมคติ
- พัฒนาวงจรกรองพาสซีฟซึ่งเป็นส่วนหนึ่งของวงจรกรองกำลังแบบไอบริด
- ดัดแปลงวิธีการ DQF ให้เป็นแบบที่เหมาะสมกับการใช้ในวงจรกรองกำลังแบบไอบริด
- สร้าง และทดสอบวงจรกรองกำลังแบบไอบริดเพื่อให้ผลการกำจัดสาร์มอนิกเป็นไปตามมาตรฐาน IEEE Std. 519-1992

1.5 ประโยชน์ที่คาดว่าจะได้รับ

- ได่องค์ความรู้ใหม่ ด้านการระบุเอกสารลักษณ์สาร์มอนิกที่มีประสิทธิภาพ เพื่อใช้งานร่วมกับงจรกรองกำลังแบบไอบริด สำหรับกำจัดสาร์มอนิกให้ได้ตามมาตรฐาน IEEE Std519-1992
- ได้ต้นแบบงจรกรองกำลังไอบริด เพื่อใช้กำจัดสาร์มอนิกในระบบไฟฟ้า โดยวงจรกรองดังกล่าว ที่สร้างขึ้น ใช้วิธีการระบุเอกสารลักษณ์สาร์มอนิกตามที่คณะกรรมการวิจัยได้พัฒนาขึ้น โดยต้นแบบงจรกรองกำลังแบบไอบริดที่ได้สามารถเป็นมาตรฐานการผลิตเชิงพาณิชย์ในอนาคตต่อไปได้
- บทความวิจัย เมยแพร่ระดับชาติ และ/หรือ นานาชาติ

- ผลที่ได้จากการวิจัย จะนำไปสอนนักศึกษาวิศวกรรมไฟฟ้า เพื่อให้เป็นแนวคิดสำหรับการวิจัยต่อไปในอนาคต นอกจากนี้ทางคณะวิจัยได้เตรียมการจัดอบรม สำหรับวิศวกรหรือบุคลากร ตามโรงงานอุตสาหกรรมที่ประสบปัญหารือองค์กรอนิค



บทที่ 2

ประเภทของวงจรกรองกำลัง

2.1 คลื่นนำ

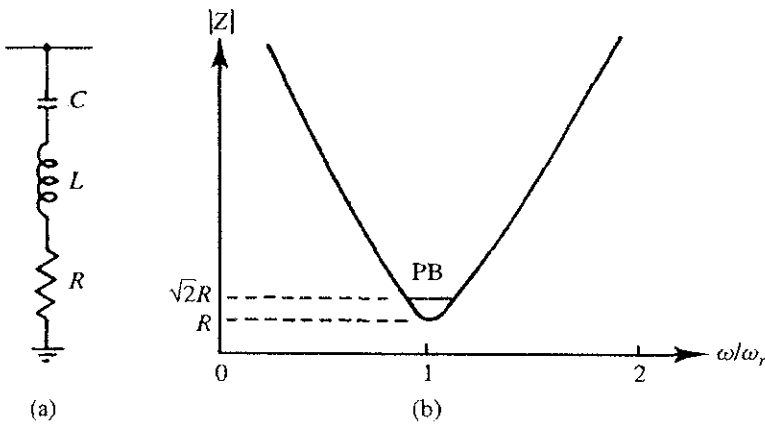
เทคโนโลยีอุตสาหกรรมในประเทศไทยได้มีการพัฒนาก้าวหน้าไปอย่างมากในปัจจุบัน ซึ่งเทคโนโลยีเหล่านี้มีการใช้อุปกรณ์เพาเวอร์คอนเวอร์เตอร์ (power converters) อย่างหลากหลาย การทำงานของอุปกรณ์สวิชชิ้งภายในคอนเวอร์เตอร์ ก่อให้เกิดปัญหาทางสารมณฑ์ในระบบไฟฟ้า ส่งผลให้ระบบเกิดกำลังสูญเสียมากขึ้นและตัวประกอบกำลังมีค่าต่ำลง ตลอดจนการทำงานของ อุปกรณ์ไฟฟ้าต่างๆเกิดผิดพลาดได้ง่ายและอาจการใช้งานสั้นลง การควบคุมปริมาณสารมณฑ์ที่ เกิดขึ้นใหม่ค่าอยู่ในระดับที่ยอมรับได้ตามมาตรฐานเป็นสิ่งจำเป็น แนวทางหนึ่งของการดำเนินงาน เป็นการติดตั้งวงจรกรองกำลังซึ่งอาจใช้วงจรกรองกำลังพาสซีฟ วงจรกรองกำลังแอกทีฟ และวงจร กรองกำลังไฮบริด โดยวงจรกรองดังกล่าวมีโครงสร้าง หน้าที่ และสมรรถนะที่แตกต่างกันไปดัง ค่าอธิบายรายละเอียดที่ปรากฏในบทนี้

2.2 วงจรกรองกำลังพาสซีฟ^[2]

การแก้ปัญหารือสารมณฑ์ตามปกติเริ่มต้นที่การใช้วงจรกรองกำลังพาสซีฟ เนื่องจาก วงจรกรองกำลังดังกล่าวง่ายต่อการออกแบบและต้นทุนต่ำ แต่ข้อเสียของวงจรกรองกำลังพาสซีฟมี อยู่หลายประการด้วยกัน ได้แก่ ประสิทธิภาพของวงจรกรองขึ้นอยู่กับอินพีเดนซ์ของแหล่งจ่าย กำลังไฟฟ้าหลักเมื่อโหลดเปลี่ยนแปลงคุณลักษณะจะทำให้สารมณฑ์เปลี่ยนไปด้วย ส่งผลให้ ประสิทธิภาพการคำนวณนิคเคลส์ และอาจเกิดสภาพแพร่โซน์ในระบบได้ เนื่องจากวงจร กรองกำลังดังกล่าวใช้ตัวต้านทาน ตัวเหนี่ยวนำและตัวเก็บประจุมาต่อร่วมกัน วงจรกรองกำลังพาส ซีฟสามารถแบ่งประเภทได้ดังนี้

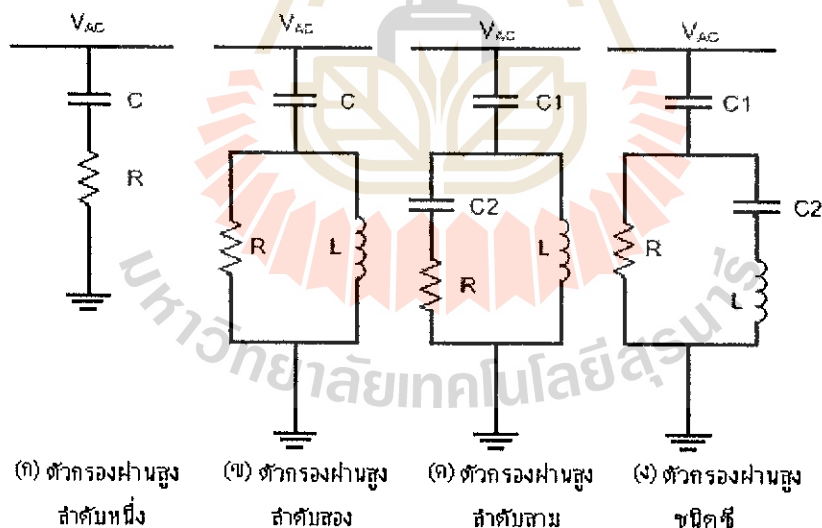
- วงจรกรองปรับคลื่นเดียว (single tuned filter) วงจรกรองชนิดนี้จะต้องความถี่ปรับคลื่น หรือความถี่เรโซน์แนนซ์ที่จะใช้กรองสารมณฑ์ไว้ค่าเดียว โดยวงจรกรองประกอบด้วย RLC ต่อ อนุกรมกัน ดังรูปที่ 2.1 (ก) วงจรกรองปรับคลื่นเดียว, (ข) ความสัมพันธ์ของอินพีเดนซ์กับความถี่

- วงจรกรองผ่านสูงอันดับหนึ่ง (first order high pass filter) โดยปกติแล้ววงจรกรองชนิดนี้ ไม่เป็นที่นิยมใช้ เพราะมีข้อเสียคือ ตัวเก็บประจุที่ใช้จะมีค่ามากและกำลังงานสูญเสียที่ความถี่สูง ฐานจะมีค่าสูง คุ้มครองสร้างวงจรกรองผ่านสูงอันดับหนึ่งได้จากรูปที่ 2.2(ก)

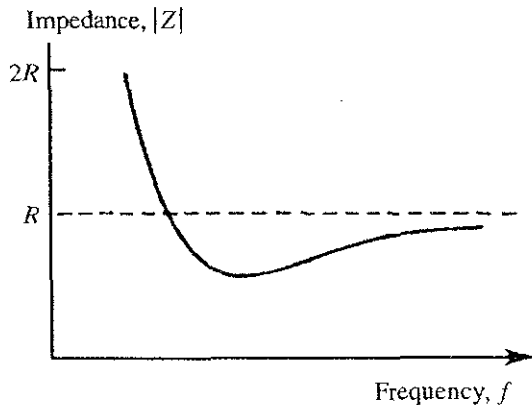


รูปที่ 2.1 (ก) วงจรกรองปรับคลื่นเดียว, (ข) ความสัมพันธ์ของอิมพีเดนซ์กับความถี่

- วงจรกรองผ่านสูงอันดับสอง (second order high pass filter) วงจรกรองผ่านสูงอันดับสองมีโครงสร้างดังรูปที่ 2.2(ข) ประกอบด้วยตัวต้านทานขนาดเท่ากันกับตัวเหนี่ยวนำ และมีตัวเก็บประจุต่ออนุกรมอยู่ด้วย หลักการทำงานคล้ายกับวงจรกรองปรับคลื่นเดียว เพียงแต่วงจรกรองผ่านสูงลำดับสองจะทำการกรองชาร์มอนิกที่ความถี่สูงกว่าความถี่ตัดทึบหมุด โดยมีลักษณะสมบัติของอิมพีเดนซ์สัมพันธ์กับความถี่แสดงดังรูปที่ 2.3



รูปที่ 2.2 โครงสร้างวงจรกรองผ่านสูงชนิดต่างๆ



รูปที่ 2.3 ความสัมพันธ์ของอิมพีเดนซ์กับความถี่ของวงจรกรองผ่านสูงอันดับสอง

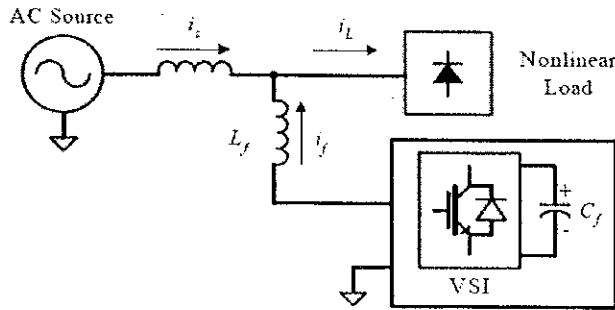
- วงจรกรองผ่านสูงอันดับสาม (third order high pass filter) แสดงโครงสร้างของวงจรกรองผ่านสูงอันดับสามดังรูปที่ 2.2(ค) มีกำลังงานสูญเสียมากกว่าวงจรกรองผ่านสูงอันดับสองรวมถึงมีประสิทธิภาพการกรองที่ดีกว่า

- วงจรกรองผ่านสูงชนิดซี (C-type filter) แสดงโครงสร้างของวงจรกรองผ่านสูงชนิดซีดังรูปที่ 2.2(จ) มีกำลังงานสูญเสียน้อยกว่าวงจรกรองผ่านสูงลำดับสอง รวมถึงมีประสิทธิภาพการกรองที่ดีกว่าเช่นกัน

2.3 วงจรกรองกำลังแยกทีฟ [3]

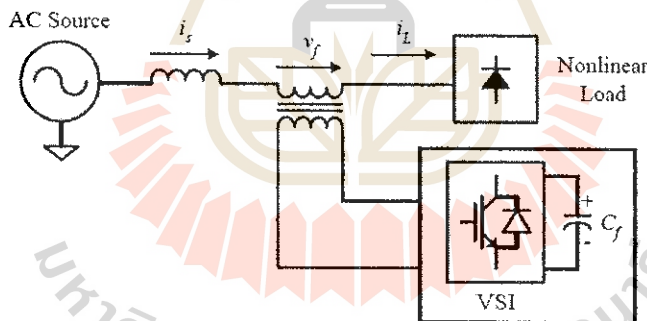
วงจรกรองกำลังแยกทีฟ ได้เข้ามายืนหนาทแทบทุกวงจรที่วงจรกรองกำลังพาราซิฟ เนื่องจากวงจรกรองกำลังแยกทีฟกำจัดสารมอนิกได้อย่างมีประสิทธิภาพ โดยไม่ขึ้นอยู่กับอิมพีเดนซ์ของแหล่งจ่ายอีกทั้งวงจรกรองกำลังดังกล่าว ยังไม่มีผลทำให้เกิดสภาพแพร่โซนแนนซ์ของระบบ แต่ข้อเสียของวงจรกรองกำลังแยกทีฟ คือ มีราคาแพง โดยเฉพาะอย่างยิ่งในระบบไฟฟ้ากำลังที่มีพิกัดสูง รวมถึงความยุ่งยากในการติดตั้งที่เป็นอุปสรรคที่สำคัญ วงจรกรองกำลังแยกทีฟสามารถแบ่งประเภทได้ดังนี้

- วงจรกรองกำลังแยกทีฟแบบขนาน (shunt active power filter) รูปแบบโครงสร้างของวงจรโดยทั่วไปประกอบด้วย อินเวอร์เตอร์กำเนิดแรงดัน(voltage source inverter, VSI) ตัวเก็บประจุทำหน้าที่เป็นดีซีบัส (C_f) อุปกรณ์สวิตช์ที่เป็นอิเล็กทรอนิกกำลัง และตัวหนีบวนา (L_f) ทำหน้าที่ดักกระแสแซดเซบิให้กับโหลดไม่เป็นเชิงเส้น โครงสร้างวงจรกรองกำลังแยกทีฟแบบขนานดังรูปที่ 2.4 ทำหน้าที่กำจัดกระแสสารมอนิกเป็นหลักโดยทำการฉีดกระแสแซดเซบิให้กับระบบ



รูปที่ 2.4 โครงสร้างวงจรกรองกำลังแอกทีฟแบบขานาน

- วงจรกรองกำลังแอกทีฟแบบอนุกรม (series active power filter) รูปแบบโครงสร้างของวงจรโดยทั่วไปประกอบด้วย อินเวอร์เตอร์กำเนิดแรงดัน(voltage source inverter, VSI) ตัวเก็บประจุที่ทำหน้าที่เป็นดีซีบีส (C_f) และอุปกรณ์สวิตช์ซิลิกอนนิกก้าลัง คล้ายกับโครงสร้างของวงจรกรองกำลังแอกทีฟแบบขานานแต่ต่างกันตรงส่วนของหม้อแปลงไฟฟ้าที่ทำหน้าที่เป็นตัวคู่คุบแรงดันที่จะนำไฟไปชดเชยแรงดันหาร์มอนิกเป็นตัวคัญ จากโครงสร้างวงจรกรองกำลังแอกทีฟแบบอนุกรมดังรูปที่ 2.5 แรงดันชดเชยหาร์มอนิกจะเข้าไปเสริมหรือหักล้างให้แรงดันก่อนเข้าสู่โหลดแบบไม่เป็นเชิงเส้นให้ได้รูปคลื่นสัญญาณเป็นชayanนั่นเอง

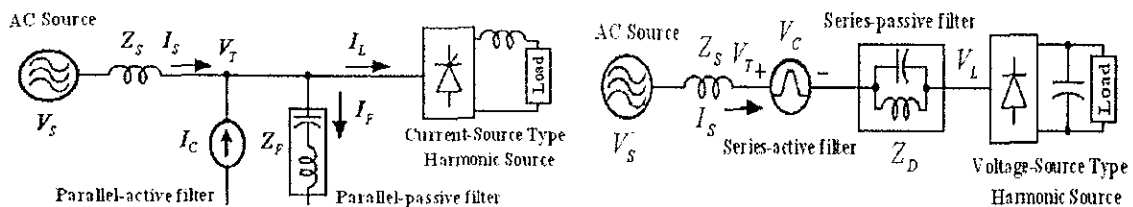


รูปที่ 2.5 โครงสร้างวงจรกรองกำลังแอกทีฟแบบอนุกรม

2.4 วงจรกรองกำลังไอบริด[4]

วงจรกรองกำลังไอบริดเป็นวงจรกรองที่ผสมผสานวงจรกรองกำลังทั้งพาราซิฟและแอกทีฟเข้าด้วยกัน เพื่อเพิ่มประสิทธิภาพในการกำจัดหาร์มอนิกหรือประโยชน์ในด้านอื่นๆ โดยสามารถจัดแบ่งประเภทวงจรกรองกำลังไอบริดตามลักษณะหน้าที่และโครงสร้างของวงจรได้ดังนี้

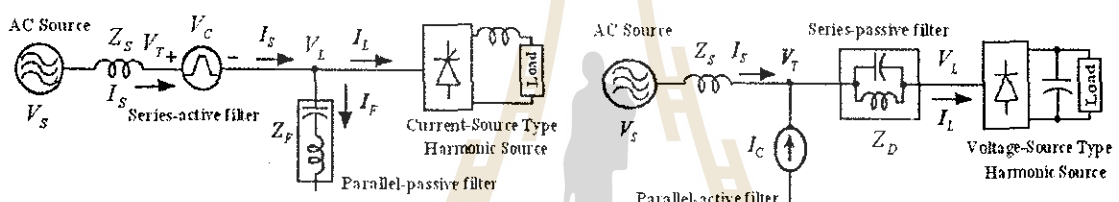
- โครงสร้างวงจรกรองกำลังไอบริดที่ประกอบด้วยวงจรกรองกำลังแอกทีฟและพาราซิฟโดยเดือกที่จะกำจัดกระแสหาร์มอนิกหรือแรงดันหาร์มอนิกเพียงอย่างใดอย่างหนึ่ง (รูปที่ 2.6 และ 2.7)



รูปที่ 2.6 วงจรกรองกำลังไอนริดที่ใช้วงจรกรองกำลังพาราซิฟแบบบานานผสมกับวงจรกำลังแอคทีฟ กำลังพาราซิฟแบบบานานผสมกับวงจรกรองแบบบานานสำหรับการใช้งานกับโหลดชนิดแหล่งพลังงาน (CSNL)

รูปที่ 2.7 วงจรกรองกำลังไอนริดที่ใช้วงจรกรองกำลังแอคทีฟแบบบานานผสมกับวงจรกรองแบบบานานสำหรับการใช้งานกับโหลดชนิดแหล่งพลังงานที่เป็นต้นกำเนิดชาร์มอนิก (VSNL)

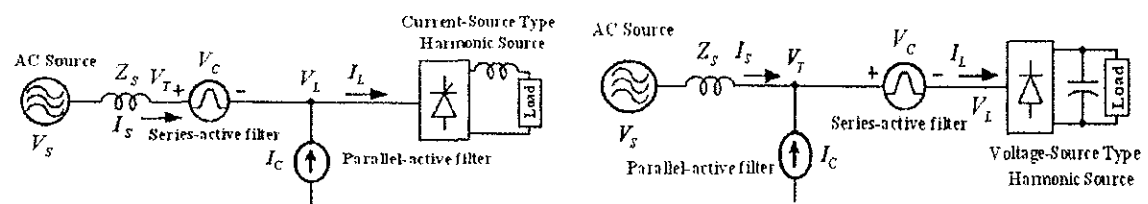
- โครงสร้างวงจรกรองกำลังไอนริดที่ประกอบด้วยวงจรกรองกำลังแอคทีฟและพาราซิฟโดยจะกำจัดชาร์มอนิกทั้งกระแสและแรงดันชาร์มอนิก (รูปที่ 2.8 และ 2.9)



รูปที่ 2.8 วงจรกรองกำลังไอนริดที่ใช้วงจรกรองกำลังพาราซิฟแบบบานานผสมกับวงจรกรองกำลังแอคทีฟแบบบานานใช้งานกับโหลด CSNL

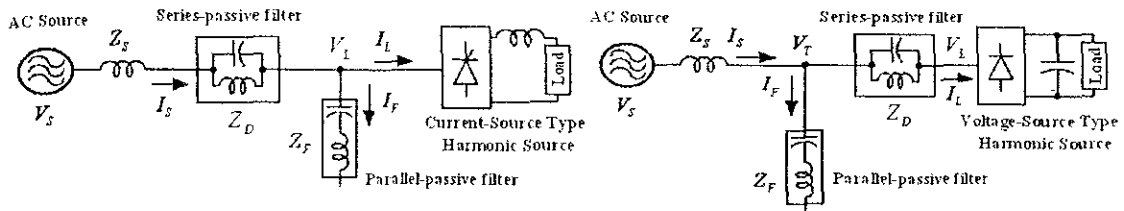
รูปที่ 2.9 วงจรกรองกำลังไอนริดที่ใช้วงจรกรองกำลังแอคทีฟแบบบานานผสมกับวงจรกรองกำลังพาราซิฟแบบบานานใช้งานกับโหลด VSNL

- โครงสร้างวงจรกรองกำลังไอนริดที่ประกอบด้วยวงจรกรองกำลังแอคทีฟหรือพาราซิฟเพียงอย่างเดียวโดยจะกำจัดชาร์มอนิกทั้งกระแสและแรงดันชาร์มอนิก (รูปที่ 2.10, 2.11, 2.12 และ 2.13)



รูปที่ 2.10 วงจรกรองกำลังไอนริดที่ใช้วงจรกรองกำลังแอคทีฟแบบบานานผสมกับแบบบานานใช้งานกับโหลด CSNL

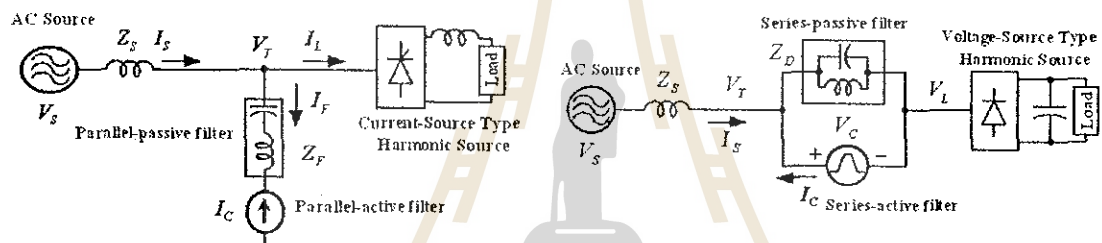
รูปที่ 2.11 วงจรกรองกำลังไอนริดที่ใช้วงจรกรองกำลังแอคทีฟแบบบานานผสมกับแบบบานานใช้งานกับโหลด VSNL



รูปที่ 2.12 วงจรกรองกำลังไอนิรบิคที่ใช้วงจรกรองกำลังพาราซีฟแบบอนุกรมสมกับแบบหนานาใช้งานกับโหลด CSNL

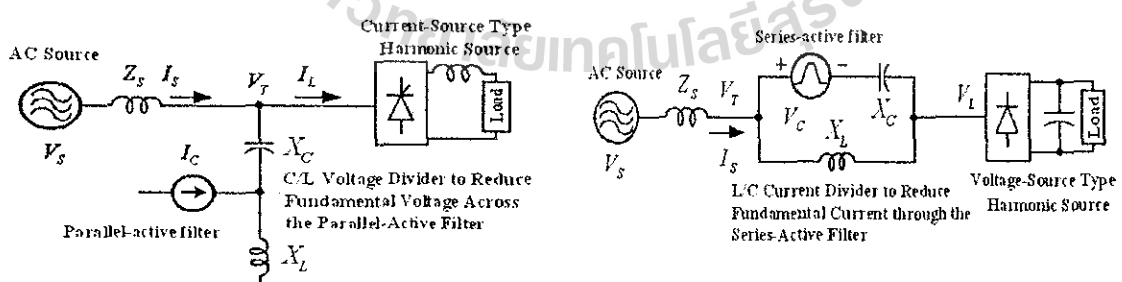
รูปที่ 2.13 วงจรกรองกำลังไอนิรบิคที่ใช้วงจรกรองกำลังพาราซีฟแบบขนานาสมกับแบบอนุกรมใช้งานกับโหลด VSNL

- โครงสร้างวงจรกรองกำลังไอนิรบิคที่ประกอบด้วยวงจรกรองกำลังพาราซีฟแบบต่างๆ เพื่อทำหน้าที่ลดแรงดันหรือกระแสที่ความถี่มูลฐานให้กับวงจรกรองกำลังแยกทีฟ ทำให้วงจรกรองกำลังแยกทีฟมีพิกัดกำลังไฟฟ้าลดลง (รูปที่ 2.14 – 2.23)



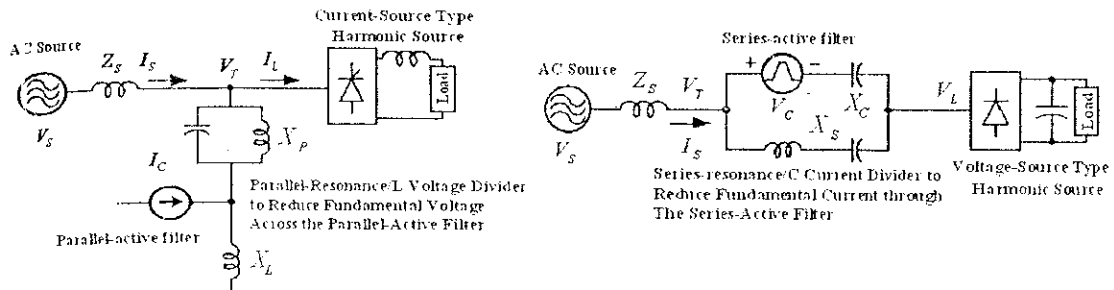
รูปที่ 2.14 การใช้วงจรกรองกำลังแยกทีฟและพาราซีฟ ต่ออนุกรมกัน เพื่อใช้เป็นวงจรกรองกำลังไอนิรบิคแบบหนานาสำหรับโหลด CSNL

รูปที่ 2.15 การใช้วงจรกรองกำลังพาราซีฟต่อขนานา กันแยกทีฟเพื่อใช้เป็นวงจรกรองไอนิรบิคแบบอนุกรมสำหรับโหลด VSNL



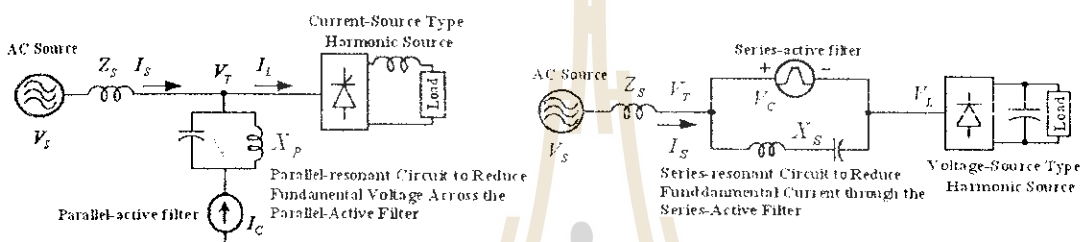
รูปที่ 2.16 รูปแบบที่ 1 สำหรับช่วงลดขนาดแรงดัน มูลฐานของวงจรกรองกำลังแยกทีฟแบบหนานา

รูปที่ 2.17 รูปแบบที่ 1 สำหรับช่วงลดขนาด กระแสนิਊคลีนของวงจรกรองกำลังแยกทีฟแบบอนุกรม



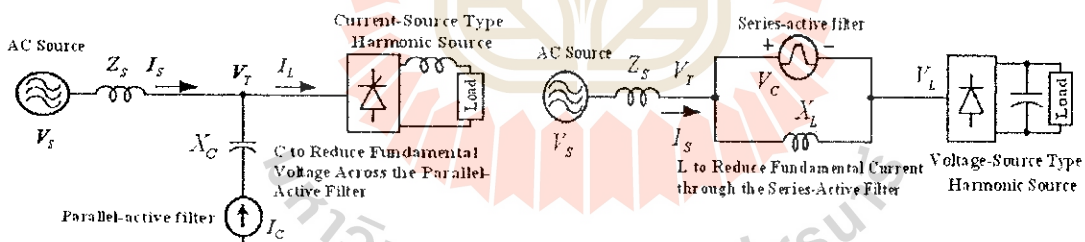
รูปที่ 2.18 รูปแบบที่ 2 สำหรับช่วยลดขนาดแรงดัน
มูลฐานของวงจรกรองกำลังแยกทีฟแบบบานาน

รูปที่ 2.19 รูปแบบที่ 2 สำหรับช่วยลดขนาด
กระแสสูงของวงจรกรองกำลังแยกทีฟ
แบบอนุกรม



รูปที่ 2.20 รูปแบบที่ 3 สำหรับช่วยลดขนาดแรงดัน
มูลฐานของวงจรกรองกำลังแยกทีฟแบบบานาน

รูปที่ 2.21 รูปแบบที่ 3 สำหรับช่วยลดขนาด
กระแสสูงของวงจรกรองกำลังแยกทีฟ
แบบอนุกรม

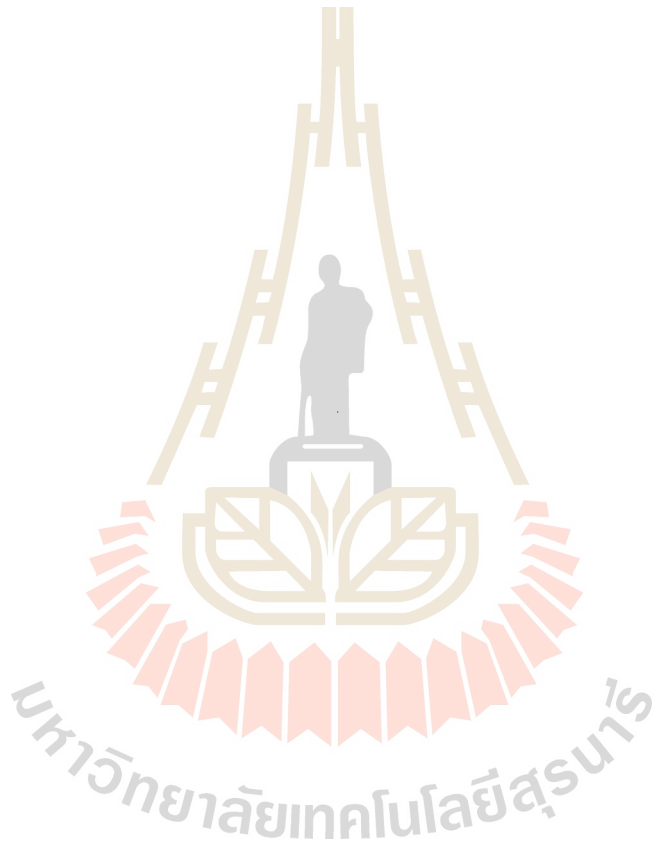


รูปที่ 2.22 รูปแบบที่ 4 สำหรับช่วยลดขนาดแรงดัน
มูลฐานของวงจรกรองกำลังแยกทีฟแบบบานาน

รูปที่ 2.23 รูปแบบที่ 4 สำหรับช่วยลดขนาด
กระแสสูงของวงจรกรองกำลังแยกทีฟ
แบบอนุกรม

สรุป

บทนี้ได้นำเสนอการทบทวนโครงสร้างของกรองกำลังชนิดต่างๆ และอธิบายหลักการทำงานของกรองกำลังชนิดต่างๆ พอสั้นๆ ในกรณีของกรองกำลังไฮบริดที่อาศัยหลักการทำงานผสมม Hasan ระหว่างกรองกำลังพาสซีฟและเอกทีฟ เพื่อให้เกิดประสิทธิผลในการซัดเซย์าร์มอนิก มีการใช้วงจรกำลังพาสซีฟแบบต่างๆ ช่วยลดขนาดของกระแสและแรงดันที่ความถี่มูลฐานเพื่อลดพิภัตกำลังไฟฟ้าของวงจรกรองกำลังเอกทีฟ และเพื่อให้ได้สมรรถนะการซัดเซย์าร์มอนิกที่ดีขึ้น โดยการอาศัยหลักการซัดเซย์าร์มอนิกทั้งแรงดันและกระแสไปพร้อมๆ กัน



บทที่ 3

ทฤษฎีเกี่ยวกับการระบุเอกสารลักษณ์าร์มอนิก

3.1 กล่าวมา

การระบุเอกสารลักษณ์าร์มอนิก สำหรับวงจรกรองกำลังแอกทีฟ เป็นขั้นตอนที่สำคัญขั้นตอนหนึ่ง สำหรับการกำจัดหาร์มอนิกในระบบไฟฟ้า และจากการศึกษางานวิจัยในอดีต พบว่า การระบุเอกสารลักษณ์าร์มอนิกเบ่งออกเป็นสองกุ่มด้วยกัน ได้แก่ การระบุเอกสารลักษณ์าร์มอนิกที่ต้องการกำจัดหาร์มอนิกทั้งหมดในระบบ และการระบุเอกสารลักษณ์าร์มอนิกที่ต้องการกรุ่นด้วยกัน ทั้งนี้ ในการพัฒนาต่ออย่างต่อเนื่อง ได้แก่ การระบุเอกสารลักษณ์าร์มอนิกที่ต้องการหันดับ เมื่อจากงานวิจัยนี้เป็นการพัฒนาต่ออย่างต่อเนื่อง ที่ปรากฏมาต่อแล้ว เมื่อหาในบทนี้จะ เป็นการทบทวนอัลกอริทึมการระบุเอกสารลักษณ์าร์มอนิก ด้วยวิธีการหมุนแกนประกอบกับวิธีฟรีเวย์ [5] ซึ่งต่อไปจะเรียกว่า วิธี DQF ซึ่งอัลกอริทึมดังกล่าวใช้สำหรับระบุเอกสารลักษณ์าร์มอนิกที่ต้องการกำจัดหาร์มอนิกทั้งหมดในระบบ นอกจากนี้ บทนี้นำเสนอวิธีการระบุเอกสารลักษณ์าร์มอนิกวิธีการใหม่ที่พัฒนาขึ้นที่เรียกว่า การระบุเอกสารลักษณ์าร์มอนิกสำหรับวงจรกรองกำลังไบบริดด้วยวิธี ประยุกต์ SWFA บนแกน $\alpha, \beta, 0$

3.2 การระบุเอกสารลักษณ์าร์มอนิกสำหรับวงจรกรองกำลังแอกทีฟด้วยวิธี DQF

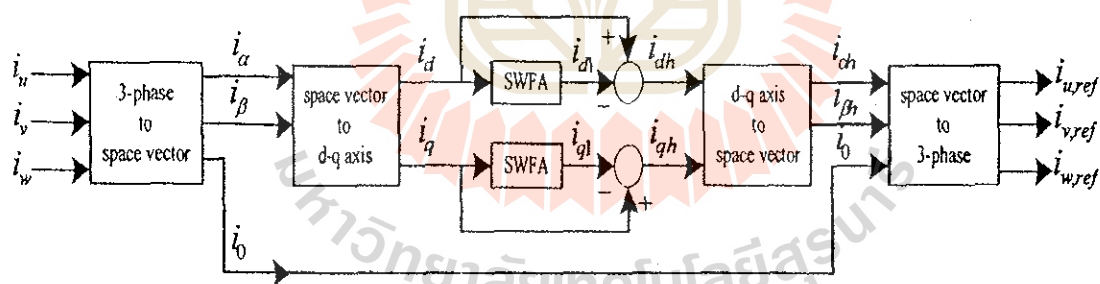
การระบุเอกสารลักษณ์าร์มอนิกด้วยวิธี DQF ในขั้นต้นแบ่ง成ค่ากระแสไฟฟ้าสามเฟส คือ i_u, i_v และ i_w เป็นกระแสไฟฟ้าสเปชเฟสเดอร์ (i_α, i_β และ i_0) ดังสมการที่ (3-1) ต่อจากนี้แบ่ง ค่ากระแสแกน α และ β (i_α และ i_β) ไปอยู่บนแกนหมุน d-q (i_d และ i_q) ด้วยความสัมพันธ์ ดังสมการที่ (3-2)

$$\begin{bmatrix} i_\alpha \\ i_\beta \\ i_0 \end{bmatrix} = \sqrt{\frac{2}{3}} \begin{bmatrix} 1 & \frac{1}{2} & -\frac{1}{2} \\ 0 & \frac{\sqrt{3}}{2} & -\frac{\sqrt{3}}{2} \\ \frac{1}{2} & \frac{1}{2} & \frac{1}{2} \end{bmatrix} \begin{bmatrix} i_u \\ i_v \\ i_w \end{bmatrix} \quad (3-1)$$

$$\begin{bmatrix} i_d \\ i_q \end{bmatrix} = \begin{bmatrix} \cos(\omega t) & \sin(\omega t) \\ -\sin(\omega t) & \cos(\omega t) \end{bmatrix} \begin{bmatrix} i_\alpha \\ i_\beta \end{bmatrix} \quad (3-2)$$

ในสมการดังกล่าว ω เป็น ความถี่เชิงมุม (เรเดียน/วินาที) การระบุเอกสารลักษณ์าร์มอนิกเพื่อต้องการกรอบหาร์มอนิกทั้งหมดในระบบ จะกำหนดให้ ω เท่ากับความถี่มูลฐานของระบบ ด้วยวิธีนี้

เวกเตอร์กระแสไฟฟ้า i_d และ i_q จึงมุ่งด้วยความเร็วเท่ากันความถี่มูลฐาน การคำนวณตามกระบวนการดังกล่าวทั้งหมดข้างต้นของวิธี DQF ในช่วงแรกนี้จะเหมือนวิธี DQ [6] ทุกประการ และถ้าพิจารณาบนแกนหมุน d-q กระแสที่ความถี่มูลฐานเปรียบเสมือนสัญญาณกระแสตรงในขณะที่กระแส harmonic อนิกเปรียบเสมือนสัญญาณกระแสสลับ การแยกองค์ประกอบของสัญญาณกระแสตรง ซึ่งเป็นกระแสที่ความถี่มูลฐานของจากองค์ประกอบของสัญญาณกระแสสลับจะแตกต่าง กันวิธี DQ ที่ใช้วิธีการองผ่านสูง โดยการระบุเอกสารลักษณ์สาร์มอนิกด้วยวิธี DQF จะแยก องค์ประกอบดังกล่าวโดยใช้หลักการของวิธี SWFA ดังแสดงไว้ในรูปที่ 3.1 ซึ่งค่ากระแสความถี่ มูลฐานที่ได้มีความถูกต้องแม่นยำกว่าการใช้วิธีการองผ่านสูง การใช้วิธี SWFA ในที่นี่เริ่มต้นจาก การพิจารณาความสัมพันธ์ออยเลอร์-ฟูรีเยร์ (Euler-Fourier formulas) ดังสมการที่ (3-3) ซึ่งมี องค์ประกอบสองเทอมคือ เทอมที่เป็นองค์ประกอบของสัญญาณกระแสสลับ (A_0) และเทอมที่เป็น องค์ประกอบของสัญญาณกระแสตรง (A_h และ B_h) เมื่อกระแสที่ความถี่มูลฐานเปรียบเสมือนสัญญาณ กระแสตรง การระบุเอกสารลักษณ์สาร์มอนิกด้วยวิธี DQF จึงคำนวณเฉพาะค่าสัมประสิทธิ์ A_0 เท่านั้น ซึ่งการคำนวณหาค่า A_0 คำนวณได้จากการแทนค่า $h = 0$ ในสมการที่ (3-4) เพราะฉะนั้นจากรูปที่ 3.1 อาจสังเกตได้ว่าค่ากระแสไฟฟ้าหลักที่ความถี่มูลฐานบนแกน d (i_{d1}) และค่ากระแสไฟฟ้าที่ ความถี่มูลฐานบนแกน q (i_{q1}) คำนวณได้จากสมการที่ (3-5) และ (3-6) ตามลำดับ ค่า A_{0d} และ A_{0q} โดยรับข้อมูลกระแส i_d และ i_q มาหนึ่งค่า ซึ่งมีทั้งหมด N ข้อมูล มาคำนวณตามสมการที่ (3-7) และ (3-8)



รูปที่ 3.1 แผนภาพบล็อกการระบุเอกสารลักษณ์สาร์มอนิกด้วยวิธี DQF

$$i(kT) = \frac{A_0}{2} + \sum_{h=1}^{\infty} [A_h \cos(h\omega kT) + B_h \sin(h\omega kT)] \quad (3-3)$$

$$A_h = \frac{2}{N} \sum_{n=N_0}^{N_0+N-1} i(nT) \cos(nh\omega T) \quad (3-4)$$

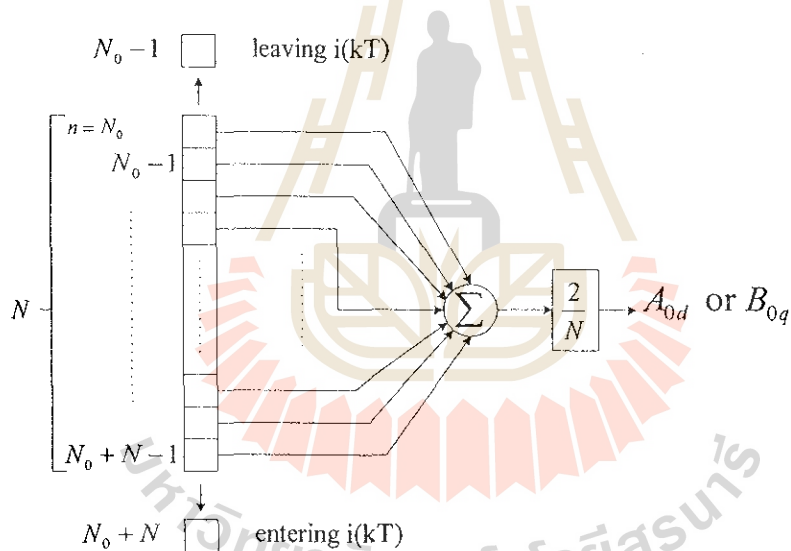
$$i_{d1}(kT) = \frac{A_{0d}}{2} \quad (3-5)$$

$$i_{q1}(kT) = \frac{A_{0q}}{2} \quad (3-6)$$

$$A_{0d} = \frac{2}{N} \sum_{n=N_0}^{N_0+N-1} i_d(nT) \quad (3-7)$$

$$A_{0q} = \frac{2}{N} \sum_{n=N_0}^{N_0+N-1} i_q(nT) \quad (3-8)$$

$$\begin{bmatrix} A_{0d}^{(new)} \\ A_{0q}^{(new)} \end{bmatrix} = \begin{bmatrix} A_{0d}^{(old)} \\ A_{0q}^{(old)} \end{bmatrix} - \frac{2}{N} \begin{bmatrix} i_d[(N_0-1)T] \\ i_q[(N_0-1)T] \end{bmatrix} + \frac{2}{N} \begin{bmatrix} i_d[(N_0+N)T] \\ i_q[(N_0+N)T] \end{bmatrix} \quad (3-9)$$



รูปที่ 3.2 แผนภาพการคำนวณค่าสัมประสิทธิ์ A_{0d} และ A_{0q}

หลังจากนี้เก็บค่าดังกล่าวในรูปแบบของแคลคูลัสดังรูปที่ 3.2 ส่วนในรอบการทำงานถัดไปเริ่มต้นจากการรับข้อมูลกระแส i_d และ i_q ค่าใหม่ ($i_d(N_0 + N)$) และ ($i_q(N_0 + N)$) และลบข้อมูลกระแส i_d และ i_q ค่าเก่า ($i_d(N_0 - 1)$) และ ($i_q(N_0 - 1)$) เพื่อคำนวณค่าสัมประสิทธิ์ A_{0d} ค่าใหม่ ($A_{0d}^{(new)}$) และค่าสัมประสิทธิ์ A_{0q} ค่าใหม่ ($A_{0q}^{(new)}$) ดังสมการที่ (3-9) โดยที่ ($A_{0d}^{(old)}$) คือค่าสัมประสิทธิ์ A_{0d} ค่าเก่าที่ได้จากการคำนวณก่อนหน้านี้ และ ($A_{0q}^{(old)}$) คือค่าสัมประสิทธิ์ A_{0q} ค่าเก่าที่ได้จากการคำนวณก่อนหน้านี้เช่นกัน ซึ่งการคำนวณค่าสัมประสิทธิ์ $A_{0d}^{(new)}$ และ $A_{0q}^{(new)}$ ใน

ทุกรอบของการรับข้อมูลกระแส i_d และ i_q ค่าใหม่ทำให้ได้ค่ากระแส i_{d1} และ i_{q1} ในทุกรอบของการคำนวณโดยช่วงเวลาการรับข้อมูลในแต่ละรอบจะเท่ากัน T วินาที หลังจากที่คำนวณค่ากระแส i_d และ i_{q1} ในแต่ละรอบแล้วนำค่าดังกล่าวไปหักลบกับค่ากระแส i_d และ i_q ดังสมการที่ (3-10) และ (3-11) ซึ่งจะได้ผลลัพธ์เป็นกระแสอาร์มอนิกทั้งหมดในระบบบนแกนหมุน d-q (i_{dh} และ i_{qh}) หลังจากนั้นแปลงค่ากระแสอาร์มอนิกบนแกนหมุน d-q กลับไปเป็นกระแสอาร์มอนิกบนแกน α และ β ($i_{\alpha h}$ และ $i_{\beta h}$) ดังสมการที่ (3-12) นำกระแส i_0 กลับมาคำนวณค่ากระแสอ้างอิงสามเฟสให้กับวงจรของกำลังแยกที่ฟาร์มาเฟส ($i_{u,ref}$, $i_{v,ref}$ และ $i_{w,ref}$) โดยใช้การแปลงเมตริกซ์ ดังสมการที่ (3-13)

$$i_{dh} = i_d - i_{d1} \quad (3-10)$$

$$i_{qh} = i_q - i_{q1} \quad (3-11)$$

$$\begin{bmatrix} i_{\alpha h} \\ i_{\beta h} \end{bmatrix} = \begin{bmatrix} \cos(\omega t) & -\sin(\omega t) \\ \sin(\omega t) & \cos(\omega t) \end{bmatrix} \begin{bmatrix} i_{dh} \\ i_{qh} \end{bmatrix} \quad (3-12)$$

$$\begin{bmatrix} i_{u,ref} \\ i_{v,ref} \\ i_{w,ref} \end{bmatrix} = \sqrt{\frac{2}{3}} \begin{bmatrix} 1 & 0 & \frac{1}{\sqrt{2}} \\ -\frac{1}{2} & \frac{\sqrt{3}}{2} & \frac{1}{\sqrt{2}} \\ -\frac{1}{2} & -\frac{\sqrt{3}}{2} & \frac{1}{\sqrt{2}} \end{bmatrix} \begin{bmatrix} i_{\alpha h} \\ i_{\beta h} \\ i_0 \end{bmatrix} \quad (3-13)$$

3.3 การระบุเอกสารก่อนที่จะรับวงจรกรองกำลังไบโบริดด้วยวิธีประยุกต์ SWFA บนแกน $\alpha, \beta, 0$

เมื่อต้องการกำจัดสาร์มอนิกทั้งหมด จากวิธี SWFA ดังเดิม [7] มีขั้นตอนที่สำคัญเป็นการคำนวณหากระแสที่ความถี่มูลฐานเพื่อนำไปหักลบออกจากค่ากระแสที่วัดได้จากแหล่งจ่ายไฟฟ้าหลัก เพื่อจะได้กระแสอาร์มอนิกที่เกิดขึ้นทั้งหมดในระบบ แต่ถ้าเป็นกรณีต้องการเลือกกำจัดกระแสอาร์มอนิกเป็นบางอันดับหรือเฉพาะค่าสูง จึงประยุกต์การคำนวณกระแสที่ความถี่หาร์มอนิกต่างๆ โดยสามารถดำเนินการดังนี้

ขั้นที่ 1 แปลงค่ากระแสไฟฟ้าสามเฟส คือ i_u , i_v และ i_w เป็นกระแสไฟฟ้าสเปชเวกเตอร์ (i_α, i_β) และ i_0) ดังสมการที่ (3.1)

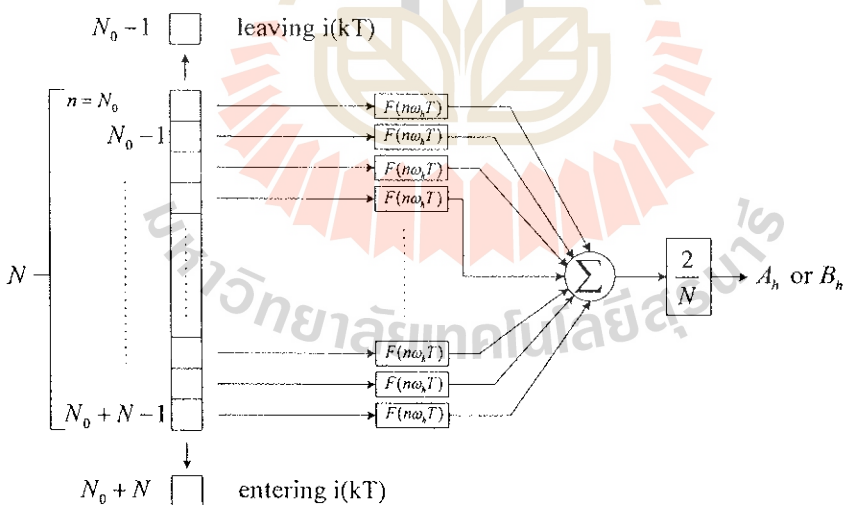
ขั้นที่ 2 นำผลพาระแต่ i_α, i_β คำนวณหาค่าสัมประสิทธิ์ A_h กับ B_h ตามสมการที่ (3-15) และ (3-16) ตามลำดับ จึงสามารถคำนวณกระแสอนิกจากสมการที่ (3-14) แล้วเปลี่ยนจากการพิจารณาที่ความถี่มูลฐานมาเป็นพิจารณาที่ความถี่ที่ต้องการกำจัดหาร์มอนิก $\omega \rightarrow \omega_h$

$$i_h(kT) = A_h \cos(\omega_h kT) + B_h \sin(\omega_h kT) \quad (3-14)$$

$$A_h = \frac{2}{N} \sum_{n=N_0}^{N_0+N-1} i(nT) \cos(n\omega_h T) \quad (3-15)$$

$$B_h = \frac{2}{N} \sum_{n=N_0}^{N_0+N-1} i(nT) \sin(n\omega_h T) \quad (3-16)$$

ค่าสัมประสิทธิ์ A_h และ B_h ที่ได้จากการคำนวณในช่วงแรกนี้จะถูกเก็บเป็นข้อมูลในรูปแบบตารางดังรูปที่ 3.3 เพื่อสำหรับคำนวณต่อไปกับอัลกอริทึมการระบุเอกสารลักษณ์化าร์มอนิกคัวบีซ SWFA



รูปที่ 3.3 แผนภาพการคำนวณค่าสัมประสิทธิ์ A_h และ B_h

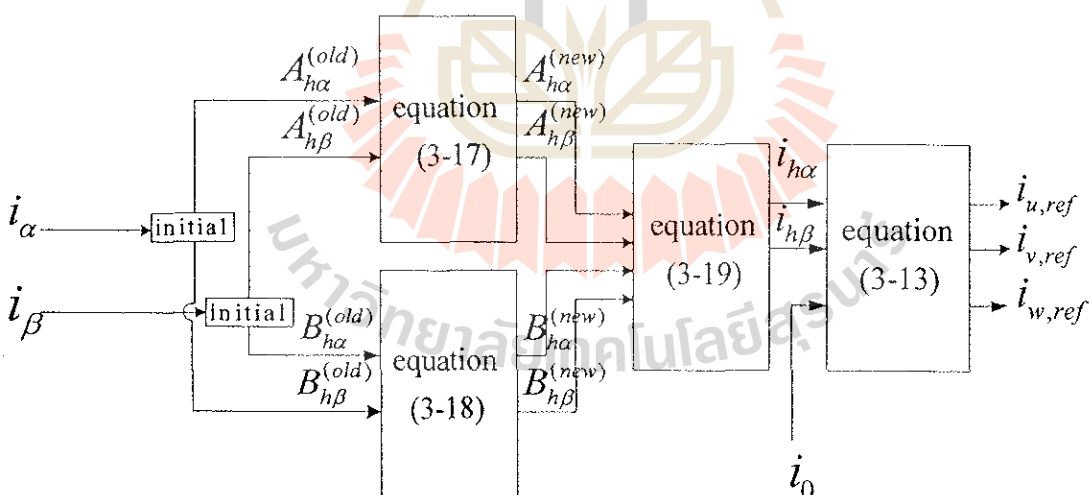
ขั้นที่ 3 เมื่อจากพิจารณาเฉพาะ i_α, i_β จึงมีเพียงสองแกนที่ต้องคำนึงถึง การคำนวณดำเนินการตามสมการที่ (3-17) ถึง (3-19) แสดงเป็นแผนภาพล็อกให้ดังรูปที่ 3.4

$$\begin{bmatrix} A_{h\alpha}^{(new)} \\ A_{h\beta}^{(new)} \end{bmatrix} = \begin{bmatrix} A_{h\alpha}^{(old)} \\ A_{h\beta}^{(old)} \end{bmatrix} - \frac{2}{N} \begin{bmatrix} i_\alpha[(N_0-1)T] \\ i_\beta[(N_0-1)T] \end{bmatrix} \cos[(N_0-1)\omega_h T] + \frac{2}{N} \begin{bmatrix} i_\alpha[(N_0+N)T] \\ i_\beta[(N_0+N)T] \end{bmatrix} \cos[(N_0+N)\omega_h T] \quad (3-17)$$

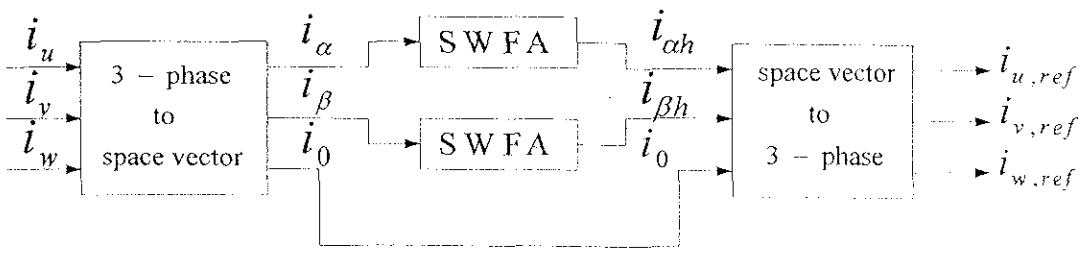
$$\begin{bmatrix} B_{h\alpha}^{(new)} \\ B_{h\beta}^{(new)} \end{bmatrix} = \begin{bmatrix} B_{h\alpha}^{(old)} \\ B_{h\beta}^{(old)} \end{bmatrix} - \frac{2}{N} \begin{bmatrix} i_\alpha[(N_0-1)T] \\ i_\beta[(N_0-1)T] \end{bmatrix} \sin[(N_0-1)\omega_h T] + \frac{2}{N} \begin{bmatrix} i_\alpha[(N_0+N)T] \\ i_\beta[(N_0+N)T] \end{bmatrix} \sin[(N_0+N)\omega_h T] \quad (3-18)$$

$$\begin{bmatrix} i_{h\alpha}(kT) \\ i_{h\beta}(kT) \end{bmatrix} = \begin{bmatrix} A_{h\alpha} & B_{h\alpha} \\ A_{h\beta} & B_{h\beta} \end{bmatrix} \begin{bmatrix} \cos(\omega_h kT) \\ \sin(\omega_h kT) \end{bmatrix} \quad (3-19)$$

ขั้นที่ 4 นำกระแส i_0 กลับมาคำนวณค่ากระแสอ้างอิงสามเฟสให้กับวงจรกรองกำลัง แยกทีฟสามเฟส ($i_{u,ref}$, $i_{v,ref}$ และ $i_{w,ref}$) โดยใช้การแปลงเมตริกซ์ดังสมการที่ (3-13)



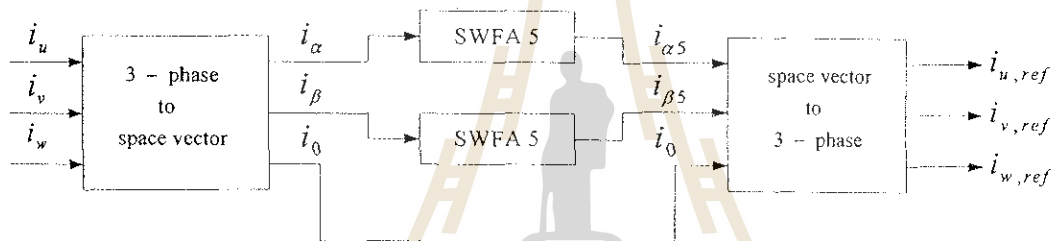
รูปที่ 3.4 แผนภาพนิล็อกการระบุเอกสารลักษณ์าร์มอนิกด้วยวิธีประยุกต์ SWFA บนแกน $\alpha, \beta, 0$



รูปที่ 3.5 แผนภาพบล็อกการระบุเอกสารลักษณ์ชาร์มอนิกด้วยวิธีประยุกต์ SWFA บนแกน $\alpha, \beta, 0$

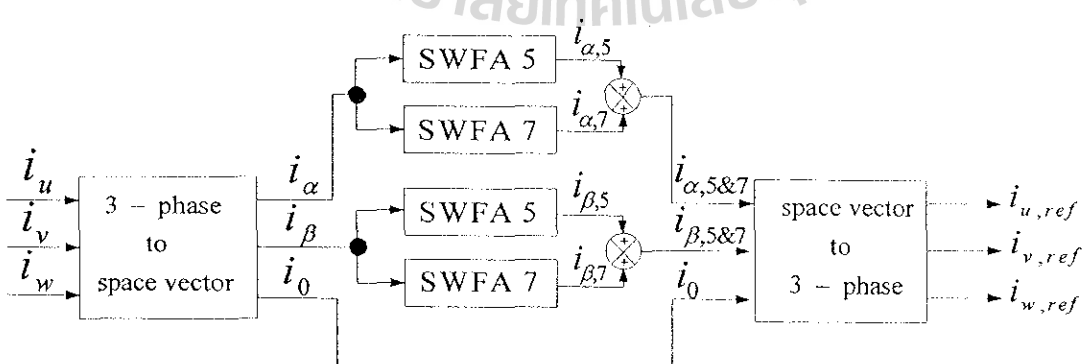
เราสามารถนำการระบุเอกสารลักษณ์ชาร์มอนิกด้วยวิธีประยุกต์ SWFA บนแกน $\alpha, \beta, 0$ มาคัดแปลงใช้งานกับกรณีต่างๆ ได้อ่าย่างหลากหลาย โดยใช้แนวคิดดังแสดงไว้ด้วยแผนภาพในรูปที่ 3.6 – 3.8

กรณีที่ 1. เลือกกำจัดชาร์มอนิกเฉพาะชาร์มอนิกอันดับที่ 5 การดำเนินงานเป็นไปตามกระบวนการที่แทนได้ด้วยแผนภาพในรูปที่ 3.6



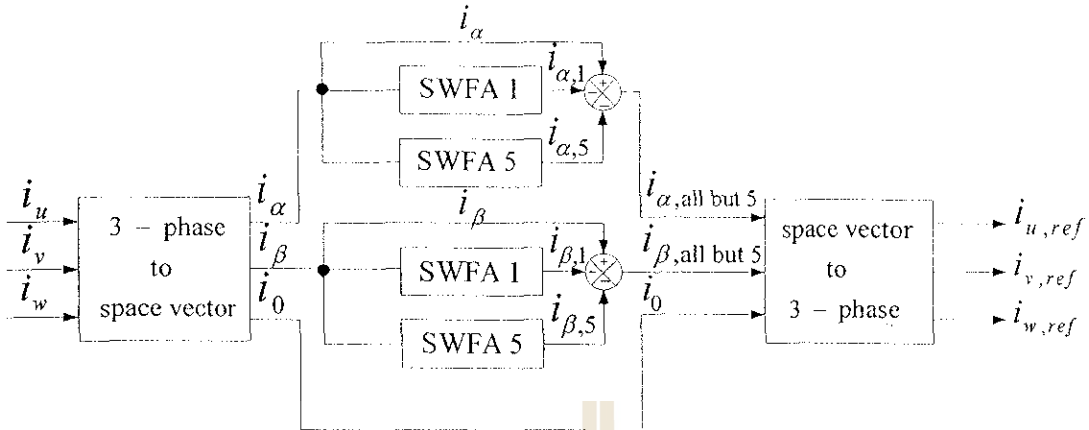
รูปที่ 3.6 แผนภาพบล็อกการระบุเอกสารลักษณ์ด้วยวิธีประยุกต์ SWFA บนแกน $\alpha, \beta, 0$
เลือกกำจัดชาร์มอนิกเฉพาะอันดับที่ 5

กรณีที่ 2. เลือกกำจัดชาร์มอนิกเฉพาะชาร์มอนิกอันดับที่ 5 และ 7 การดำเนินงานเป็นไปตามกระบวนการที่แทนได้ด้วยแผนภาพในรูปที่ 3.7



รูปที่ 3.7 แผนภาพบล็อกการระบุเอกสารลักษณ์ด้วยวิธีประยุกต์ SWFA บนแกน $\alpha, \beta, 0$
เลือกกำจัดชาร์มอนิกเฉพาะอันดับที่ 5 และ 7

กรณีที่ 3. เลือกกำจัดาร์มอนิกทั้งหมดยกเว้นชาร์มอนิกอันดับที่ 5 การดำเนินงานเป็นไปตามกระบวนการที่ແທນได้ด้วยแผนภาพในรูปที่ 3.8



รูปที่ 3.8 แผนภาพล็อกการระบุออกลักษณ์ค่าวิธีประยุกต์ SWFA บนแกน $\alpha, \beta, 0$

เลือกกำจัดาร์มอนิกทุกอันดับที่ยกเว้นอันดับที่ 5

3.4 สรุป

บทนี้ได้นำเสนอการทบทวนอัลกอริทึม DQF ที่ใช้เพื่อการระบุออกลักษณ์ชาร์มอนิกในระบบไฟฟ้า 3 เฟส สำหรับการใช้งานกับวงจรกรองกำลังแยกทีฟ งานวิจัยนี้ได้ใช้วิธี DQF เป็นรากฐานของการพัฒนาต่อไป ไปเป็นอัลกอริทึมใหม่ที่มีโครงสร้างหลักเป็นการวิเคราะห์ฟูริเยร์ SWFA กระทำกับกระแสไฟฟ้าสเปสเฟลเตอร์ ($\alpha, \beta, 0$) แนวทางใหม่นี้มีหนทางการคำนวณสั้นกว่า DQF มีความซับซ้อนน้อยกว่า และมีความอ่อนตัวในการปรับใช้เพื่อกำจัดาร์มอนิกแบบกลุ่มหรือแบบเฉพาะจังอันดับ ดังตัวอย่างที่เสนอเป็นกรณีศึกษา 3 ตัวอย่าง แต่ไม่ได้มายความร่วมว่าความเป็นไปได้ในการปรับใช้จะจำกัดแต่เพียงเท่านี้

บทที่ 4

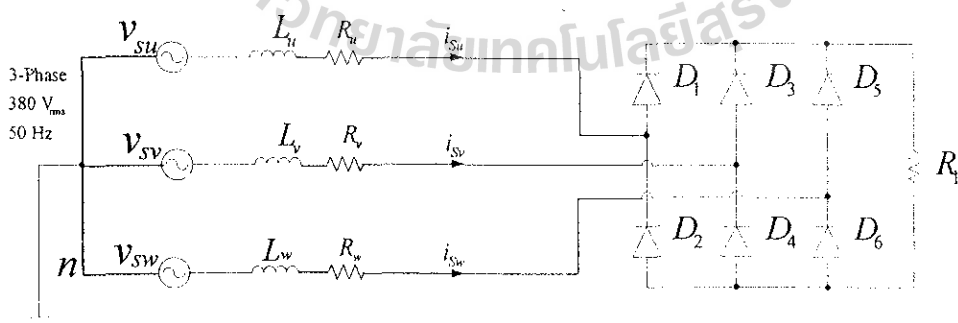
ผลการจำลองสถานการณ์การกำจัดสาร์มอนิก

4.1 กล่าวว่า

การจำลองสถานการณ์การกำจัดสาร์มอนิกที่นำเสนอในบทนี้ แบ่งเป็นการจำลองสถานการณ์สำหรับวงจรของกำลังออกที่ไฟ โดยพิจารณาแบบจำลองของวงจรของเป็นแหล่งจ่ายกระแสอุคุณคติ ที่กำจัดสาร์มอนิกได้อย่างสมบูรณ์ ทั้งนี้เพื่อการศึกษาเปรียบเทียบสมรรถนะของอัลกอริทึมการระบุออกลักษณ์สาร์มอนิก อัลกอริทึมเหล่านี้ได้แก่ วิธี DQF และ วิธี ประยุกต์ SWFA บนแกน $\alpha, \beta, 0$ การจำลองสถานะการณ์สำหรับวงจรของกำลังพาสชีฟ และการจำลองสถานการณ์สำหรับวงจรของกำลังไฟฟ้า โดยการจำลองสถานการณ์ของวงจรของดังกล่าวได้พิจารณาระบบที่มีโหลดไม่เป็นเชิงเส้น ซึ่งในที่นี้คือวงจรเรียงกระแสที่มีโหลดเป็นความด้านทานเพียงอย่างเดียว ซึ่งโหลดดังกล่าวเมื่อไม่ได้ติดตั้งตัวเก็บประจุในการปรับน้ำหนึบแรงดันสามารถพิจารณาเป็นโหลดในกอุ่นแหล่งจ่ายกระแสไม่เป็นเชิงเส้น (current-source nonlinear load, CSNL) ตัวบ่งชี้ประสิทธิภาพการกำจัดสาร์มอนิกที่ใช้อัลกอริทึมการระบุอักขण์สาร์มอนิกแต่ละวิธี ใช้ค่า %THD_i ภายหลังการซัดเซยเป็นสำคัญ บทนี้จึงนำเสนอผลการจำลองสถานการณ์และอภิปรายผลไปพร้อมกัน

4.2 โครงสร้างของระบบทดสอบ

การจำลองสถานการณ์ได้พิจารณาระบบที่มีโหลดไม่เป็นเชิงเส้น ซึ่งในที่นี้เป็นวงจรเรียงกระแสสามเฟสที่มีโหลดเป็นความด้านทานเพียงอย่างเดียว แสดงไว้ในรูปที่ 4.1 โดยค่า R_u, R_v และ R_w ที่ใช้ในการจำลองสถานการณ์มีค่าเท่ากับ 0.001Ω ค่า L_u, L_v และ L_w มีค่าเท่ากับ $100 \mu H$ [8] ส่วนค่าโหลดความด้านทาน R_t มีค่าเท่ากับ 50Ω (ให้ผลการจำลองสถานการณ์ดังรูปที่ 4.7)



รูปที่ 4.1 โครงสร้างของระบบทดสอบที่ใช้ในการจำลองสถานการณ์

4.3 การจัดองค์สถานการณ์การกำจัดอาร์มอนิกสำหรับวงจรกรองกำลังพาราเซฟ

โครงสร้างของวงจรกรองกำลังพาราเซฟได้นำเสนอ 2 วงจรได้แก่ วงจรกรองกำลังพาราเซฟแบบขนาดนิคปั๊ร์บความถี่ และ วงจรกรองกำลังพาราเซฟแบบอนุกรม [9, 10]

4.3.1 การออกแบบและคำนวณค่าส่วนประกอบของวงจรกรองกำลังพาราเซฟแบบขนาดนิคปั๊ร์บความถี่

การคำนวณหาค่าพารามิเตอร์ต่างๆ ของวงจรกรองกำลังนั้นจะต้องทราบค่ากำลังงานรีแอคทีฟซึ่งเป็นค่าที่วงจรกรองกำลังจะต้องจ่ายให้กับระบบ ค่าความถี่ที่ต้องการกรอง ค่าตัวประกอบคุณภาพ (Quality Factor) และค่าการทำงานค่าງๆ ของระบบไฟฟ้า เช่น ระดับแรงดันความถี่ของระบบ เป็นต้น

ขั้นตอนการออกแบบวงจรกรองกำลังพาราเซฟแบบขนาดนิคปั๊ร์บความถี่ มีดังนี้

- กำหนดค่าแรงดันระบบ (V_{sys}) ที่จะทำการติดตั้งวงจรกรองกระแสอาร์มอนิกและความถี่มูลฐานที่ใช้ในการกรอง
- กำหนดค่ากำลังงานรีแอคทีฟ (Q_{com}) ที่ระบบต้องการจากวงจรกรองกำลังเพื่อใช้ในการปรับค่าตัวประกอบกำลังของระบบให้ได้ตามที่ต้องการ โดยค่ากำลังงานรีแอคทีฟที่ระบบต้องการหาได้ดังนี้

$$Q_{com} = kW (\tan \theta_1 - \tan \theta_2) \quad (4-1)$$

โดยที่ Q_{com} คือ กำลังงานรีแอคทีฟที่ระบบต้องการ ($kVar$)

- kW คือ กำลังงานจริงของโหลดรวมทั้งหมด
- θ_1 คือ มุมของตัวประกอบกำลังไฟฟ้าเดิม
- θ_2 คือ มุมของตัวประกอบกำลังไฟฟ้าใหม่ที่ต้องการ

3. กำหนดจำนวนชุดวงจรกรองกำลังในระบบว่าต้องการติดตั้งอันดับใดบ้าง เช่นตัวกรองอันดับที่ 5 และ 7 เป็นต้น

4. ทำการแปลงค่า Q_{com} ออกเป็นส่วนๆ ตามจำนวนชุดของตัวกรองกำลังที่กำหนดไว้ โดยใช้สัดส่วนของปริมาณกระแสอาร์มอนิกแต่ละอันดับ

5. กำหนดจุดปรับความถี่ (Tuning point : n_h) ของตัวกรองแต่ละอันดับ โดยกำหนดให้จุดปรับความถี่ มีค่าต่ำกว่าอันดับของอาร์มอนิกที่ต้องการกรองเล็กน้อย

6. กำหนดขนาดพิกัดแรงดันของตัวเก็บประจุที่ความถี่มูลฐานดังนี้

$$V_{cr} \geq \left(\frac{n_h^2}{n_h^2 - 1} \right) V_{sys} \quad (4-2)$$

โดยที่ V_{sys} คือ แรงดันระบบที่ตัวกรองต้องบวก (V)

n_h คือ ค่าจุดปรับความถี่ ของตัวกรอง

V_{cr} คือ แรงดันพิกัดของตัวเก็บประจุ (V)

7. กำหนดขนาดกำลังรีแอกทีฟพิกัดของตัวเก็บประจุ (Q_{cr}) ที่ต้องใช้ในตัวกรองแต่ละอันดับ การหาขนาดของตัวเก็บประจุทำได้โดยใช้สมการ

$$Q_{cr} = \frac{Q_{com}}{\left(\frac{n_h^2}{n_h^2 - 1} \right) \left(\frac{V_{sys}}{V_{cr}} \right)^2} \quad (4-3)$$

8. กำหนดค่าตัวประกอบคุณภาพ (Q_F) ของตัวกรอง

9. คำนวณหาค่าตัวเก็บประจุ (C) ค่าตัวแทนนิยาน์และค่าความต้านทาน ดังสมการต่อไปนี้

$$C = \frac{Q_{cr} \times 10^6}{2\pi f n_h V_{cr}} \quad (\mu F) \quad (4-4)$$

$$L = \frac{10^3}{(2\pi f n_h)^2 C} \quad (\text{mH}) \quad (4-5)$$

$$R = \frac{X_L \text{ at } n_h}{Q_F} \quad (\Omega) \quad (4-6)$$

โดยที่ V_{cr} คือ แรงดันพิกัดของตัวเก็บประจุ (V)

Q_{cr} คือ กำลังรีแอกทีฟพิกัดของตัวเก็บประจุ (VAR)

n_h คือ ค่าจุดปรับความถี่ ของตัวกรอง

Q_F คือ ค่าตัวประกอบคุณภาพของตัวกรอง

10. วิเคราะห์การไหลของกระแสอาร์มอนิกในส่วนต่างๆ ของระบบไฟฟ้าใหม่ที่ทำการติดตั้งวงจรกรองกำลังเข้าไปในระบบ

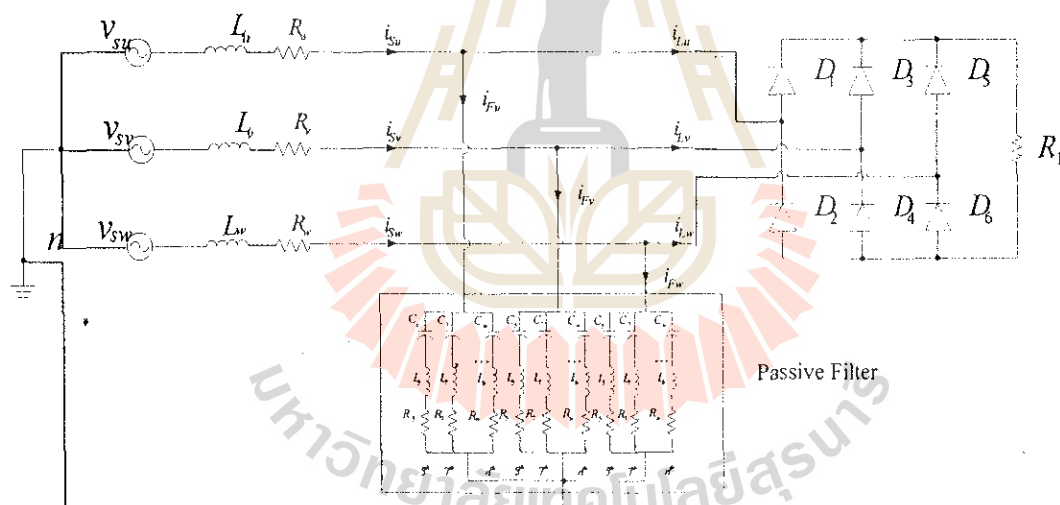
11. ตรวจสอบตัวเก็บประจุทำงานเกินพิกัดหรือไม่ หากผลการตรวจสอบพบว่าตัวเก็บประจุทำงานเกินพิกัดที่กำหนด จะต้องเลือกขนาดของตัวเก็บประจุใหม่ โดยกลับไปขั้นตอนที่ 7. ใหม่

12. กำหนดขนาดกระแสพิกัดของตัวเหนี่ยวนำ (L) โดยปกติแล้วกระแสพิกัดของตัวเหนี่ยวนำจะเพื่อขนาดกระแสที่ความถี่มูลฐานไว้ 10% เพื่อเป็นการป้องกันตัวเหนี่ยวนำ

$$I_L = 1.3 I_{Cr} \quad (4-7)$$

เมื่อ I_{Cr} คือขนาดกระแสพิกัดอาร์เรียมเอกสาร ของตัวเก็บประจุ หากได้ดังสมการที่ (4.8)

$$I_{Cr} = \frac{Q_{Cr}}{V_{Cr}} \quad (4-8)$$



รูปที่ 4.2 โครงสร้างของระบบที่ใช้ในการจำลองสถานการณ์การกำจัดชาร์มอนิกสำหรับวงจรกรองกำลังพลาซึฟแบบบานานาชนิดปรับคลื่น

โครงสร้างของระบบสำหรับการจำลองสถานการณ์กรณีของการใช้วงจรกรองกำลังพาราสซิฟแบบขนานแทนได้ด้วยแผนภาพดังรูปที่ 4.2 โดยที่โหลดที่ใช้ 50Ω และค่าตัวแปรต่างๆ เมื่อเทียบกับกรณีที่ 4.2 ซึ่งการจำลองสถานการณ์ในที่นี้แบ่งออกเป็นการกำจัดชาร์มอนิกด้วยวงจรกรองกำลังพาราสซิฟดังนี้

- ติดตั้งวงจรกรองกำลังพาราสซิฟที่กำจัดชาร์มอนิกแรกphase อันดับที่ 5 โดยมีพารามิเตอร์ต่างๆ ดังนี้ $C_5 = 3.0822 \mu F$, $L_5 = 0.1315 H$, $R_5 = 1.0327 \Omega$ (ให้ผลการจำลองสถานการณ์ดังรูปที่ 4.8)

- ติดตั้งวงจรกรองกำลังพาราสซิฟที่กำจัดชาร์มอนิกเลขphase อันดับที่ 7 โดยมีพารามิเตอร์ต่างๆ ดังนี้ $C_7 = 2.2465 \mu F$, $L_7 = 0.0920 H$, $R_7 = 1.0121 \Omega$ (ให้ผลการจำลองสถานการณ์ดังรูปที่ 4.9)

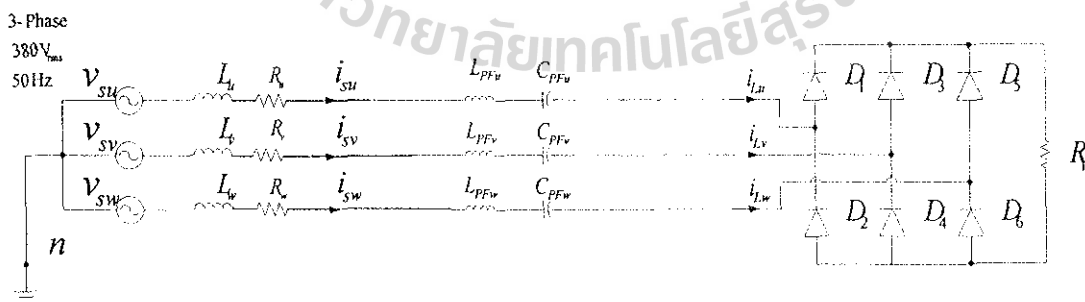
- ติดตั้งวงจรกรองกำลังพาราสซิฟที่กำจัดชาร์มอนิกเลขphase อันดับที่ 5, 7 โดยมีพารามิเตอร์ต่างๆ ดังนี้ $C_5 = 2.4497 \mu F$, $L_5 = 0.1654 H$, $R_5 = 1.2994 \Omega$, $C_7 = 0.46017 \mu F$, $L_7 = 0.4493 H$, $R_7 = 0.9882 \Omega$ (ให้ผลการจำลองสถานการณ์ดังรูปที่ 4.10)

4.3.2 การออกแบบและคำนวณค่าส่วนประกอบของวงจรกรองกำลังพาราสซิฟแบบอนุกรม [11] ในที่นี้เป็นชนิดความถี่ต่ำผ่าน ประกอบด้วยตัวหนึ่นนำต่ออนุกรมกับตัวเก็บประจุ โดยใช้หลักการ รีโซแนนซ์ในการออกแบบดังสมการที่ (4-9, 4-10)

$$X_L = X_C \quad (4-9)$$

$$\omega_n = \frac{1}{\sqrt{LC}} \quad (4-10)$$

โดยที่ ω_n คือความถี่ที่ต้องการคูณซึ่งมีหน่วยเป็นเรเดียน



รูปที่ 4.3 โครงสร้างของระบบที่ใช้ในการจำลองสถานการณ์การกำจัดชาร์มอนิกสำหรับวงจรกรองกำลังพาราสซิฟแบบอนุกรม

การจำลองสถานการณ์โดยค่าตัวแปรต่างๆ เมื่อมีอนกับกรณีที่ 4.2 ยกเว้นค่าโดยด้วยความต้านทาน R_s เป็น 600Ω เพื่อความเหมาะสมทางกำลังไฟฟ้าและการออกแบบ โครงสร้างของระบบที่จำลองสถานการณ์แสดงดังแผนภาพในรูปที่ 4.3 การจำลองสถานการณ์ในที่นี้แบ่งส่วนการจำลองออกเป็นส่วนๆ ดังนี้

- ระบบทดสอบเมื่อ R_s เปลี่ยนค่าเป็น 600Ω (ให้ผลการจำลองสถานการณ์ดังรูปที่ 4.20)
- วงจรรองกำลังพาสซีฟอนุกรมแบบที่ 1 ค่าความหนาแน่นที่บานท่อกับ 0.5 H ค่าตัวเก็บประจุเท่ากับ $20\text{ }\mu\text{F}$ (ให้ผลการจำลองสถานการณ์ดังรูปที่ 4.11)
- วงจรรองกำลังพาสซีฟอนุกรมแบบที่ 2 ค่าความหนาแน่นที่บานท่อกับ 1.0 H ค่าตัวเก็บประจุเท่ากับ $10\text{ }\mu\text{F}$ (ให้ผลการจำลองสถานการณ์ดังรูปที่ 4.12)
- วงจรรองกำลังพาสซีฟอนุกรมแบบที่ 3 ค่าความหนาแน่นที่บานท่อกับ 2.0 H ค่าตัวเก็บประจุเท่ากับ $5\text{ }\mu\text{F}$ (ให้ผลการจำลองสถานการณ์ดังรูปที่ 4.13)

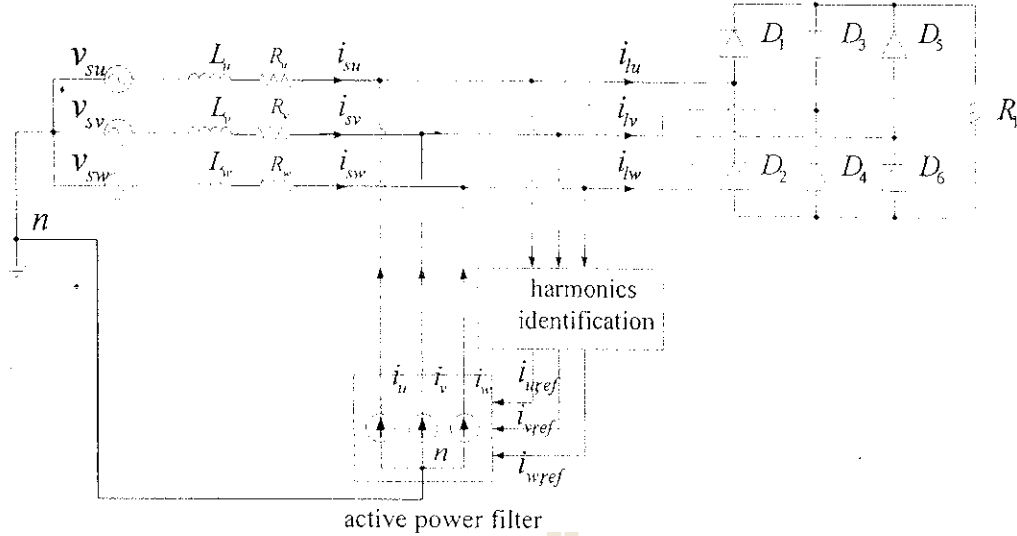
4.4 การจำลองสถานการณ์การกำจัดสารมอนิกสำหรับวงจรรองกำลังแยกทีฟ

โครงสร้างของระบบสำหรับการจำลองสถานการณ์ สามารถแทนได้ด้วยแผนภาพในรูปที่ 4.4 โดยที่โดยค่าตัวแปรต่างๆ เมื่อมีอนกับกรณีที่ 4.2 ข้างต้นเกตได้ว่ามีองค์ประกอบหนึ่งเป็นการระบุเอกลักษณ์ชาร์มอนิก (harmonics identification) ซึ่งหมายถึง วิธี DQF และวิธี ประยุกต์ SWFA บนแกน $\alpha, \beta, 0$ ในเบื้องต้น ถ้าพิจารณาว่าไม่มีวงจรรองกำลังแยกทีฟ กระแสไฟฟ้าที่แหล่งจ่ายกำลังไฟฟ้าหลัก (i_{sh}, i_{sv} และ i_{sw}) จะมีค่าเท่ากับกระแสไฟฟ้าที่ไหลเข้าโดยด้วย (i_h, i_v และ i_w) แต่ถ้าพิจารณาในกรณีที่มีวงจรรองกำลังแยกทีฟ นิดกระแสชาดเชย (i_{ch}, i_{cv} และ i_{cw}) เพื่อกำจัดชาร์มอนิก จะได้ความสมัมพันธ์ของกระแสไฟฟ้าทั้งสามเฟส โดยอาศัยกฎของเกอร์ชอฟฟ์ ดังสมการที่ (4-1) ในสมการใช้ i เป็นตัวห้อง แสดงไฟส. บ. เฟส v หรือ เฟส w เมื่อพิจารณาไฟส. บ. จะแทน i ด้วยน ถ้าเป็นไฟส. v จะแทน i ด้วย i_v และถ้าไฟส. w จะแทน i ด้วย i_w

$$i_{si} = i_h - i_{ci} \quad (4-1)$$

ซึ่งการจำลองสถานการณ์ในที่นี้แบ่งออกเป็นการกำจัดชาร์มอนิกด้วยวงจรรองกำลังแยกทีฟดังนี้

- วงจรรองกำลังแยกทีฟที่กำจัดชาร์มอนิกทั้งหมดในระบบโดยใช้การระบุเอกลักษณ์ด้วยวิธี DQF (ให้ผลการจำลองสถานการณ์ดังรูปที่ 4.14)
- วงจรรองกำลังแยกทีฟที่กำจัดชาร์มอนิกทั้งหมดในระบบโดยใช้การระบุเอกลักษณ์ด้วยวิธีประยุกต์ SWFA บนแกน $\alpha, \beta, 0$ (ให้ผลการจำลองสถานการณ์ดังรูปที่ 4.15)



รูปที่ 4.4 โครงสร้างของระบบที่ใช้ในการจำลองสถานการณ์การกำจัดสารมอนิก
สำหรับวงจรกรองกำลังแยกทีฟ

4.5 การจำลองสถานการณ์การกำจัดสารมอนิกสำหรับวงจรกรองกำลังไฮบริดแบบที่ 1

โครงสร้างของระบบสำหรับการจำลองสถานการณ์สามารถแทนได้ด้วยแผนภาพในรูปที่ 4.5 โดยที่ໂຫດທີ່ໃຊ້ແລະຄໍາຕັວແປຣຕ່າງໆເໝືອນກັບຮຽນທີ່ 4.2 ຊຶ່ງການจำลองสถานการณ์ໃນທີ່ນິ່ວງຈະ
ກຮອງກຳລັງໄຂອບີຕປະກອນດ້ວຍງຈຈະກອງກຳລັງພາສີຟແບນນຸ້ານ໌ນິດປັບຄຸນ ມີຄໍາຕັບການ
ຕິດຕັ້ງງຈຈະກອງກຳລັງຕ່າງໆດັ່ງນີ້

4.5.1 Source – Passive Filter order5 – Active Filter(DQF) – Load.

(ให้ผลการจำลองสถานการณ์ดังรูปที่ 4.16)

4.5.2 Source – Passive Filter order5 – Active Filter(SWFA on $\alpha, \beta, 0$) – Load.

(ให้ผลการจำลองสถานการณ์ดังรูปที่ 4.17)

4.5.3 Source – Active Filter(DQF) – Passive Filter order 5 – Load.

(ให้ผลการจำลองสถานการณ์ดังรูปที่ 4.18)

4.5.4 Source – Active Filter(SWFA on $\alpha, \beta, 0$) – Passive Filter order 5 – Load.

(ให้ผลการจำลองสถานการณ์ดังรูปที่ 4.19)

4.5.5 Source – Passive Filter order5&7 – Active Filter(DQF) – Load.

(ให้ผลการจำลองสถานการณ์ดังรูปที่ 4.20)

4.5.6 Source – Passive Filter order5&7 – Active Filter(SWFA on $\alpha, \beta, 0$) – Load.

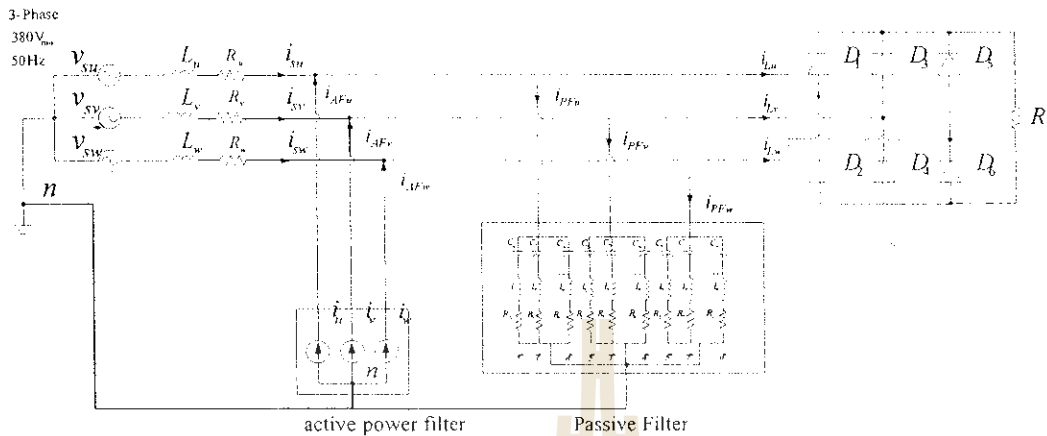
(ให้ผลการจำลองสถานการณ์ดังรูปที่ 4.21)

4.5.7 Source – Active Filter(DQF) – Passive Filter order 5&7 – Load.

(ให้ผลการจำลองสถานการณ์ดังรูปที่ 4.22)

4.5.8 Source – Active Filter (SWFA on $\alpha, \beta, 0$) – Passive Filter order 5&7 – Load.

(ให้ผลการจำลองสถานการณ์ดังรูปที่ 4.23)



รูปที่ 4.5 โครงสร้างของระบบที่ใช้ในการจำลองสถานการณ์การกำจัดဓาร์มอนิก

สำหรับวงจรกรองกำลังไฮบริดแบบที่ 1

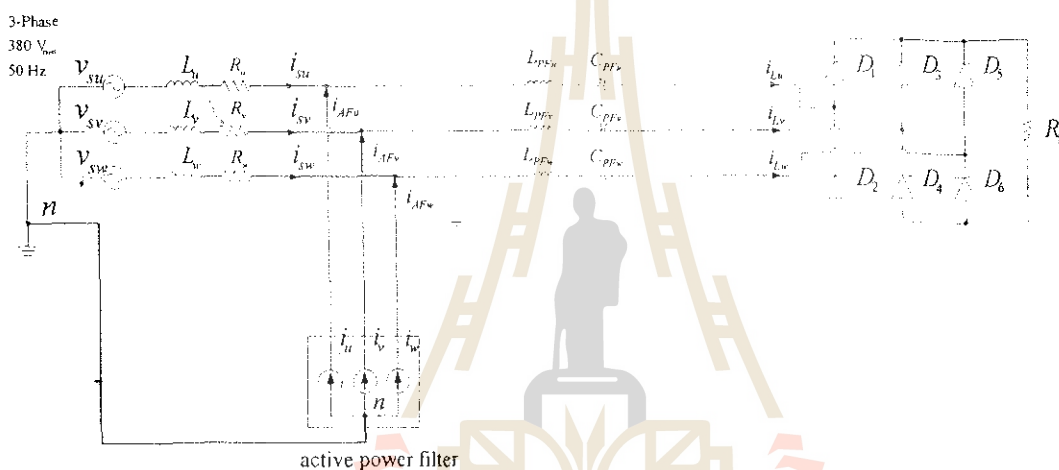
จากตารางที่ 4.1 สรุปผลการจำลองสถานการณ์ทั้งก่อนการกำจัดဓาร์มอนิก การติดตั้งวงจรกรองกำลังพาสซีฟแบบอนุกรมชนิดปรับคลื่น การติดตั้งวงจรกรองกำลังแยกทีฟ และการติดตั้งวงจรกรองกำลังไฮบริดตามคำอธิบายที่ได้จากการคำนวณในส่วนที่ 4.2 แสดงค่ากระแส(Irms) และพิกัดกำลังไฟฟ้า(VA) ณ จุดต่างๆ เช่น ที่แหล่งจ่ายกำลังไฟฟ้าหลัก ที่วงจรกรองกำลังพาสซีฟ ที่วงจรกรองกำลังแยกทีฟ ซึ่งในที่นี้พิจารณาเฉพาะเฟส n เมื่อจากเฟส v และ w มีผลคล้ายคลึงกัน奋进

$$\%THD_{i,\text{ave}} = \sqrt{\left(\frac{\sum_{k=u,v,w} (\%THD_{i,(k)})}{3} \right)^2} \quad (4-12)$$

4.6 การจำลองสถานการณ์การกำจัดဓาร์มอนิกสำหรับวงจรกรองกำลังไฮบริดแบบที่ 2

โครงสร้างของระบบสำหรับการจำลองสถานการณ์ต่างจากแบบที่ 1 คือส่วนของวงจรกรองกำลังพาสซีฟที่เปลี่ยนมาใช้แบบอนุกรม สามารถแทนได้ด้วยแผนภาพในรูปที่ 4.6 โดยที่โหลดที่ใช้และค่าตัวแปรต่างๆ เมื่อมองกับกรณีที่ 4.3.2 คือ R_1 เปลี่ยนค่าเป็น 600Ω ซึ่งการจำลองสถานการณ์ในที่นี้แบ่งส่วนการจำลองออกเป็นส่วนๆ ดังนี้

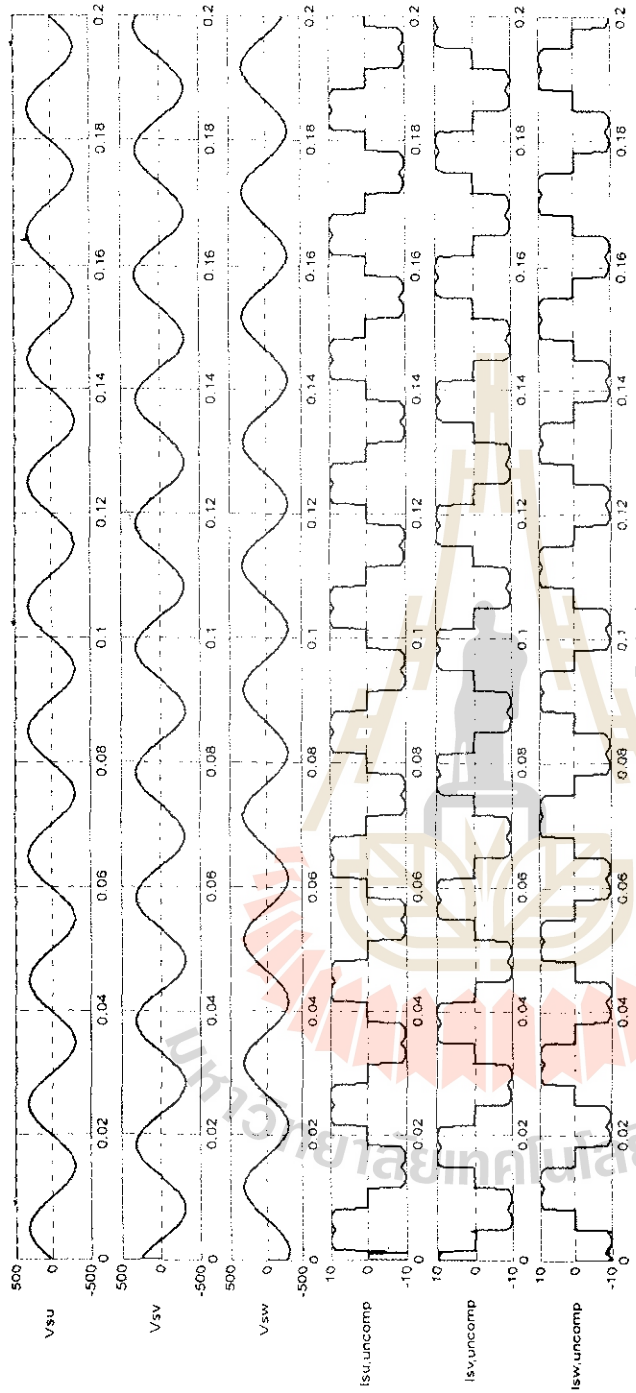
- วงจรกรองกำลังแอกทีฟกำจัดชาร์มอนิกทั้งหมดในระบบโดยใช้การระบุอกลักษณ์ด้วยวิธี DQF (ให้ผลการจำลองสถานการณ์ดังรูปที่ 4.24)
- วงจรกรองกำลังแอกทีฟที่กำจัดชาร์มอนิกทั้งหมดในระบบโดยใช้การระบุอกลักษณ์ด้วยวิธีประยุกต์ SWFA บันແກນ $\alpha, \beta, 0$ (ให้ผลการจำลองสถานการณ์ดังรูปที่ 4.25)
- วงจรกรองกำลังไชนริดประกอบด้วย วงจรกรองกำลังแอกทีฟที่กำจัดชาร์มอนิกทั้งหมดในระบบโดยใช้การระบุอกลักษณ์ด้วยวิธีประยุกต์ DQF และวงจรกรองกำลังพาสซีฟตามกรณีที่ 4.3.2 (ให้ผลการจำลองสถานการณ์ดังรูปที่ 4.26-4.28)
- วงจรกรองกำลังไชนริดประกอบด้วย วงจรกรองกำลังแอกทีฟที่กำจัดชาร์มอนิกทั้งหมดในระบบโดยใช้การระบุอกลักษณ์ด้วยวิธี ประยุกต์ SWFA บันແກນ $\alpha, \beta, 0$ และวงจรกรองกำลังพาสซีฟตามกรณีที่ 4.3.2 (ให้ผลการจำลองสถานการณ์ดังรูปที่ 4.29-4.31)



รูปที่ 4.6 โครงสร้างของระบบที่ใช้ในการจำลองสถานการณ์การกำจัดชาร์มอนิกสำหรับวงจรกรองกำลังไชนริดแบบที่ 2

จากตารางที่ 4.3 สรุปผลการจำลองสถานการณ์ทั้งก่อนการกำจัดชาร์มอนิก การติดตั้งวงจรกรองกำลังพาสซีฟแบบอนุกรม การติดตั้งวงจรกรองกำลังแอกทีฟ และการติดตั้งวงจรกรองกำลังไชนริดตามลำดับ โดยผลที่นำเสนอเป็นค่า %THD_i ในแท็ลเฟส และค่า %THD_j เฉลี่ย (%THD_{i,ave}) ค่ากระแส (Irms) และพิกัดกำลังไฟฟ้า (VA) ณ จุดต่างๆ

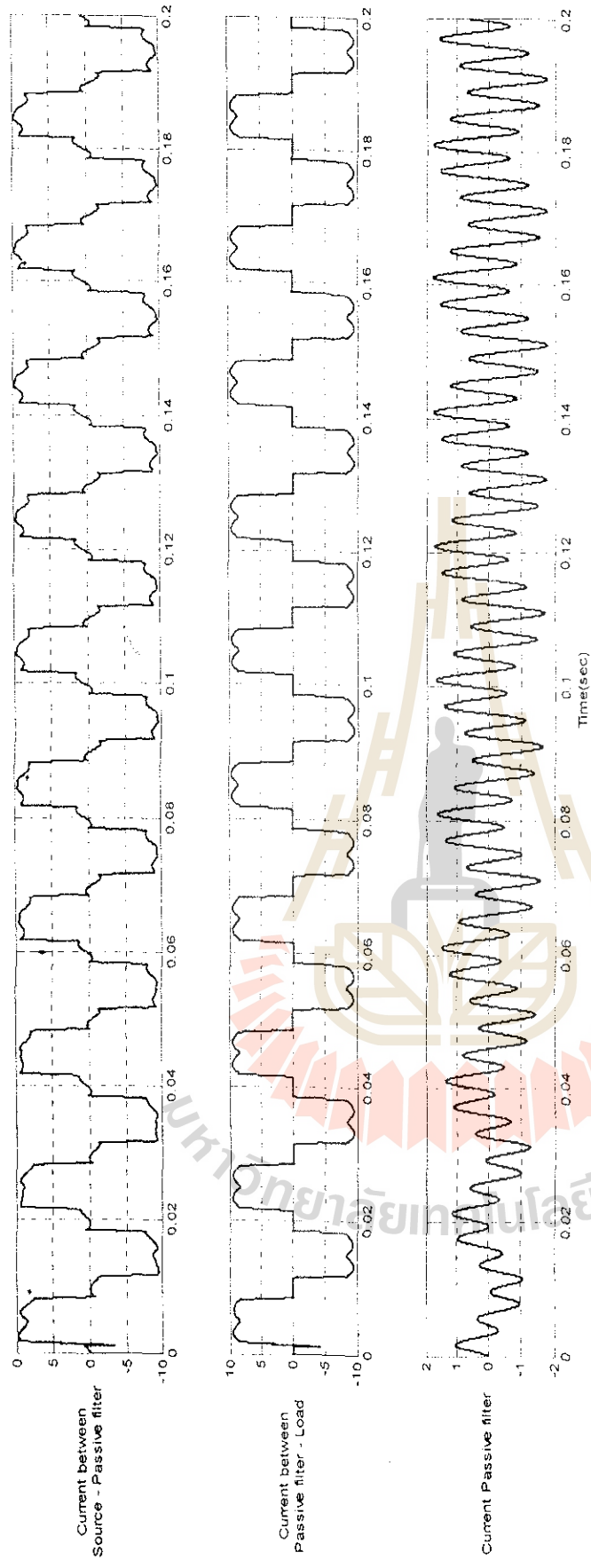
Source – Load.



รูปที่ 4.7 เป็นผลการจำลองสถานการณ์ก่อนการติดตั้งแก้ไข ไฟฟ้าแบบสั่นไฟฟ้าให้เล็กก่อนการติดตั้ง

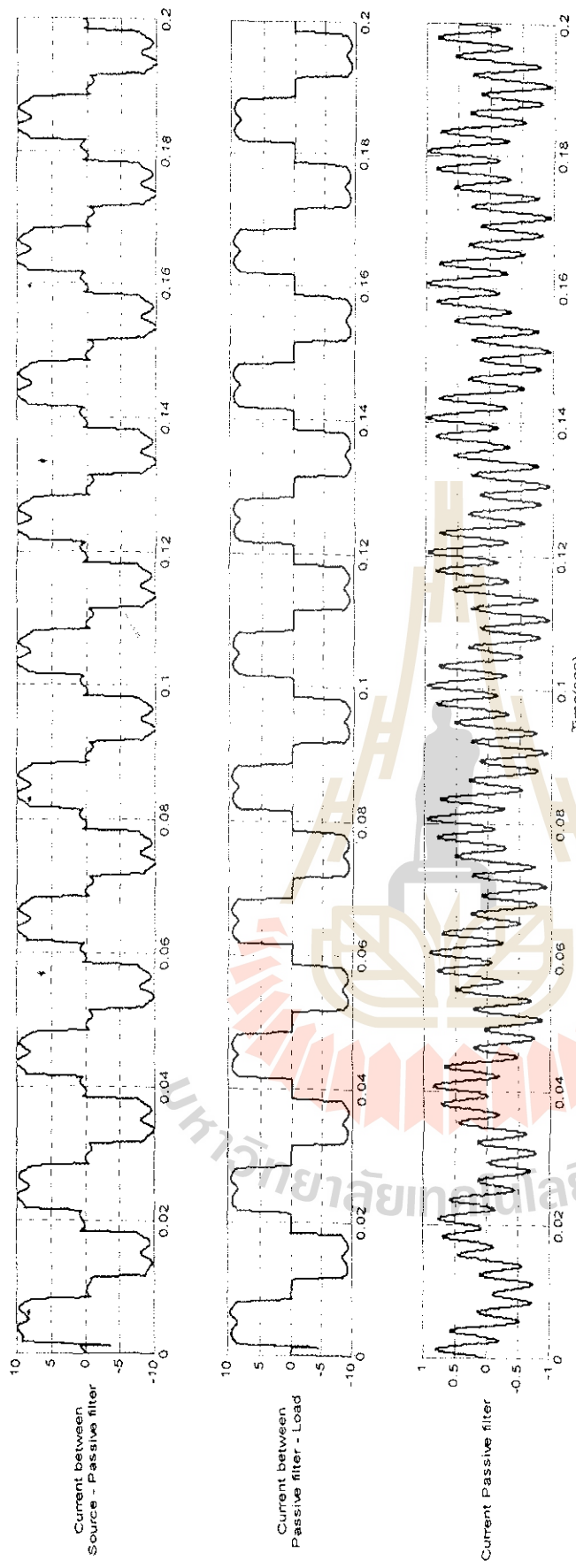
จากรูปที่ 4.7 เป็นผลการจำลองสถานการณ์ก่อนการติดตั้งแก้ไข ไฟฟ้าแบบสั่นไฟฟ้า (V_{su} , V_{sv} และ V_{sw}) และกระแสไฟฟ้า ($i_{su.uncomp}$, $i_{sv.uncomp}$ และ $i_{sw.uncomp}$) เมื่อได้วิเคราะห์สัญญาณแรงดันไฟฟ้าคงเป็นกราฟรูปคลื่นซ้ำๆ ส่วนรูปสัญญาณกระแสไฟฟ้าในรูปถัดไป ได้มีการติดตั้งแก้ไขคันชานบันจางภาคดูดของเรมอนิก

Source – Passive filter order 5 – Load.



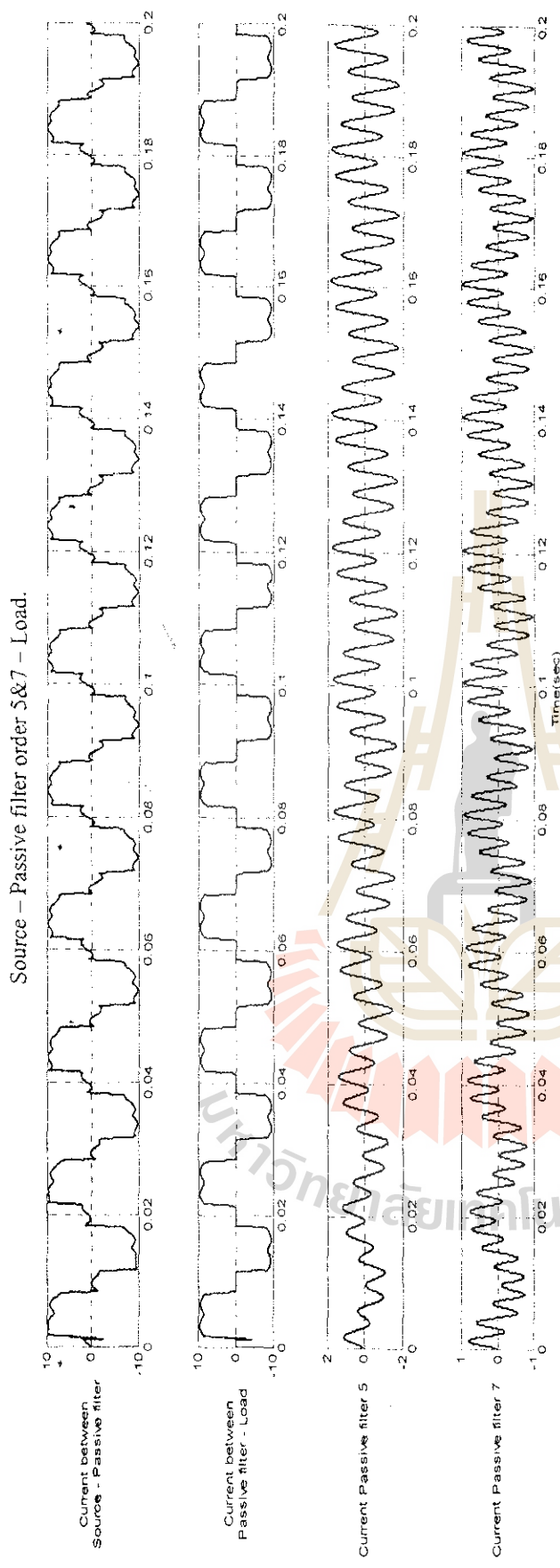
รูปที่ 4.8 ผลการจำลองตัวนำการณ์มูลค่าต่างๆของชุดตัวอย่างชุดที่ 5 ที่ได้จากการจำลองโดยใช้แบบจำลองที่ 4 ที่ได้จากการจำลองโดยใช้แบบจำลองที่ 5

Source - Passive filter order 7 - Load.



รูปที่ 4.9 ผลการจำลองสถานการณ์เมื่อติดตั้งกรองกากลังพาร์เพซที่ก้าวจัดการพลังงานด้วย passive filter ที่ 7

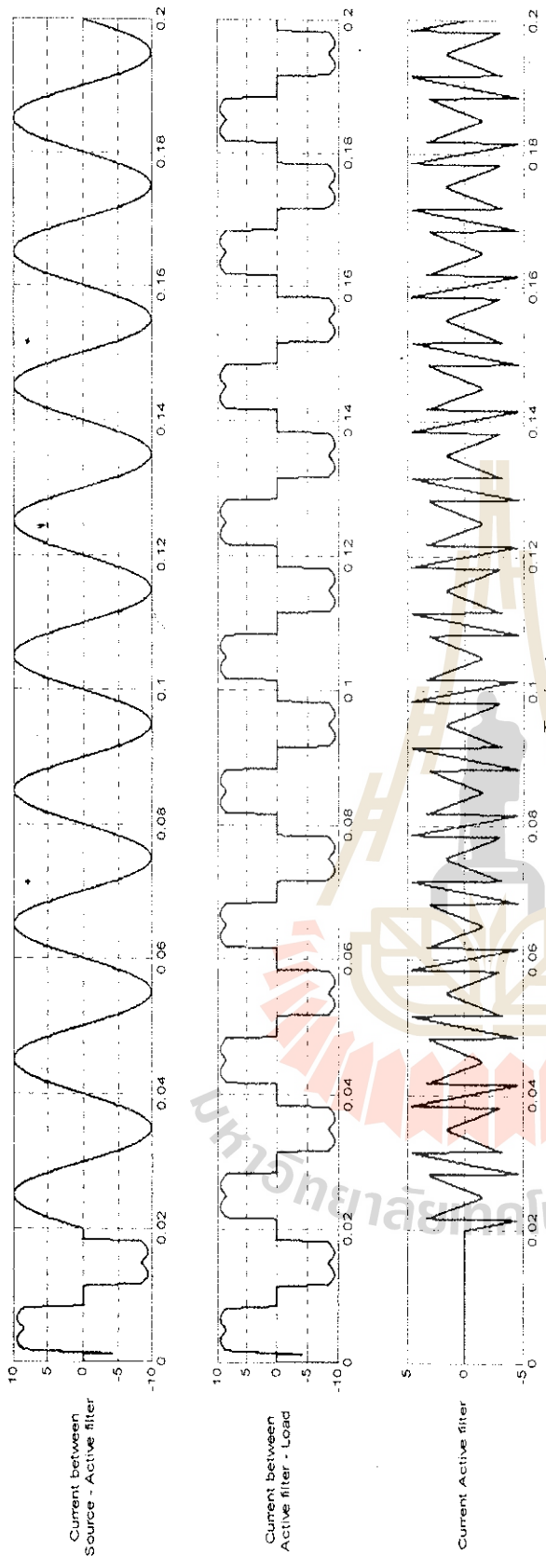
ตารางที่ 4.9 ใช้ผลการจำลองสถานการณ์ที่ติดตั้งกรองกากลังพาร์เพซที่ 4.7



รูปที่ 4.10 ผลการจำลองส่วนของการรวมด้วยวงจรกรองของวงจรที่ 5&7 ที่ก่อให้เกิด Strom 波形อยู่คืนที่ 5&7

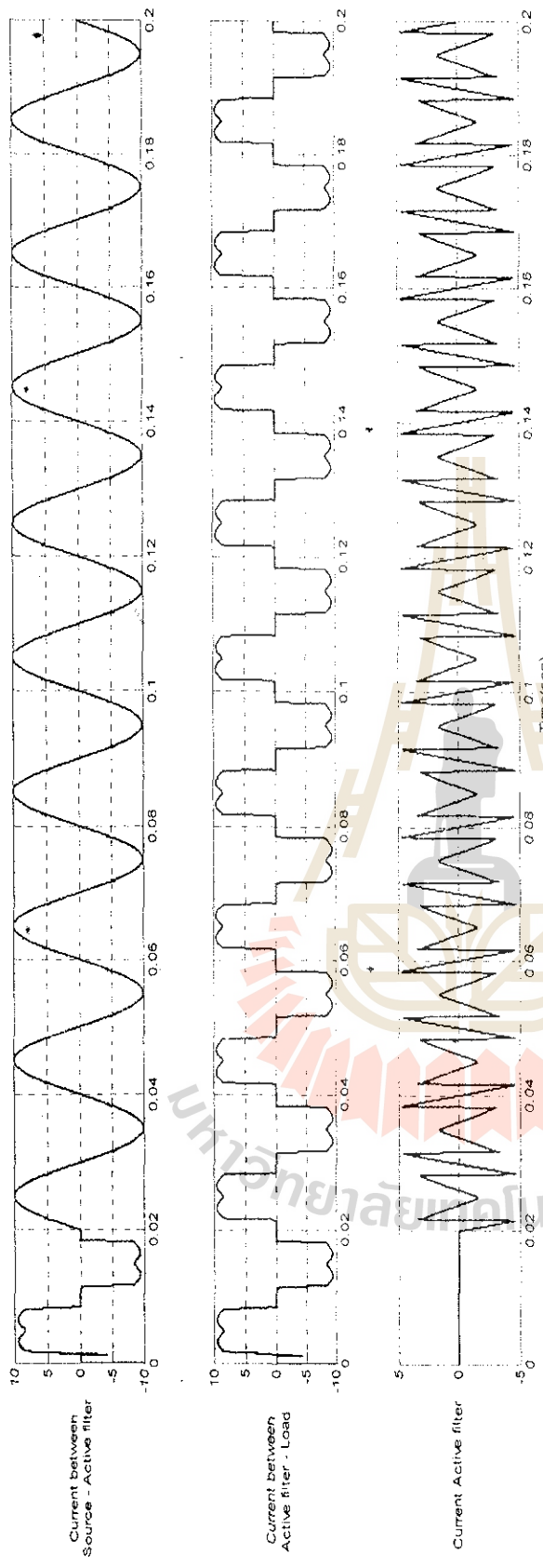
จากรูปที่ 4.10 เป็นผลการจำลองสถานการณ์หลังจากการเพิ่มอัตราด้วยกรอง passive filter ที่ 5&7 ไปคลื่น Strom ลดลงเป็นอย่างมาก สำหรับส่วน Strom ที่ 5&7 ที่มีความถี่ 3 เท่า ที่ 5&7 ทำหน้าที่ดูดซึม Strom ที่ 3 เท่า จึงทำให้ Strom ที่ 3 เท่าหายไป แต่ Strom ที่ 5 เท่า ที่ไม่สามารถดูดซึมน้ำเสียงได้ จึงยังคงมี Strom ที่ 5 เท่า ที่อยู่ในระบบ แต่ Strom ที่ 5 เท่า ที่อยู่ในระบบ ไม่สามารถใน การกำจัด Strom ของวงจรกรองด้วย passive filter ที่ 5&7 ได้ ดังนั้น จึงต้องเพิ่มอัตรากรอง passive filter ที่ 5&7 ให้สามารถดูดซึมน้ำเสียง Strom ที่ 5 เท่า ที่อยู่ในระบบ จึงจะสามารถลด Strom ที่ 5 เท่า ที่อยู่ในระบบ ให้เหลืออยู่น้อยลง จึงต้องเพิ่มอัตรากรอง passive filter ที่ 5&7 ให้สามารถดูดซึมน้ำเสียง Strom ที่ 5 เท่า ที่อยู่ในระบบ ให้เหลืออยู่น้อยลง

Source – Active filter (DQF) – Load.

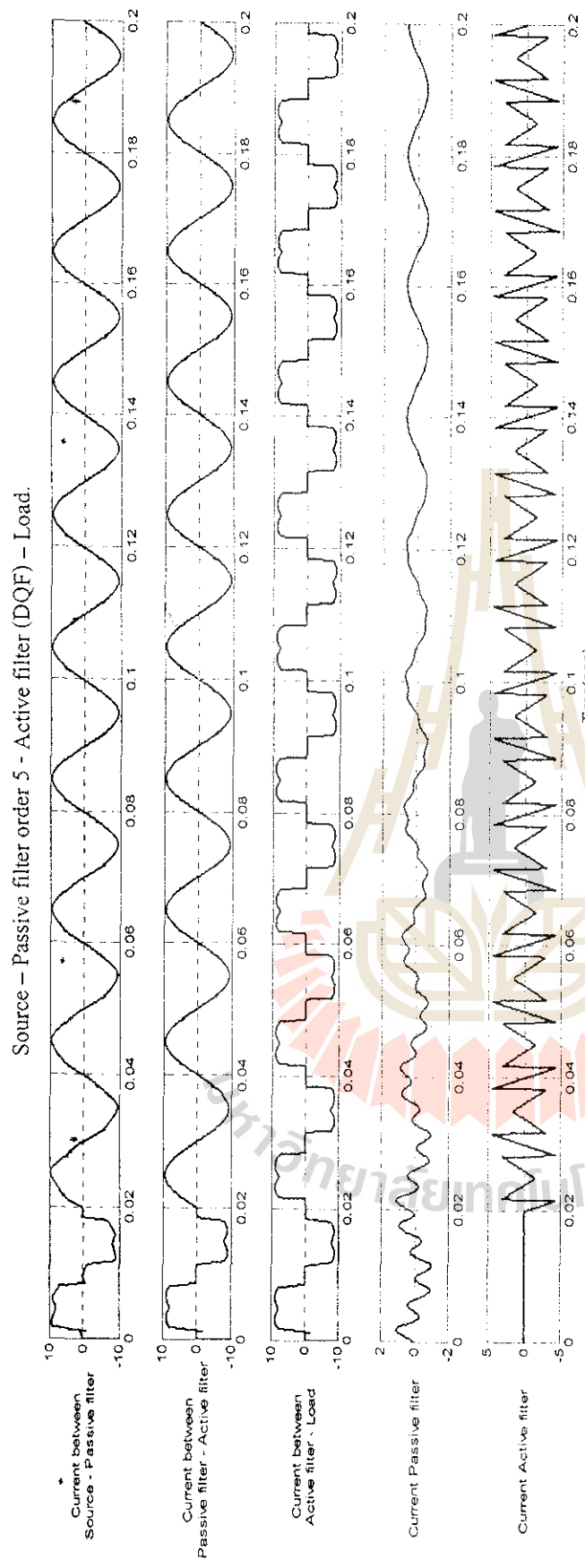


411 អាសយដ្ឋាន សាខាបឹងបែង ភ្នំពេញ (BOE)

ပရ. ၁၂၁

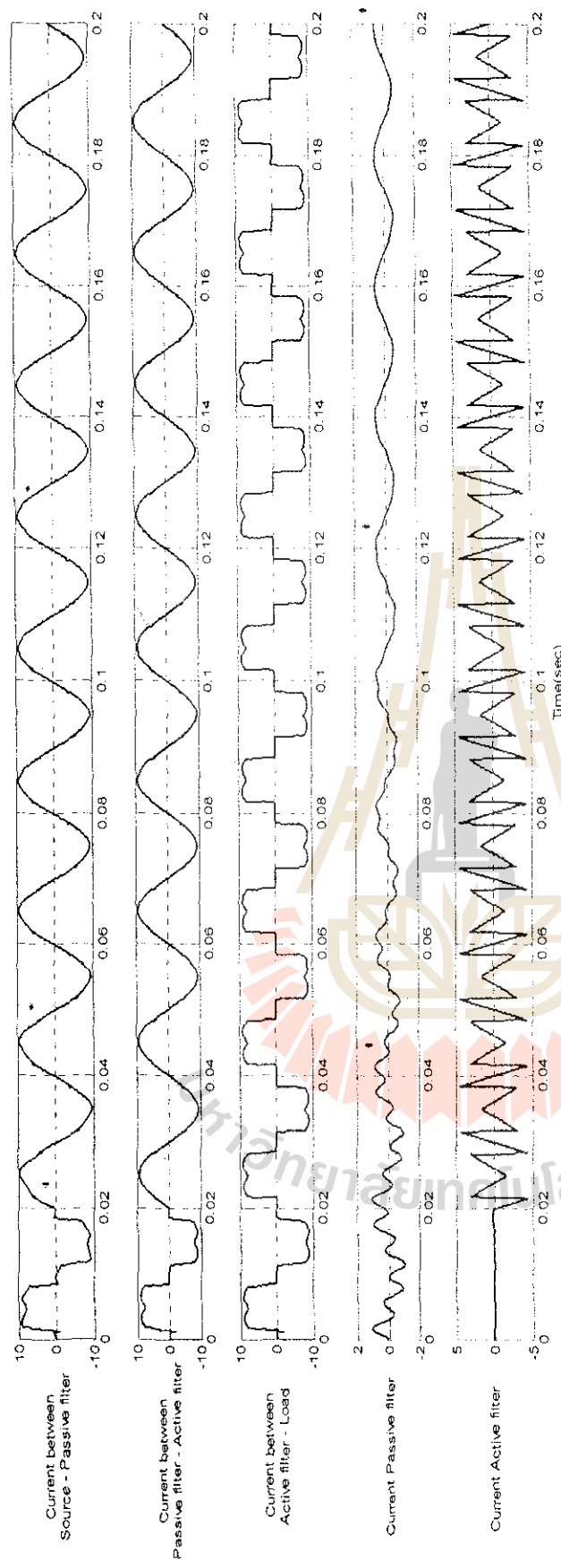
Source – Active filter (SWFA on $\alpha, \beta, 0$) – Load.รูปที่ 4.12 ผลการวิเคราะห์สถานการณ์เมื่อติดตั้งวงจรกรองกำลังเบก้าท์ (SWFA บนเกน $\alpha, \beta, 0$)

จากรูปที่ 4.12 เป็นผลการวิเคราะห์สถานการณ์หลังติดตั้งวงจรกรองกำลังเบก้าท์ สำหรับกรณีที่ไม่ติดตั้งวงจรกรองกำลังเบก้าท์ รูปคือแสดงถึงความบันสุดตื้นของกระแสไฟฟ้าที่มาจากแหล่งพลังงานที่ไม่มีการเปลี่ยนแปลง วงจรกรองกำลังเบก้าท์จะช่วยให้กระแสไฟฟ้าติดต่อระหว่างแหล่งพลังงานและโหลดได้ด้วยความต่อเนื่อง แต่จะมีความผันผวนอยู่ ทางรูปส่วนหน้ามีหักล้ากันจะได้รับผลกระทบต่อขนาดของการซัดซ่อน ได้วางจุดร่องกำลังเบก้าท์ในจุดที่ไฟฟ้ามีการระบายความร้อนนั่นคือวิธี SWFA บนเกน $\alpha, \beta, 0$ สามารถช่วยลดความร้อนนิวเคลียร์ที่มากับวิธี DQF



ຮຽນປະກິດ 4.13 ໂພນທີ່ຈຳຕາຍອງຕັ້ງທີ່ມີການກົດໝູ້ມີຄວາມສົບສັງລົງທຶນ

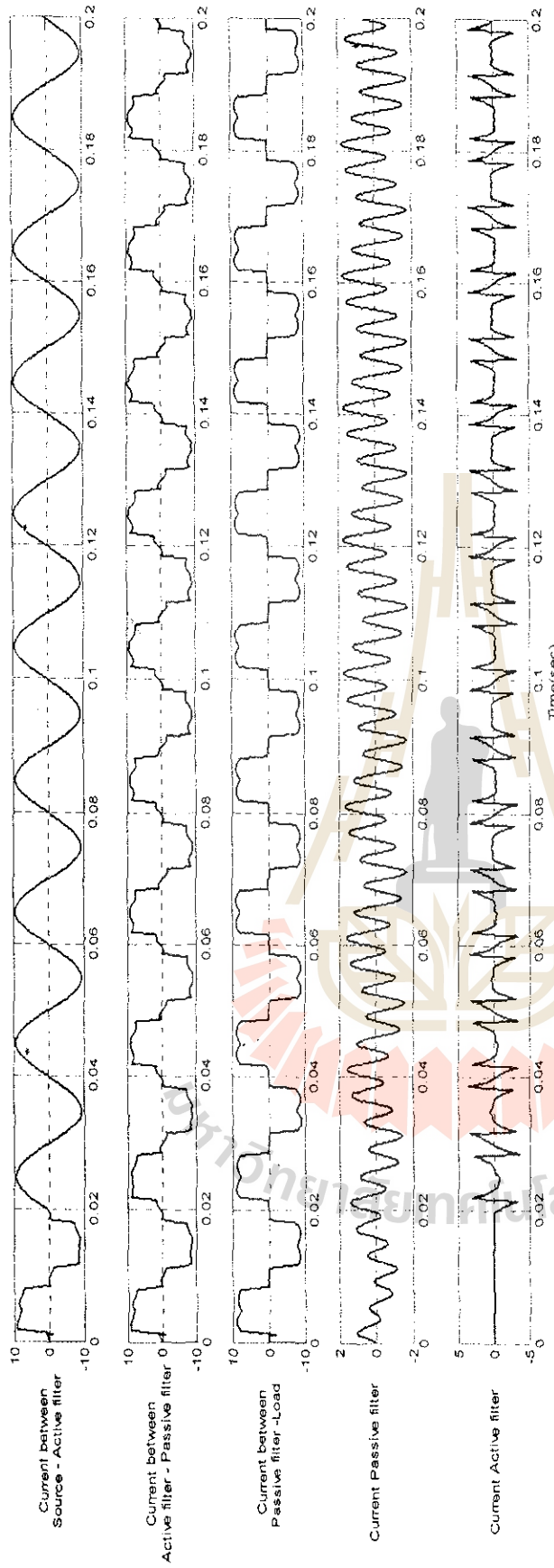
Source – Passive filter order 5 – Active filter (SWFA on $\alpha, \beta, 0$) – Load.



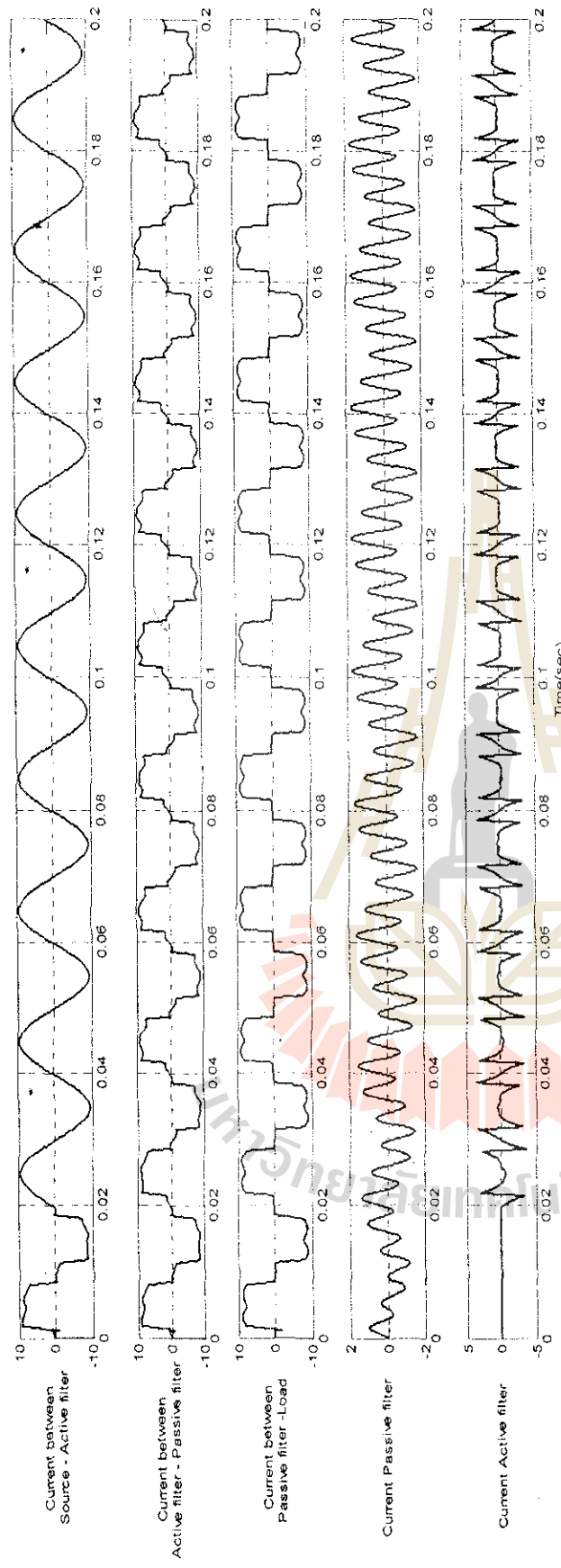
รูปที่ 4.14 ผลการจำลองสถานการณ์เมื่อติดตั้งกรอง消噪สำหรับกำลังไฟฟ้าในรูปที่ 4.5.2

จากรูปที่ 4.14 ให้ผลการจำลองสถานการณ์ในหน้านี้เพื่อศึกษากรณีบูรณาการที่ 4.13

Source – Active Filter(DQF) – Passive Filter order 5 – Load.

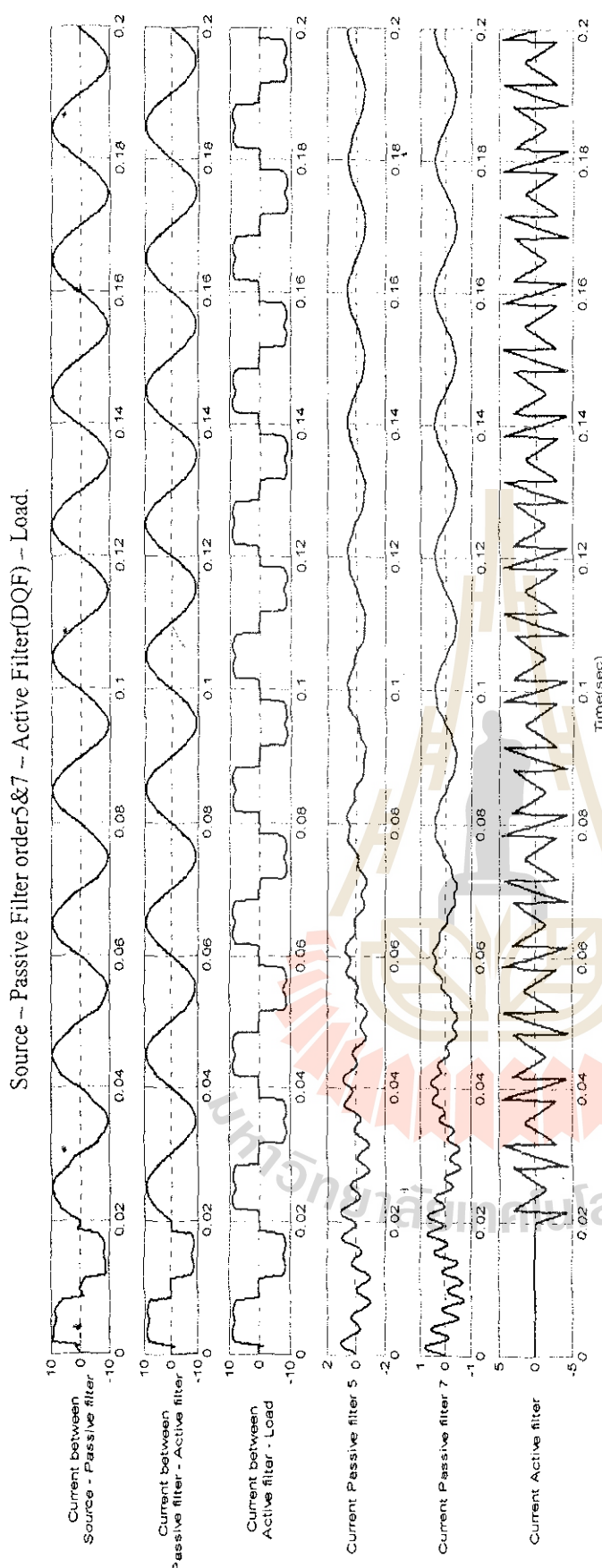


សេចក្តីថ្លែងការណ៍ពិនិត្យរបាយការណ៍ 45

Source – Active Filter(SWFA on $\alpha, \beta, 0$) – Passive Filter order 5 – Load.

รูปที่ 4.16 ผลการจำลองสถานการณ์เมื่อติดตั้งกรองกำลังไบเบิร์จรัฟ 4.5.4

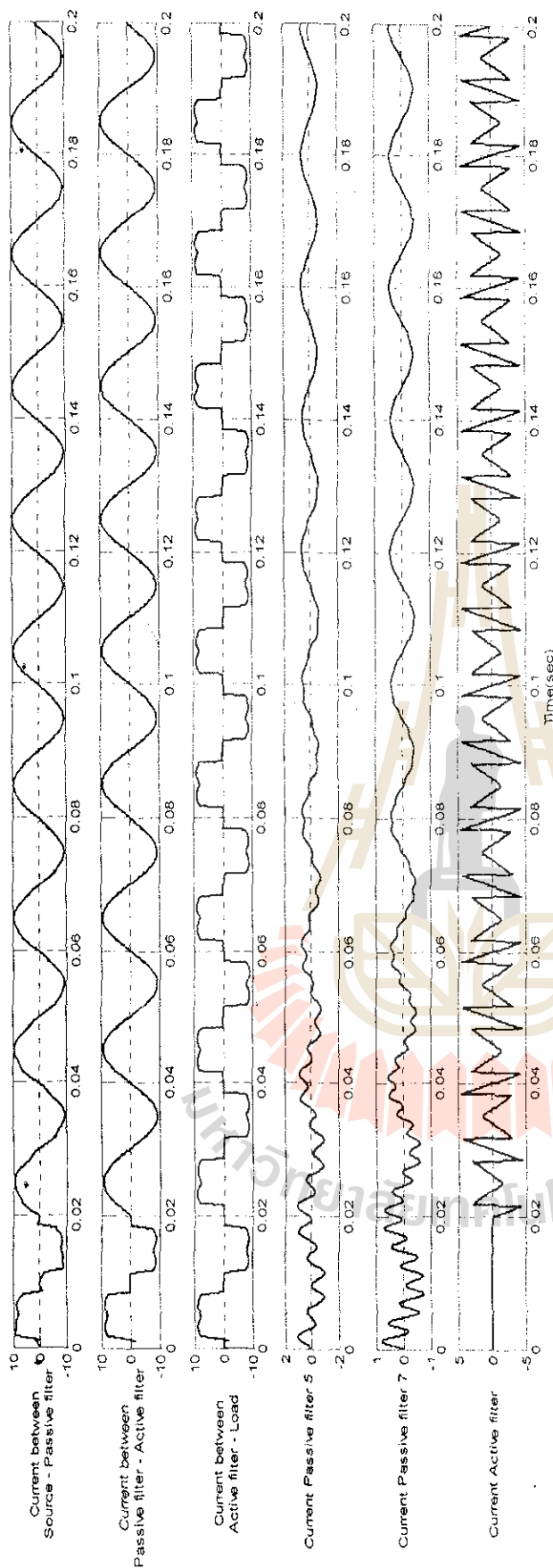
จากการที่ 4.16 ได้ผลการจำลองสถานการณ์ในทำนองเดียวกันกับรูปที่ 4.15



รูปที่ 4.17 ผลการจำลองสถานการณ์เมื่อติดตั้งวงจรกรองกำลังไฟฟ้าบริการชั้น 4.5.5

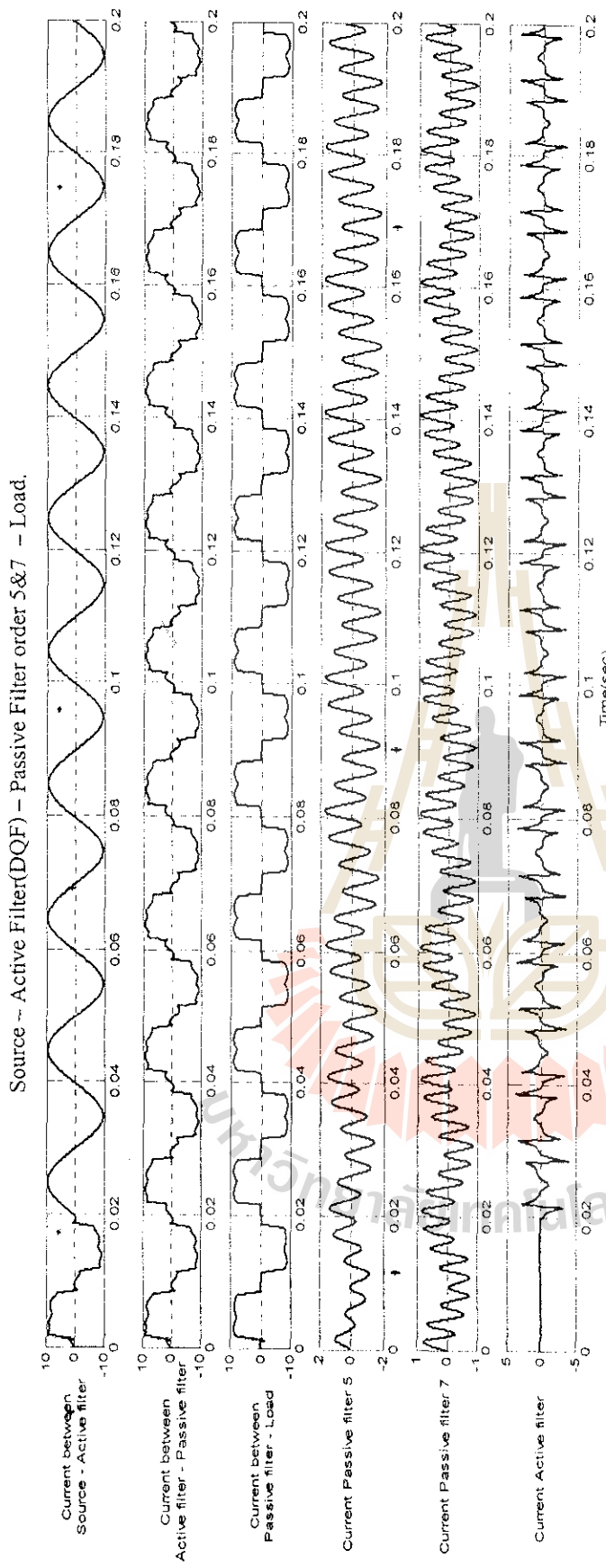
จากรูปที่ 4.17 ให้เห็นการจำลองสถานการณ์ในทำนองเดียวกันกับรูปที่ 4.13, 4.14 ที่ประเมินค่าคงที่ทางช่องกรองกำลังไฟฟ้าไม่ต่างพลาซึ่งกรองกำลังไฟฟ้าได้ช่วงกำลังด้วยมอนิเตอร์อย่างไร

Source – Passive Filter order 5 & 7 – Active Filter(SWFA on $\alpha, \beta, 0$) – Load.



รูปที่ 4.18 ผลการจำลองสถานการณ์เมื่อติดตั้งวงจรของกำลังไฟฟ้ารีดกรน 4.5.6

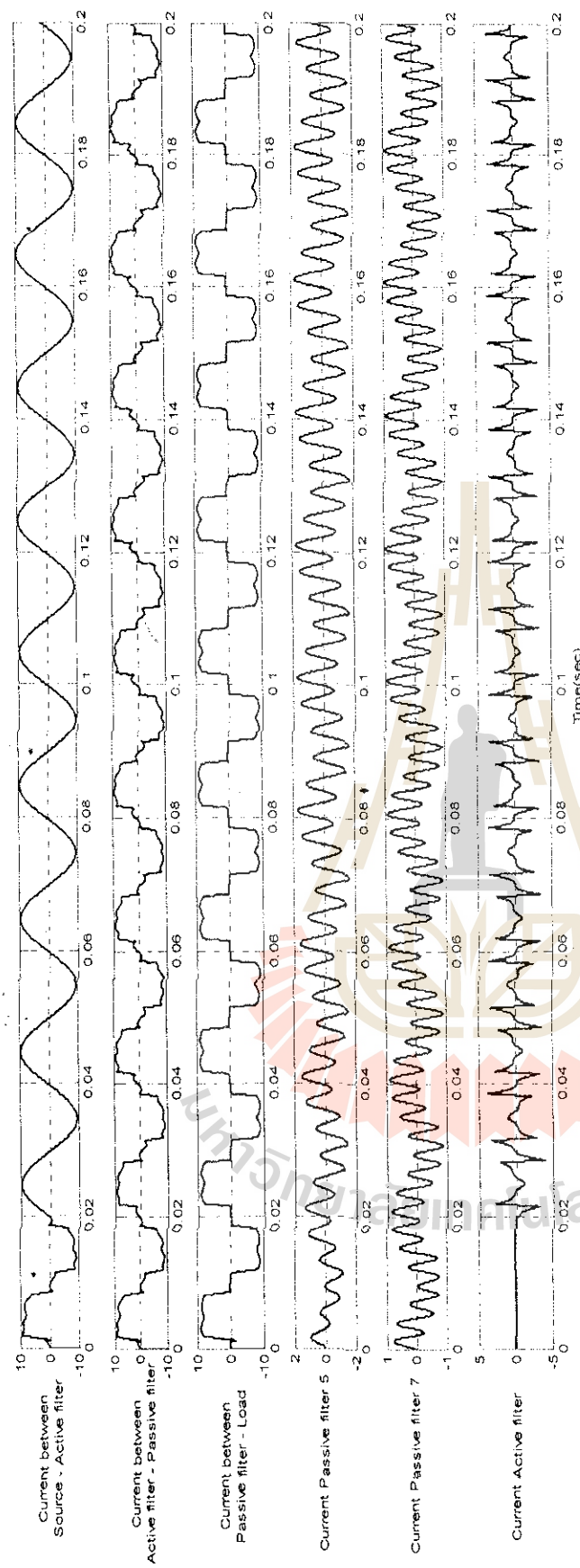
ตารางที่ 4.18 ให้ผลการจำลองสถานการณ์ที่บันทึกไว้ในไฟล์ข้อมูลที่ชื่อว่าไฟล์ 4.17



รูปที่ 4.19 ผลการจำลองสถานการณ์เมื่อติดตั้งบอร์ดกรองกำลังไฟบาร์เริคเมื่อ 4.5.7

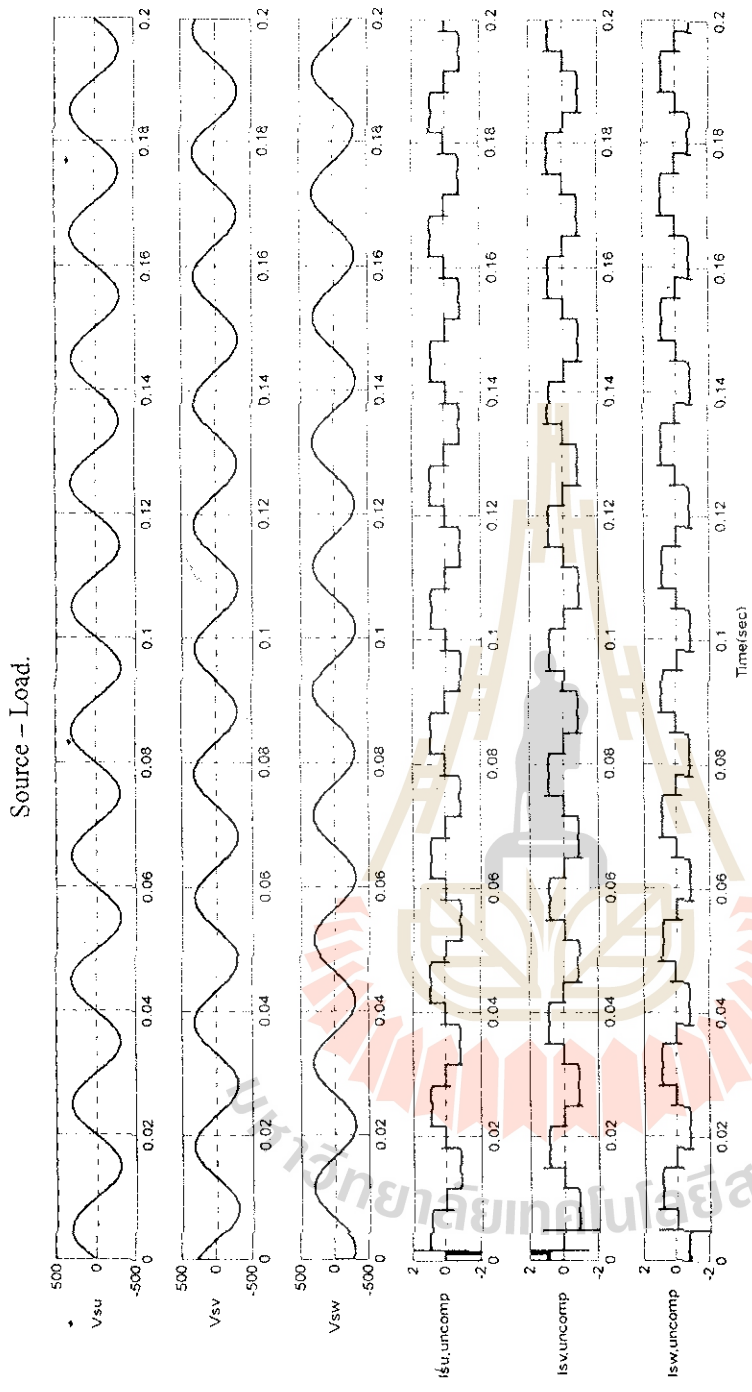
จากรูปที่ 4.19 ให้เห็นการจำลองสถานการณ์ในท่านอนเม็ดบริภัณฑ์รูปที่ 4.13, 4.14 โดยวงจรกรองกำลังพาตซ์พีเพิมเข้าไปเป็นช่วงช่วงทำให้กระแสไฟฟ้าในส่วนของวงจรกรองไฟฟ้าลดลงมาก “จากการแก้ไขส่วนตัวค่าติดตั้งบานรัศมี” ได้ทำให้กระแสไฟฟ้าในส่วนตัวค่าติดตั้งบานรัศมีลดลงมากกว่าเดิม

Source – Active Filter(SWFA on $\alpha, \beta, 0$) ~ Passive Filter order5&7 ~ Load



รูปที่ 4.20 ผลการจำลองสถานการณ์เมื่อติดวงจรกรองกำลัง “สปริคกรัน” 4.5.8

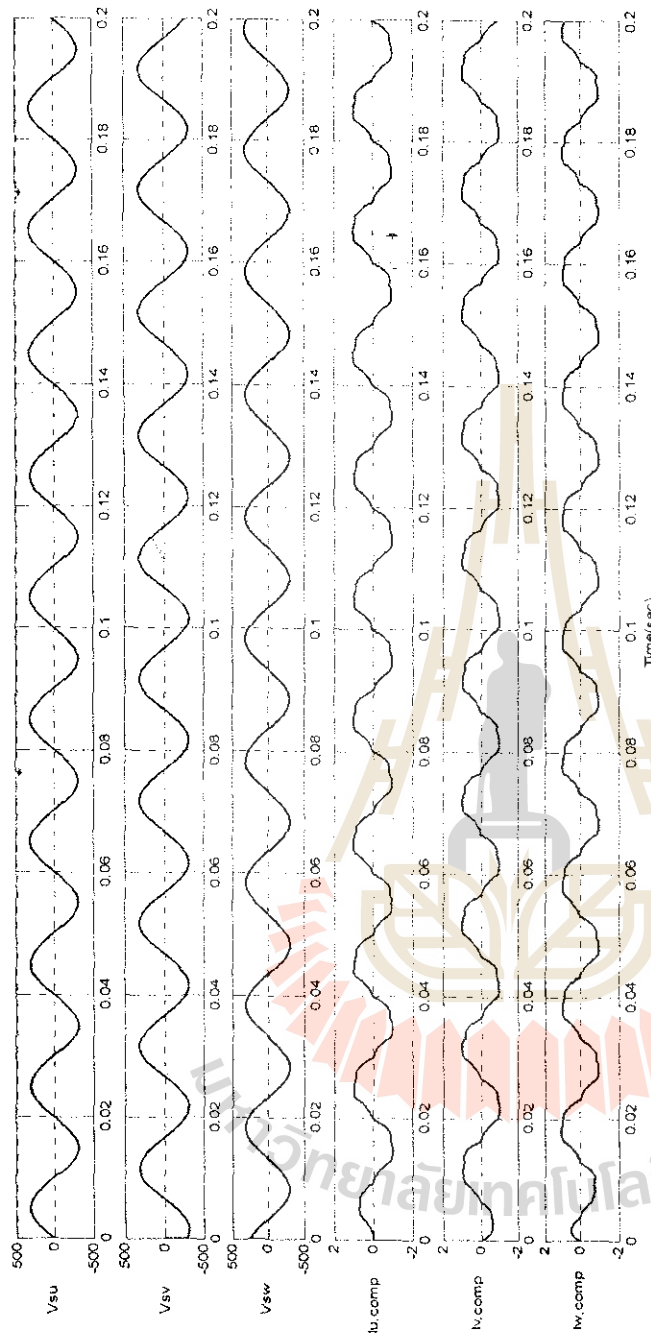
จากรูปที่ 4.18 ให้ผลการจำลองสถานการณ์ทำงานของตัวยกน้ำหนักแบบที่ 4.17



รูปที่ 4.21 แรงดันไฟฟ้าและกระแสไฟฟ้าที่แหล่งจ่ายกำลังไฟฟ้าคงอยู่ในช่วงเวลาที่ 4.7 ต่างกันเพียงยอมพิจารณา

จากรูปที่ 4.21 ให้ผู้ศึกษาต้องสถานการณ์ในท่านองค์ความกันบัน្តอที่ 4.7 ต่างกันเพียงยอมพิจารณา

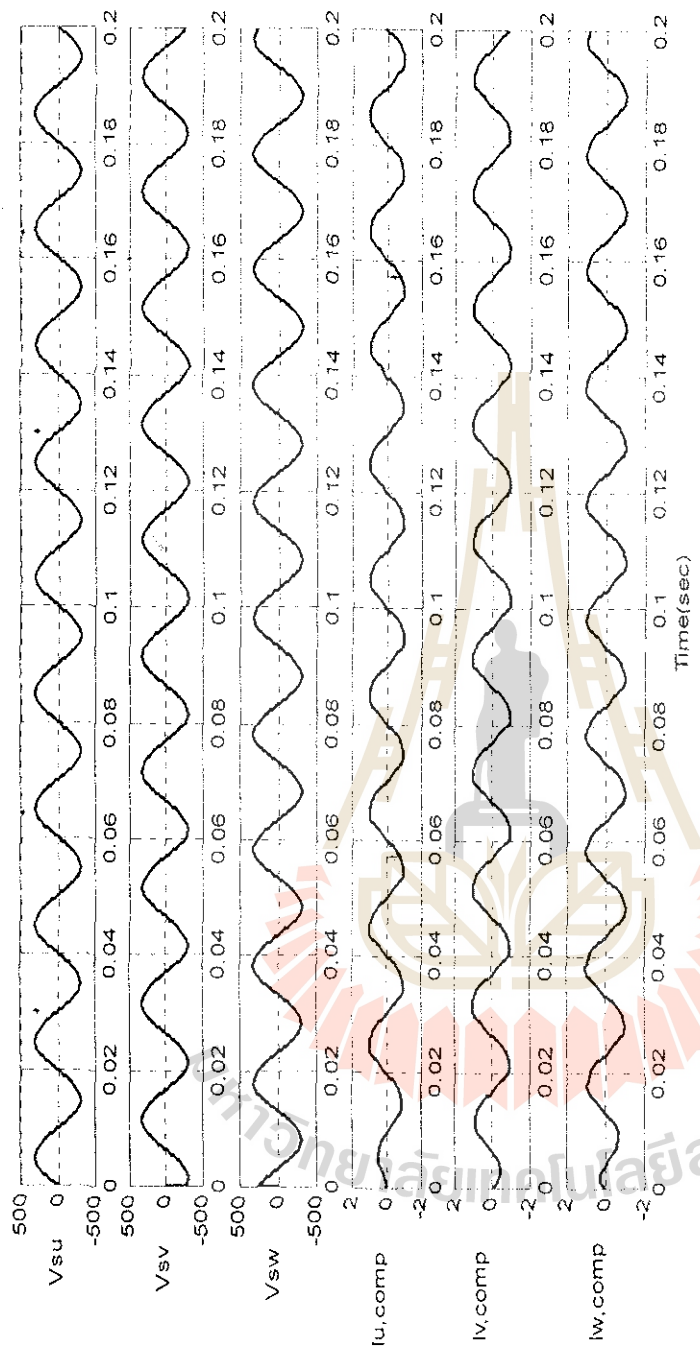
Source – Passive filter! – Load.



รูปที่ 4.22 ผลการจำลองสถานการณ์เมื่อติดตั้งวงจรกรองกำลังพากลังฟ์ฟาร์บิล์ฟ 1

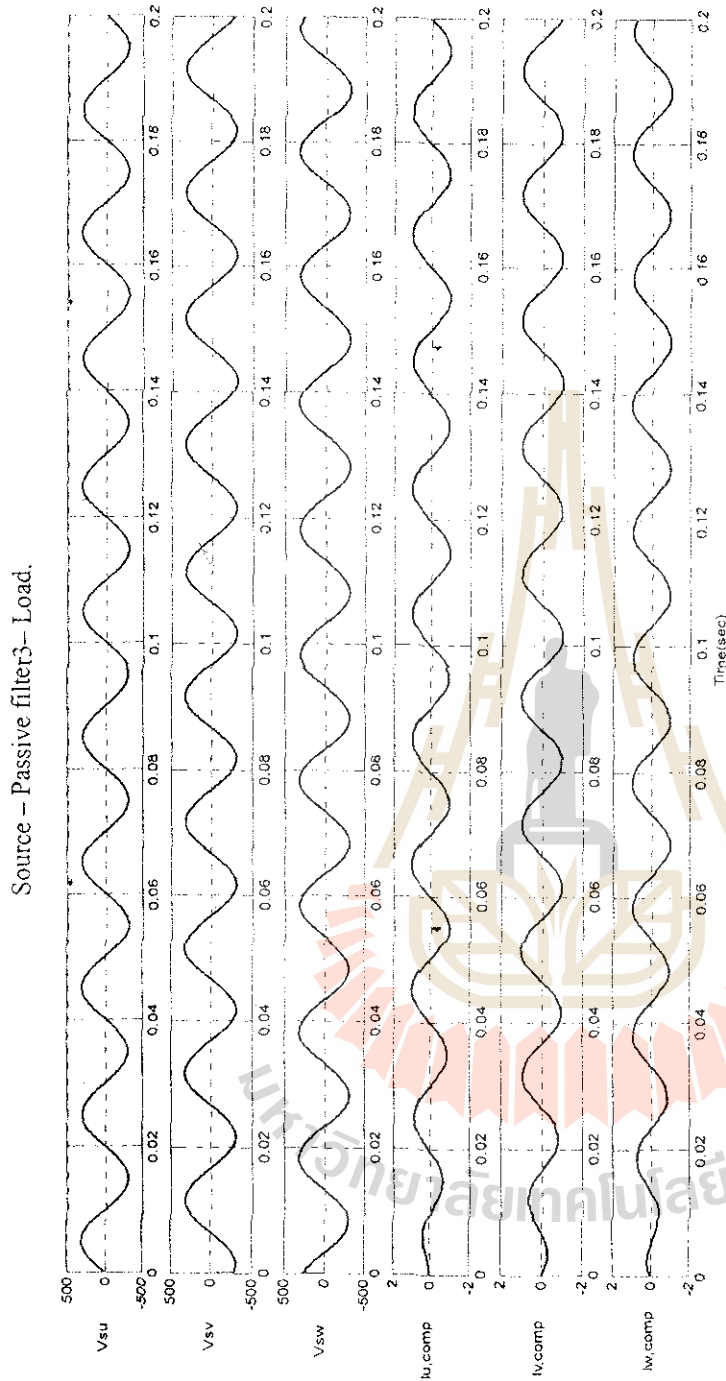
จากการจำลองสถานการณ์เมื่อติดตั้งวงจรกรองกำลังพากลังฟ์ฟาร์บิล์ฟ ให้กำจัดความรุ่ม镍กหักชั่นโดยปรับตั้งค่าพารามิเตอร์ของวงจรให้ดีมาก ซึ่งจะเห็นได้ว่ากรุ๊ปส์วงจรและค่าบวกคืนซ้ายมานาน

Source – Passive filter2- Load.



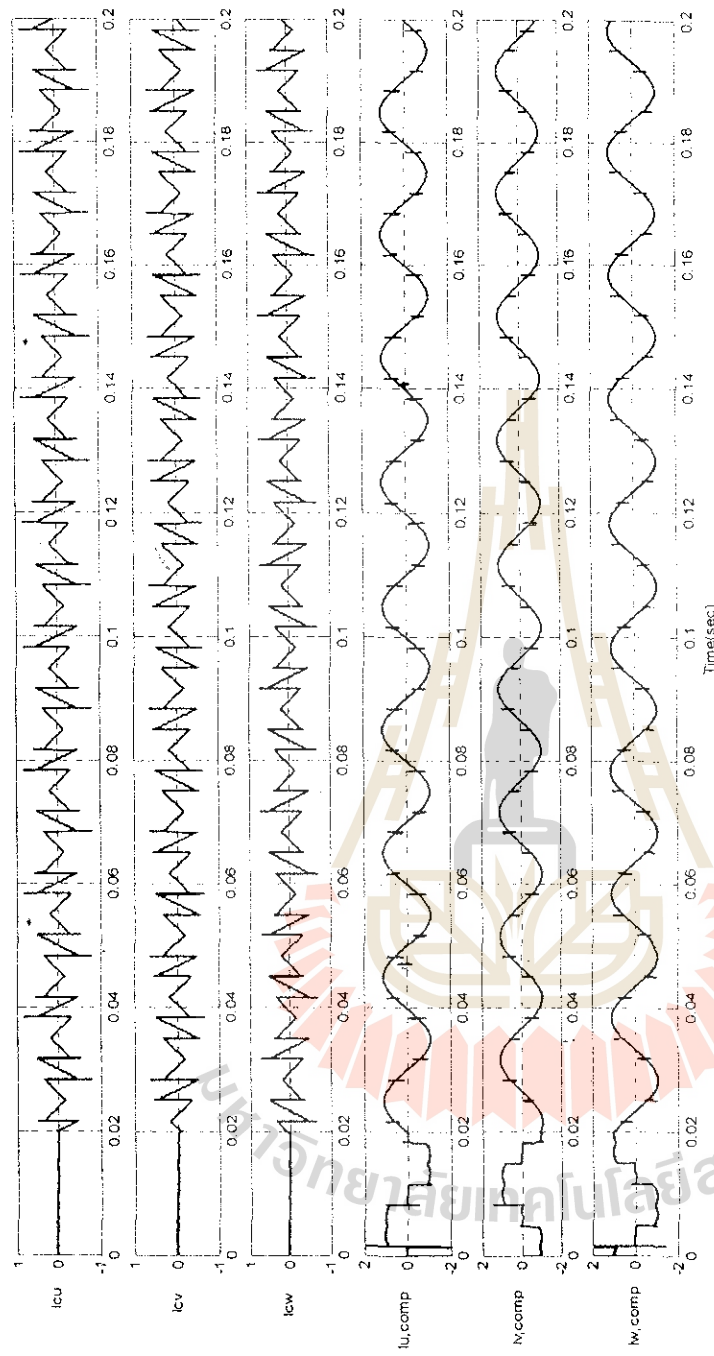
รูปที่ 4.23 ผลการจำลองสถานการณ์เมื่อติดตั้งกรองกำลังพลาสม่าสำหรับที่ 2

จากรูปที่ 4.23 ให้ผลการจำลองสถานการณ์ในที่นอนเสียงที่ขาติ่งที่ 4.22 แต่รูปคลื่นกระแสไฟฟ้าและคลื่นขาบันดาลน้ำก่อน



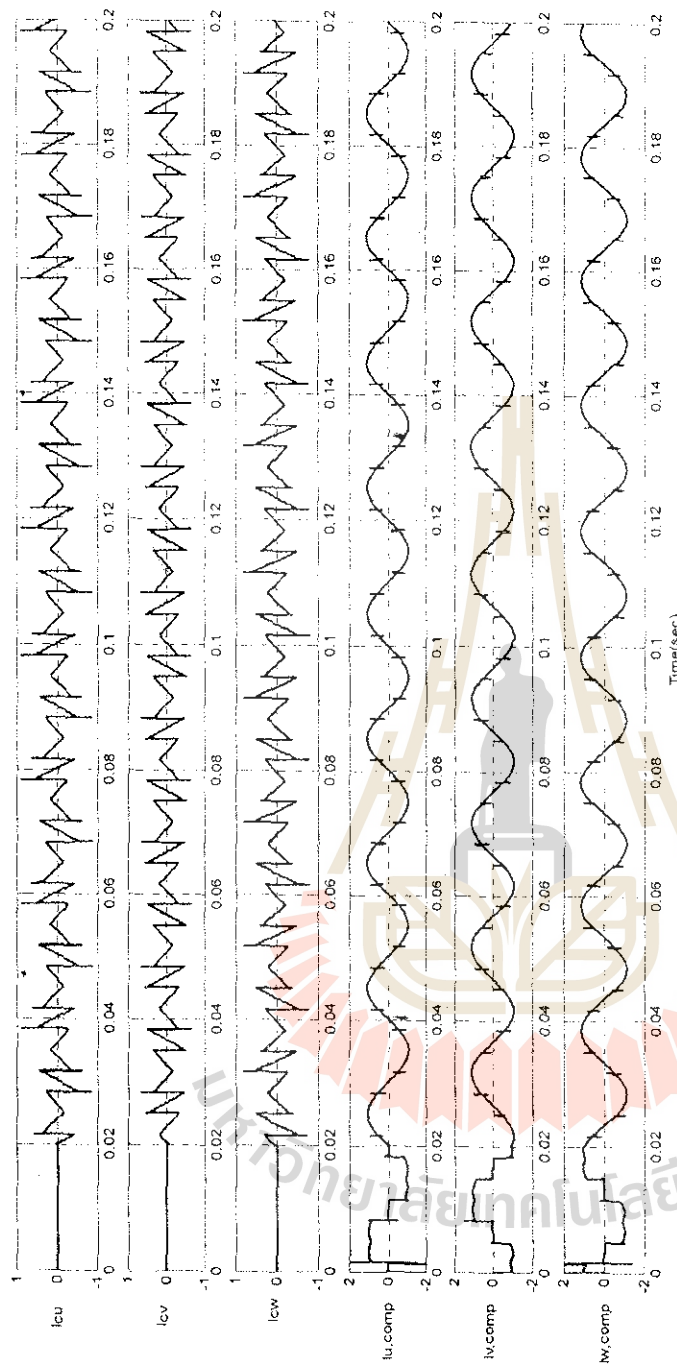
จานกรุ่งที่ 4.24 ผู้ถกกร่างใช้ตัวอักษรภาษาไทย เมื่อตัดต่อชิ้นวัสดุกรอง ก้าดงพลาสติกที่ห้องครัวที่ห้องน้ำ ให้ก้าดงติดต่อกัน ไม่หลุดร่อน ไม่ลอกเป็นชิ้นๆ สำหรับห้องน้ำและห้องครัวที่ต้องการความสะอาด ทนทาน และไม่เสียหายง่าย

Source – Active filter (DQF) – Load.

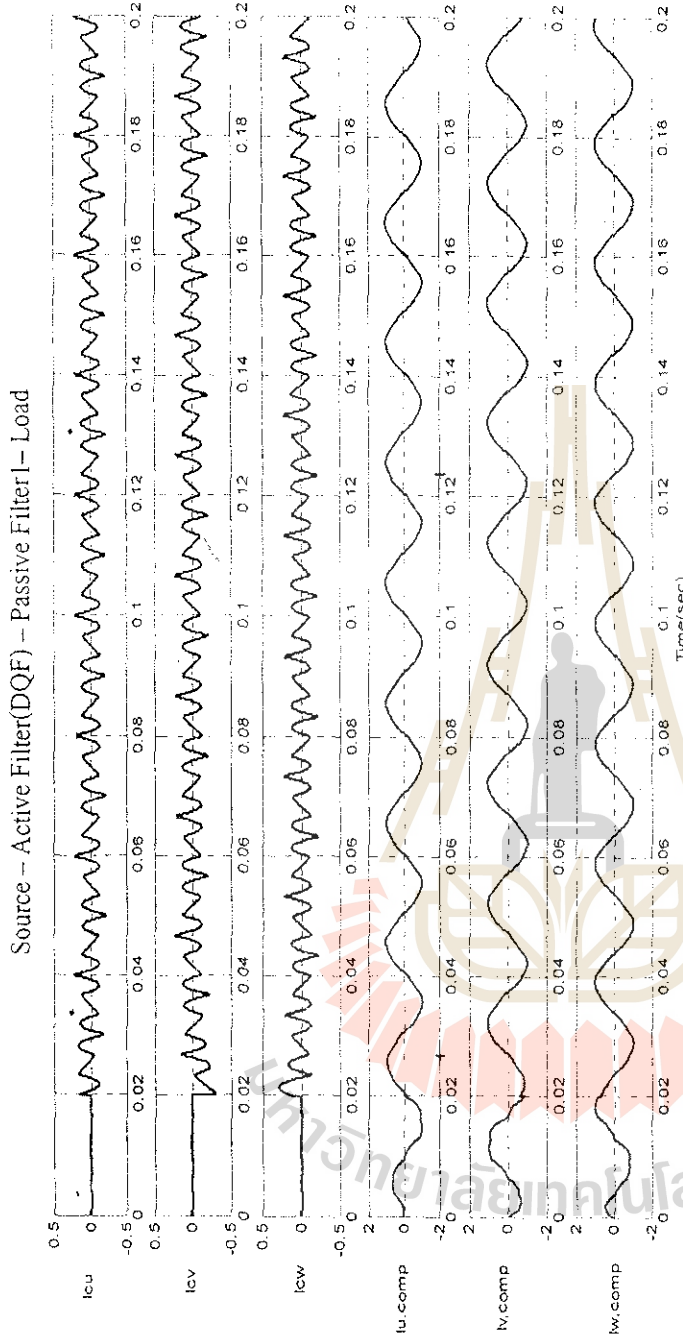


รูปที่ 4.25 ผลการจำลองแสดงในกระบวนการนี้คือติดตั้งวงจรกรองกำลังเบก้าฟ์ (DQF)
จากงูบีที่ 4.11 ให้ผลการจำลองแสดงตามการนี้ทำนองเดียวกันกับงูบีที่ 4.11 ต่างกันเพียงยอมพัฒนาของกระแส

จากงูบีที่ 4.25 ให้ผลการจำลองแสดงตามการนี้ทำนองเดียวกันกับงูบีที่ 4.11 ต่างกันเพียงยอมพัฒนาของกระแส

Source – Active filter (SWFA on $\alpha, \beta, 0$) – Load.รูปที่ 4.26 ผลการวิเคราะห์แสดงสถานการณ์ติดต่อช่วงกรองกำลังและอินพุต (SWFA บนค่า $\alpha, \beta, 0$)

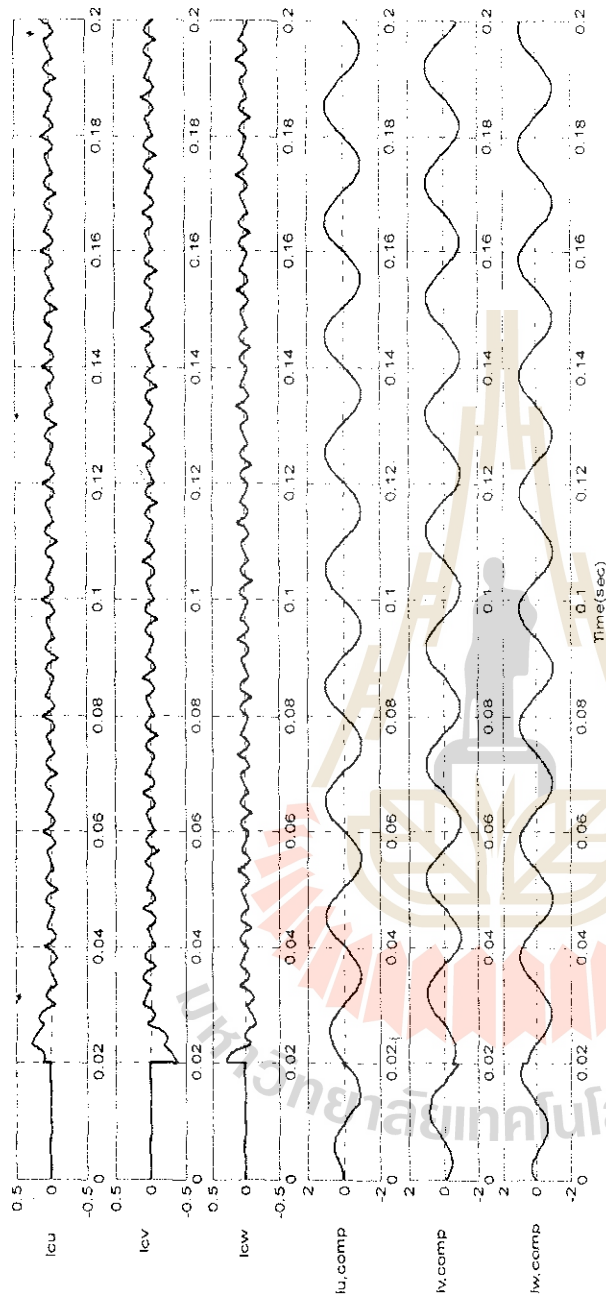
ในรูปที่ 4.26 ให้เห็นการใช้ติดต่อสถานการณ์ในการติดต่อช่วงกรองกำลังและอินพุตที่ 4.12 ดำเนินการเพื่อลดความผันผวนของกระแส



รูปที่ 4.27 ผลการจำลองสถานการณ์เมื่อติดตั้งวงจรรองกำลังไฟฟ้าเริดโดยใช้วงจรกรองกำลังพасซีฟกรองที่ 1

ตารางที่ 4.27 ให้ผลการจำลองสถานการณ์เมื่อติดตั้งวงจรรองกำลังไฟฟ้าเริด สำหรับนิภัยกำจัดไฟก่อขบวนและรักษาความสะอาดวงจรกระแสไฟฟ้า สำหรับค่าสัมประสิทธิ์ของวงจรและค่าของแหล่งกำเนิดไฟฟ้า

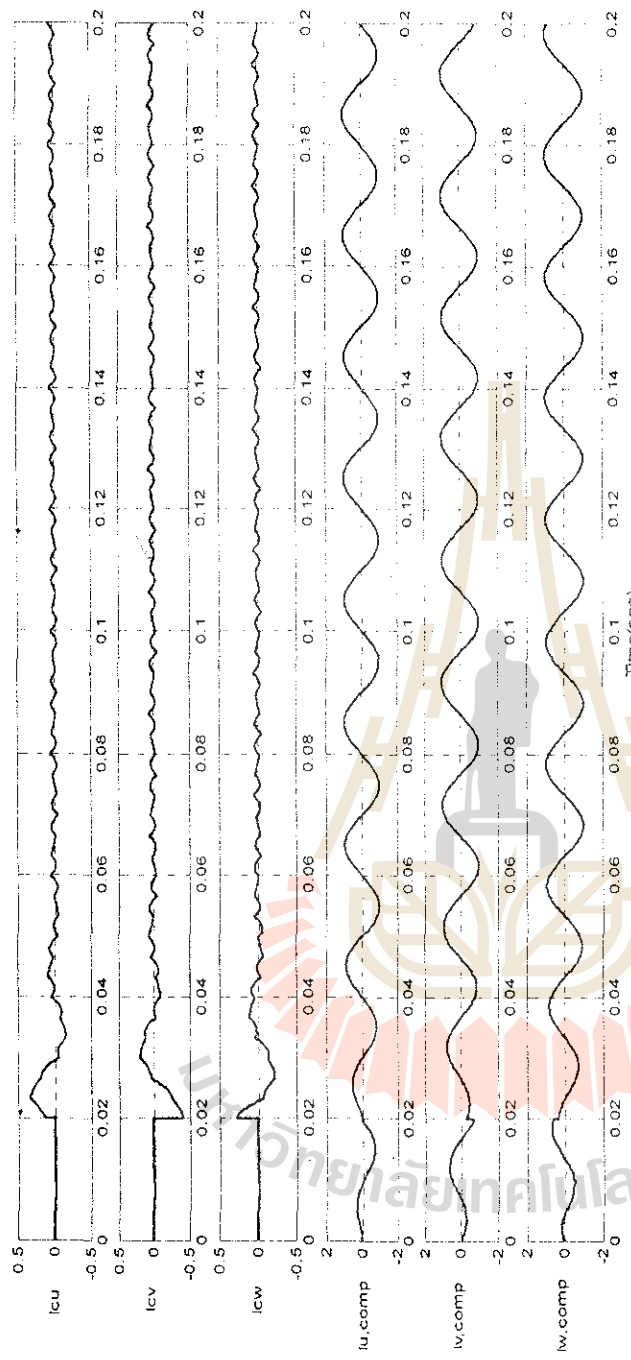
Source – Active Filter(DQF) – Passive Filter2 – Load



รูปที่ 4.28 ผลการจำลองสถานการณ์เมื่อติดตั้งวงจรกรองกำลัง ไสบีริคโดยใช้วงจรกรองกำลังพารามิเตอร์ 2

ตารางที่ 4.28 ให้ผลการจำลองสถานการณ์เมื่อติดตั้งวงจรกรองกำลังไสบีริค อาจมีกรณีกรอกกำลังไฟฟ้าบนหมุดและรบกวนกระแสเกิดตัวขรุบคតิ้งชากันมาก บ้างเริ่มต้นที่ 0.02-0.03 วินาทีกรจะแสดงผลด้วยเสียงจากหัวหนาน้ำของวงจรกรองกำลังพารามิเตอร์ที่เพิ่มขึ้น

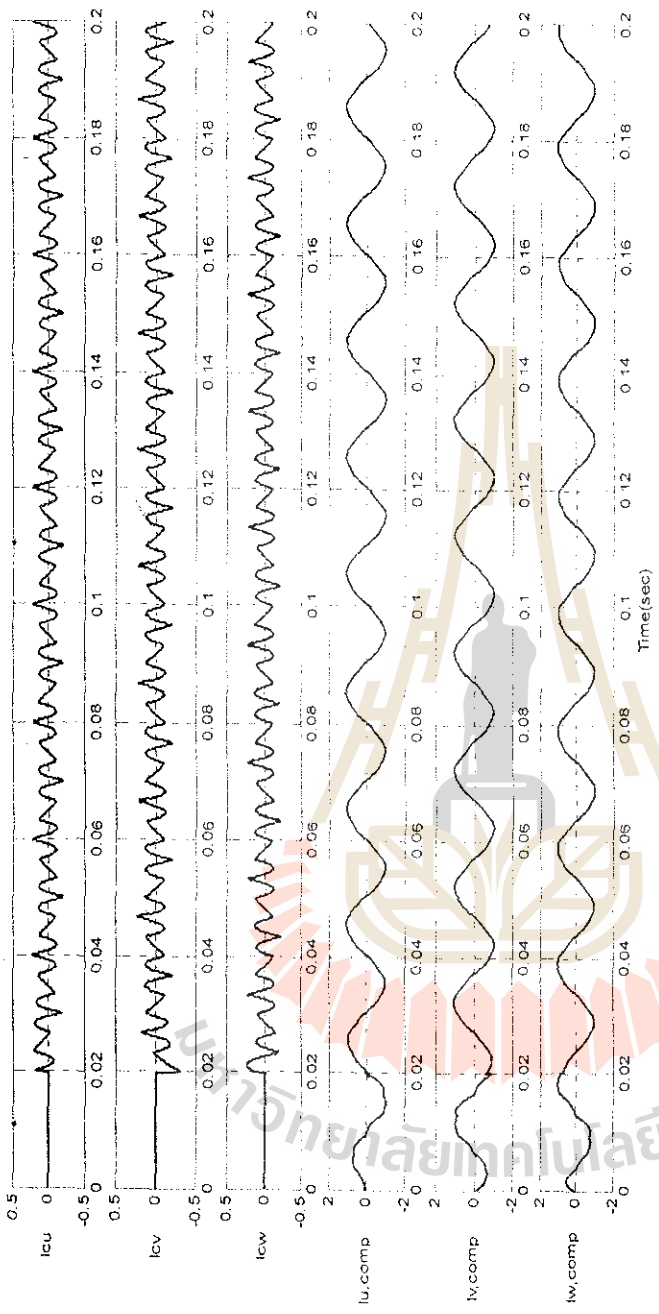
Source – Active Filter(DQF) – Passive Filter3– Load



รูปที่ 4.29 ผลการจำลองสถานการณ์เมื่อติดตั้งวงจรกรองกำลังไฟเบรคโดยบีเวิ่งกรองกำลังไฟซึ่งมีกรดีฟิลเตอร์ 3

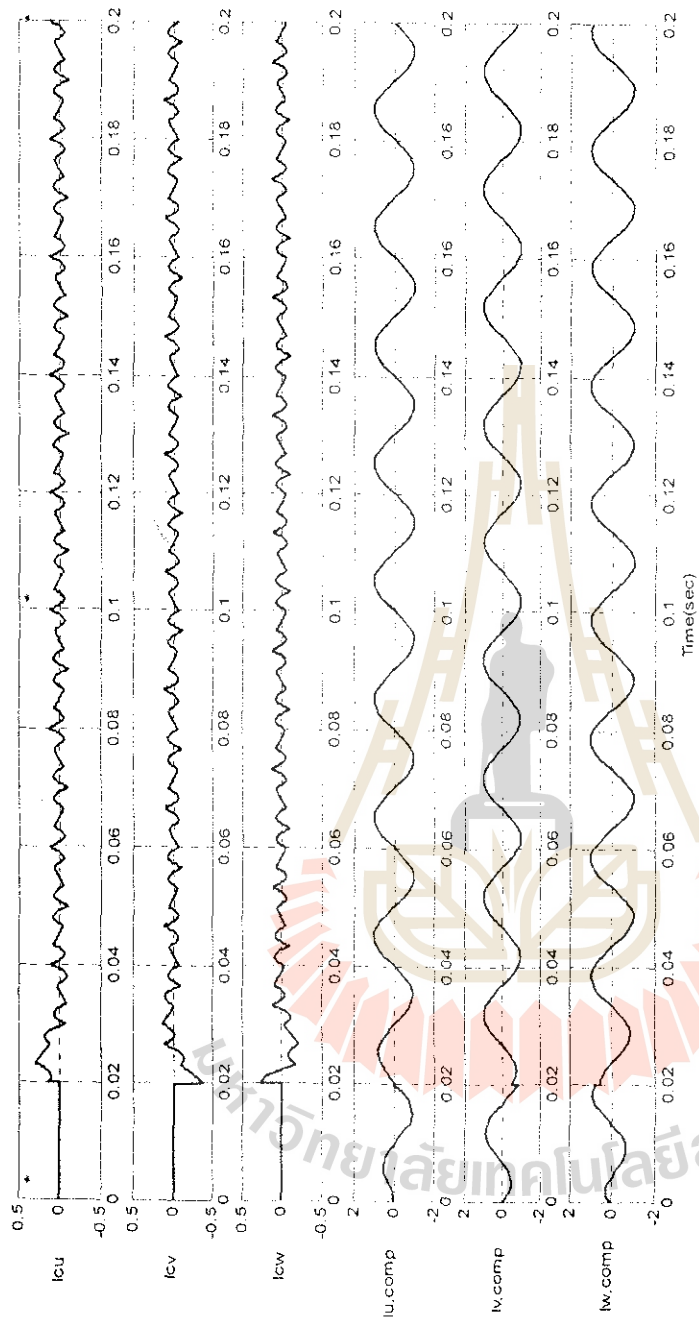
จากรูปที่ 4.29 ให้ผลการจำลองสถานการณ์ในทำนองเดียวกันกับรูปที่ 4.28 แต่กันนี้เพียงเปลี่ยนพารามิเตอร์ของกรองกระแสไฟฟ้าในช่วงวินาที 0.02-0.03 จะสังเกว่าจะค่าตัวแปรน้ำหน้าที่เพิ่มนั้น

Source – Active Filter(SWFA on $\alpha, \beta, 0$) – Passive Filter1 – Load



รูปที่ 4.30 ผู้ต่อกรรบจำลองสถานการณ์เมื่อติดตั้งวงจรกรองกากลัง ชาบูริดโดยใช้วงจรกรองกากลังพารเซฟกรุณารูปที่ 1

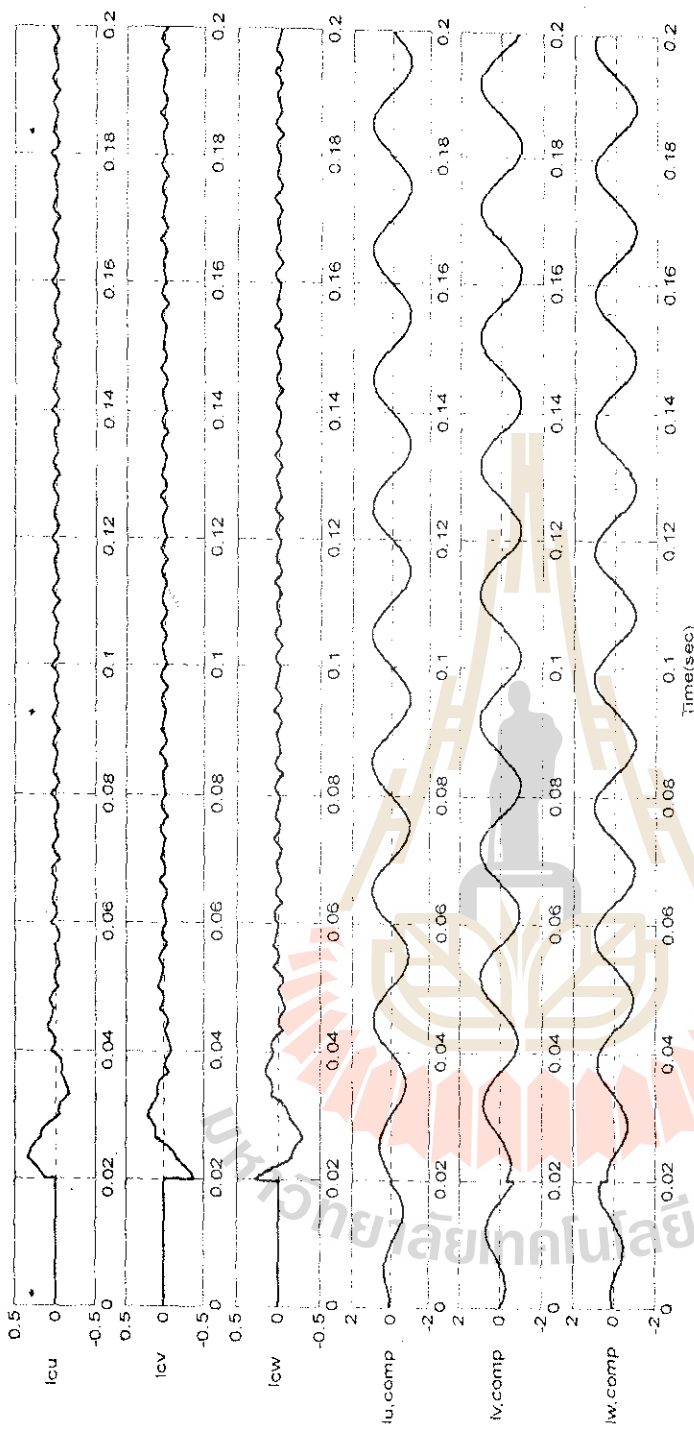
ตารางที่ 4.30 ให้ผลกราฟจำลองสถานการณ์ในท่านอนเดียวกันกับรูปที่ 4.27

Source – Active Filter(SWFA on $\alpha, \beta, 0$) – Passive Filter2- Load

รูปที่ 4.31 ผลกรวยกำลังสหานกการผ่านเมื่อติดต่อวงจรกรองสำเร็จ ไบบริดโดยใช้วงจรกรองกำลังพาร์เซฟฟิคท์ 2

จากรูปที่ 4.31 ให้ผลกรวยกำลังสหานกการผ่านเมื่อติดต่อวงจรกรองสำเร็จในที่นั่นเองซึ่งบันทึกที่ 4.28

Source - Active Filter(SWFA on $\alpha, \beta, 0$) – Passive Filter3- Load



รูปที่ 4.32 ผลการจำลองสถานการณ์เมื่อตั้งค่ากรวยกำกั้นไฟเบรตโดยช่วงกรวยที่เล็กพิเศษที่สุด 3

จากรูปที่ 4.32 ให้ผลการจำลองสถานการณ์เมื่อตั้งค่ากรวยให้สำหรับค่ากรวยที่ 4.29

ตารางที่ 4.1 สรุปผลการจำลองสถานการณ์ทั้งก่อนและหลังการกำจัดยาาร์มอนิก โดยตัวที่นำเสนอยืนยันค่า %THD_i ในแต่ละทดสอบค่า %THD_i เหลือ (%THD_{leave})

วิธีการกำจัดยาาร์มอนิก	%THD _i เหลือ	%THD _i เหลือ	%THD _i เหลือ	%THD _i เหลือ
ก่อนการกำจัดยาาร์มอนิก	29.09	29.06	29.06	29.07
หลังการดูดซับยาาร์มอนิก				
ติดตั้งวงจรกรองกำลังพาร์เซฟที่กำจัดยาาร์มอนิกเฉพาะอันดับที่ 5	19.39	19.29	19.50	19.39
ติดตั้งวงจรกรองกำลังพาร์เซฟที่กำจัดยาาร์มอนิกเฉพาะอันดับที่ 7	25.90	25.88	25.89	25.89
ติดตั้งวงจรกรองกำลังพาร์เซฟที่กำจัดยาาร์มอนิกเฉพาะอันดับที่ 5,7	17.04	16.93	17.18	17.05
ติดตั้งวงจรกรองกำลังแมกนีติก (DQF)	1.10	1.10	1.10	1.10
ติดตั้งวงจรกรองกำลังแมกนีติก (SWFA บานเนคัน $\alpha, \beta, 0$)	1.10	1.10	1.10	1.10
ติดตั้งวงจรกรองกำลังไอบริเตอร์ด้วยตัวกรองที่ 4.5.1	1.08	1.08	1.05	1.07
ติดตั้งวงจรกรองกำลังไอบริเตอร์ด้วยตัวกรองที่ 4.5.2	1.05	1.05	1.04	1.05
ติดตั้งวงจรกรองกำลังไอบริเตอร์ด้วยตัวกรองที่ 4.5.3	0.74	0.72	0.72	0.73
ติดตั้งวงจรกรองกำลังไอบริเตอร์ด้วยตัวกรองที่ 4.5.4	0.75	0.74	0.74	0.74
ติดตั้งวงจรกรองกำลังไอบริเตอร์ด้วยตัวกรองที่ 4.5.5	1.02	1.05	1.03	1.03
ติดตั้งวงจรกรองกำลังไอบริเตอร์ด้วยตัวกรองที่ 4.5.6	1.02	1.02	1.05	1.03
ติดตั้งวงจรกรองกำลังไอบริเตอร์ด้วยตัวกรองที่ 4.5.7	0.72	0.71	0.72	0.72
ติดตั้งวงจรกรองกำลังไอบริเตอร์ด้วยตัวกรองที่ 4.5.8	0.73	0.72	0.72	0.72

ตารางที่ 4.2 ตรุปผลการจำลองสถานการณ์ห้องก้อนน้ำและหลังการกำเนิดชาร์มน้ำ โดยแบบคำนวณโดยใช้ฟิลเตอร์ระบบ (VA) ณ จุดต่างๆ

วิธีการกำจัดชาร์มน้ำ	i_{su} (Arms)	$i_{filteru,5}$ (Arms)	$i_{filteru,7}$ (Arms)	i_{APF} (Arms)	P_{su} (KVA)	$P_{filteru,5}$ (VA)	$P_{filteru,7}$ (VA)	P_{APF} (VA)
ก่อนการกำจัดชาร์มน้ำ	7.69	-	-	-	1.68	-	-	-
ผลลัพธ์การกำจัดชาร์มน้ำ								
ติดตั้งวงจรกรองกำลังไฟซึ่งทำให้ชาร์มน้ำมีนิเกาน้ำภายในตัวที่ 5	7.20	0.96	-	-	1.57	211.20	-	-
ติดตั้งวงจรกรองกำลังไฟซึ่งทำให้ชาร์มน้ำมีนิเกาน้ำภายในตัวที่ 7	7.29	-	0.49	-	1.59	-	107.8	-
ติดตั้งวงจรกรองกำลังไฟซึ่งทำให้ชาร์มน้ำมีนิเกาน้ำภายในตัวที่ 5,7	7.20	0.97	0.49	-	1.57	213.40	107.8	-
ติดตั้งวงจรกรองกำลังไฟซึ่งเปลี่ยนแปลงค่าไฟฟ้า (DQF)	7.05	-	-	2.04	1.54	-	-	446.94
ติดตั้งวงจรกรองกำลังแม่กลิฟ (SWFA บันยาน $\alpha, \beta, 0$)	7.05	-	-	2.04	1.54	-	-	446.70
ติดตั้งวงจรกรองกำลังไฟปรับลดกระแสที่ 4.5.1	6.61	0.42	-	1.92	1.44	92.40	-	420.50
ติดตั้งวงจรกรองกำลังไฟปรับลดกระแสที่ 4.5.2	6.61	0.42	-	1.92	1.45	92.40	-	419.91
ติดตั้งวงจรกรองกำลังไฟปรับลดกระแสที่ 4.5.3	6.64	0.96	-	1.24	1.45	211.20	-	270.70
ติดตั้งวงจรกรองกำลังไฟปรับลดกระแสที่ 4.5.4	6.62	0.96	-	1.24	1.45	211.20	-	270.41
ติดตั้งวงจรกรองกำลังไฟปรับลดกระแสที่ 4.5.5	6.63	0.42	0.30	1.92	1.45	92.40	66.00	420.22
ติดตั้งวงจรกรองกำลังไฟปรับลดกระแสที่ 4.5.6	6.64	0.42	0.30	1.92	1.45	92.40	66.00	419.92
ติดตั้งวงจรกรองกำลังไฟปรับลดกระแสที่ 4.5.7	6.69	0.96	0.48	1.08	1.46	211.2	105.6	235.06
ติดตั้งวงจรกรองกำลังไฟปรับลดกระแสที่ 4.5.8	6.63	0.96	0.49	1.08	1.45	211.2	107.8	235.58

ตารางที่ 4.3 สรุปผลการจำลองสถานการณ์ทั้งก่อนและหลังการนำเข้ารายรั่มชนิด โดยแสดงค่า %THD_i ใหม่ต่อไปสแตะค่า %THD_i เดิม (%THD_{i,de}) ค่ากรเรซส์(I_{APF}) และค่าก้าวสำหรับราย (VA) ณ จุดต่างๆ

วิธีการกำกั้นภาระรั่มชนิด	%THD _i ไฟสัน	%THD _i ไฟส่วน	%THD _i ไฟส่วน	%THD _i ไฟส่วน	%THD _i ไฟส่วน	i _{su} (Arms)	i _{APF} (Arms)	P _{su} (VA)	P _{APF} (VA)
ท่อนกการกำกั้นภาระรั่มชนิด	30.55	30.50	30.64	30.56	30.70	-	-	154.88	-
หลังการกำกั้นภาระรั่มชนิด									
ติดตั้งวงจรกรองกำลังพานิชไฟที่ 1	9.74	9.71	9.73	9.73	0.72	-	-	157.62	-
ติดตั้งวงจรกรองกำลังพานิชไฟที่ 2	4.97	4.95	4.97	4.96	0.71	-	-	155.47	-
ติดตั้งวงจรกรองกำลังพานิชไฟที่ 3	2.50	2.48	2.50	2.50	0.70	-	-	154.64	-
ติดตั้งวงจรกรองกำลังเบรกเกอร์ไฟ (DQF)	4.01	3.95	3.97	3.98	0.76	0.22	168.01	47.28	
ติดตั้งวงจรกรองกำลังเบรกเกอร์ไฟ (SWFA บันเกน $\alpha, \beta, 0$)	4.16	4.00	3.92	4.03	0.76	0.22	166.65	47.97	
ติดตั้งวงจรกรองกำลังไอบริด (DQF กรณีที่ 1)	3.25	3.26	3.24	3.25	0.71	0.09	155.96	20.22	
ติดตั้งวงจรกรองกำลังไอบริด (DQF กรณีที่ 2)	1.67	1.66	1.65	1.66	0.70	0.05	154.31	10.21	
ติดตั้งวงจรกรองกำลังไอบริด (DQF กรณีที่ 3)	0.83	0.84	0.82	0.83	0.70	0.02	153.61	5.11	
ติดตั้งวงจรกรองกำลังไอบริด (SWFA บันเกน $\alpha, \beta, 0$ กรณีที่ 1)	3.23	3.24	3.25	3.24	0.71	0.09	155.97	20.23	
ติดตั้งวงจรกรองกำลังไอบริด (SWFA บันเกน $\alpha, \beta, 0$ กรณีที่ 2)	1.64	1.65	1.66	1.65	0.70	0.05	154.31	10.21	
ติดตั้งวงจรกรองกำลังไอบริด (SWFA บันเกน $\alpha, \beta, 0$ กรณีที่ 3)	0.83	0.82	0.84	0.83	0.70	0.02	153.61	5.11	

4.7 อภิปรายผล

การจำลองสถานการณ์ของระบบก่อนการขาดเชบ ที่มีโหลดไม่เป็นเชิงเส้นในที่นี้คือวงจรเรียงกระแสสามเฟสต่อ กับโหลดความด้านทานให้ผลการจำลองที่แสดง รูปคลื่นแรงดันไฟฟ้า (V_{su} , V_{sv} และ V_{sw}) ที่คงความเป็นชาบัน ขณะที่กระแสไฟฟ้าที่แหล่งจ่ายกำลังไฟฟ้าหลักก่อนการขาดเชบ ($i_{su,uncomp}$, $i_{sv,uncomp}$ และ $i_{sw,uncomp}$) มีรูปคลื่นผิดเพี้ยนไปจากรูปคลื่นชาบันนี้ของจากผลของชาร์มอนิก เมื่อติดตั้งวงจรกรองกำลังพาสซีฟโดยออกแนวโน้มกำจัดชาร์มอนิกอันดับที่ 5 และ 7 ซึ่งเป็นอันดับชาร์มอนิกที่มีมากในโหลดลักษณะนี้ ผลการจำลองสถานการณ์เมื่อติดตั้งวงจรกรองแล้ว ปราบปรามชาร์มอนิกในกระแสลดลง เนื่องได้จากการลดลงของกระแสไฟฟ้าที่แหล่งจ่ายกำลังไฟฟ้าหลักก่อนการลดลงอีก รวมถึงความไม่สมบูรณ์แบบในการกำจัดชาร์มอนิกของวงจรกรองด้วย เนื่องได้จากการลดลงที่ไม่ต่อเนื่องของชาร์มอนิกอันดับอื่นประปันอยู่ด้วยในระบบ ทำให้ชาร์มอนิกหลงเหลืออยู่ รวมถึงความไม่สมบูรณ์แบบในการกำจัดชาร์มอนิกของวงจรกรองด้วย ที่ได้จากการลดลงที่ไม่ต่อเนื่องของชาร์มอนิกอันดับอื่นประปันอยู่ ทำให้การกำจัดชาร์มอนิกลดลงเพียงเล็กน้อย เมื่อทำการติดตั้งวงจรกรองกำลังแยกทีฟให้กับระบบ โดยกระแสชดเชยที่มีค่าให้กับระบบจะมีด้วยแบบอุดมคติ คือกระแสที่ได้จากการระบุเอกสารลักษณ์ชาร์มอนิกจะนำมาหักลบกับกระแสที่ไหลเข้าโหลด เพื่อให้ได้กระแสที่เหลือจ่ายที่ไม่มีชาร์มอนิกประปันอีก การระบุเอกสารลักษณ์ชาร์มอนิกให้กับวงจรกรองกำลังแยกทีฟที่นำมาศึกษาเบริ่งเทบมี 2 วิธีคือวิธี DQF และที่คณวิจัยพัฒนาที่เป็นวิธีประยุกต์ SWFA บันແກນ $\alpha, \beta, 0$ ผลการจำลองสถานการณ์การกำจัดชาร์มอนิกเห็นชัดว่าทั้งสองวิธีให้การกำจัดชาร์มอนิกที่ดีมากเท่าเทียมกันโดยปริมาณชาร์มอนิกมีหลงเหลืออยู่น้อยกว่ารวมถึงรูปคลื่นกระแสที่มีความเป็นรูปคลื่นชาบัน เมื่อนำมาใช้ในระบบเป็นลำดับดังนี้ Source – Active Filter (SWFA on $\alpha, \beta, 0$) – Passive Filter order 5 & 7 – Load. โดยส่วนของวงจรกรองกำลังพาสซีฟได้ช่วยจัดการกำลังแยกทีฟในการกำจัดชาร์มอนิกในบางส่วน ทำให้กระแสชดเชยที่วงจรกรองกำลังแยกทีฟต้องมีค่าชดเชยให้ระบบนั้นลดลงประมาณครึ่งหนึ่ง เมื่อเปรียบเทบกับโครงสร้างที่ติดตั้งวงจรกรองกำลังแยกทีฟอย่างเดียว รวมถึงการติดตั้งวงจรกรองกำลังไอบริดแบบดังกล่าวเป็นแบบที่เหมาะสมนิยม เนื่องจากวงจรกรองกำลังพาสซีฟที่อยู่ด้านหน้าโหลด จะทำหน้าที่กำจัดชาร์มอนิกก่อนที่ชาร์มอนิกที่เหลือจากวงจรกรองกำลังพาสซีฟที่ห้องหมุด จะถูกกำจัดโดยวงจรกรองกำลังแยกทีฟต่อไป และในส่วนของวิธีการระบุเอกสารลักษณ์ชาร์มอนิกทั้งสองวิธีคือ DQF และ SWFA บันແກນ $\alpha, \beta, 0$ ให้ผลการกำจัดชาร์มอนิกที่มีประสิทธิภาพเท่าเทียมกัน ค่ากันตรงที่วิธี SWFA บันແກນ $\alpha, \beta, 0$ มีความเร็วในการระบุเอกสารลักษณ์ชาร์มอนิกที่เร็วกว่า เมื่อจากการคำนวณไม่จำเป็นต้องแปลงแกนจากแกน $\alpha, \beta, 0$ ไปเป็นแกน DQ

การจำลองสถานการณ์เมื่อติดตั้งวงจรกรองกำลังไอบริดแบบที่ 2 ที่ประกอบด้วยวงจรกรองกำลังพาสซีฟแบบอนุกรมที่ออกแนวโน้มกำจัดชาร์มอนิกทุกอันดับ ใช้งานร่วมกับวงจรกรองกำลัง

แยกทีฟุ๊ พาร์เจนดองสถานการณ์ได้แบ่งเป็นกรณีตามประสิทธิภาพในการกรองของวงจรกรองกำลัง พาสชีฟ เมื่อประสิทธิภาพในการกรองของวงจรกรองพาสชีฟมีมาก การกำจัดอาร์มอนิกก็มีมากตามไปด้วย รวมไปถึงกำลังไฟฟ้าของวงจรกรองกำลังแยกทีฟุ๊ก็ลดลง ซึ่งมีประโยชน์ในการลดต้นทุนในการสร้างวงจรกรองกำลังแยกทีฟุ๊

วงจรกรองกำลังไอบริดทั้ง 2 รูปแบบที่นำเสนอมาได้แบ่งกรณีศึกษาออกเป็นหลายกรณี เพื่อให้ได้รูปแบบวงจรกรองไอบริดที่ดีที่สุด รูปแบบวงจรกรองกำลังพาสชีฟแบบอนุกรมให้ผลการกำจัดอาร์มอนิกที่มีประสิทธิภาพดีมาก ทั้งด้านการกำจัดอาร์มอนิกและช่วบลดกำลังไฟฟ้าของวงจรกรองกำลังแยกทีฟุ๊ได้เกือบถึง 90% การวางแผนติดตั้ง Source – Active Filter – Passive Filter – Load เป็นลำดับที่เหมาะสมตามลำดับหน้าที่การกำจัดอาร์มอนิก อีกส่วนหนึ่งคือการระบุเอกสารักขณ์ อาร์มอนิกให้ก้าววงจรกรองกำลังแยกทีฟุ๊กับวิธีประยุกต์ SWFA บนแกน $\alpha, \beta, 0$ ที่พัฒนาขึ้นนั้น ให้ผลการกำจัดอาร์มอนิกที่มีประสิทธิผล ทั้งด้านการกำจัดอาร์มอนิกที่เท่าเทียมกับวิธี DQF แต่มีความซับซ้อนน้อยกว่าในขั้นตอนการแปลงแกน



บทที่ 5

ผลการทดสอบและการกำจัดสารมอนิก

5.1 กล่าวว่า

บทนี้นำเสนอด้วยผลการทดสอบ และอภิปรายผล วิธีการระบุเอกสารลักษณ์สารมอนิก SWFA บนแกน $\alpha, \beta, 0$ โดยทางกรองกำลังแยกที่ฟ้าในการทดสอบภาคปัจจุบันดังนี้ระบบเดิมที่ใช้กับงานวิจัย DQF ส่วนวงจรกรองกำลังพาสซีฟในที่นี้ใช้แบบอนุกรมซึ่งให้ผลการจำลองที่ดีจากบทที่ผ่านมาโดยทำการออกแบบและสร้างขึ้นใหม่เพื่อทดสอบวงจรกรองทั้งสองเป็นแบบไฮบริด ซึ่งในที่นี้มีโอลด์ไม่เป็นเชิงเส้นที่ใช้ในการทดสอบเป็นวงจรเรียงกระแสสามเฟสที่มีโอลด์เป็นความต้านทานเพียงอย่างเดียว และโอลด์เป็นความต้านทานต่ออนุกรมกับตัวหนีชิ่งเป็นตัวแทนของโอลด์ทางไฟฟ้ากำลังเช่น เครื่องจักรกลไฟฟ้านี้เป็นต้น

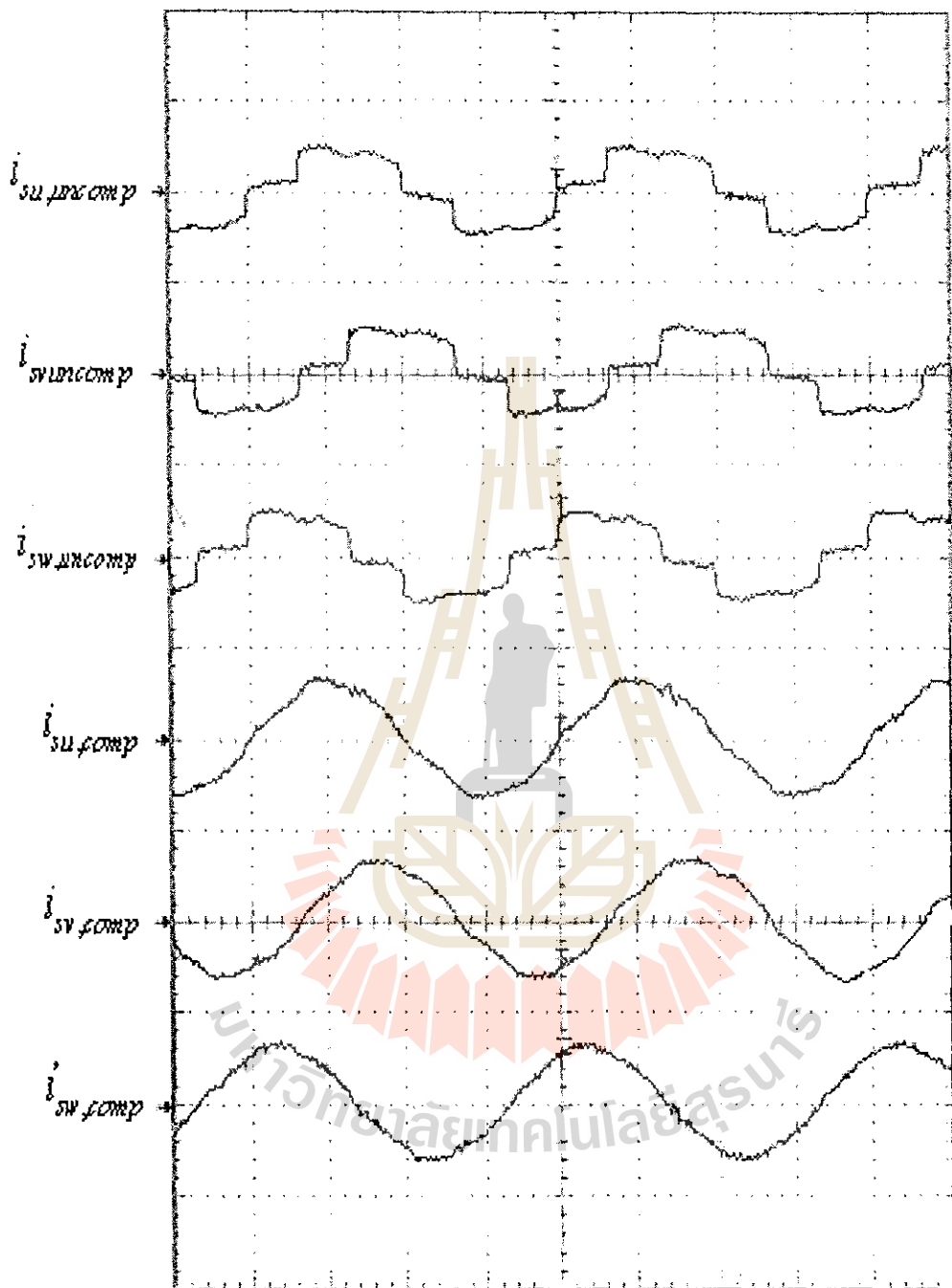
5.2 ผลการทดสอบกรณ์โอลด์ของวงจรเรียงกระแสเป็นความต้านทานเพียงอย่างเดียว

ผลการทดสอบการกำจัดสารมอนิก ที่นำเสนอด้วยระบบที่ใช้ในการทดสอบมีโอลด์ไม่เป็นเชิงเส้นเป็นวงจรเรียงกระแสสามเฟสที่มีโอลด์หนึ่งชุดเป็นความต้านทาน การทดสอบดังกล่าวมีการลดพิกัดแรงดันไฟฟ้าของระบบสามเฟส จาก 220 โวลต์อาร์ເອີມເອສ ในแต่ละเฟส เหลือเพียง 50 โวลต์อาร์ເອີມເອສ ทั้งนี้เพื่อลดพิกัดของอุปกรณ์อิเล็กทรอนิกส์ที่ใช้สำหรับการสร้างวงจรกรองกำลังแยกที่ฟ้าและเพื่อความปลอดภัย ความต้านทานหนึ่งชุดที่เป็นโอลด์ของวงจรเรียงกระแสมีขนาด 900 โอห์ม รูปที่ 5.1 แสดงแผนภาพของระบบคันเบนที่พัฒนาขึ้นเพื่อการทดสอบนี้ [1] การวัดปริมาณสารมอนิกใช้ FLUKE 434 และผลในรูป %THD ส่วนวงจรกรองกำลังพาสซีฟ

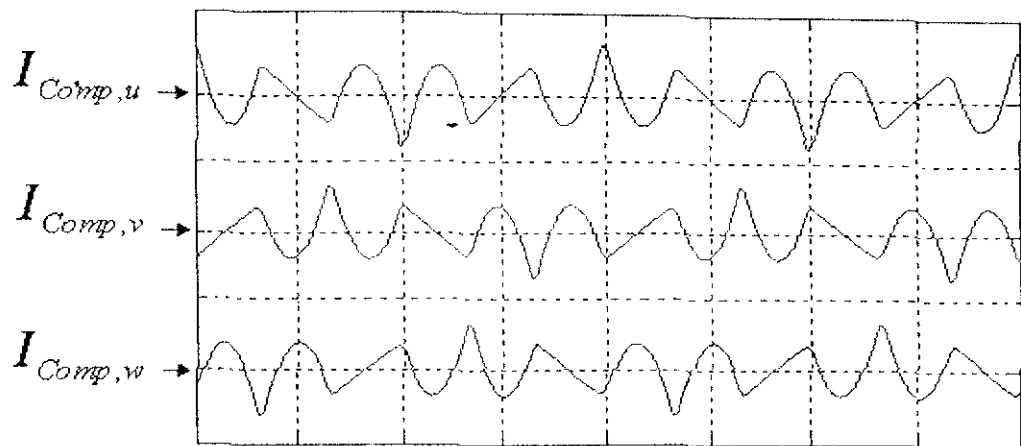


รูปที่ 5.1 ระบบที่ใช้ทดสอบการกำจัดสารมอนิกของงานวิจัย

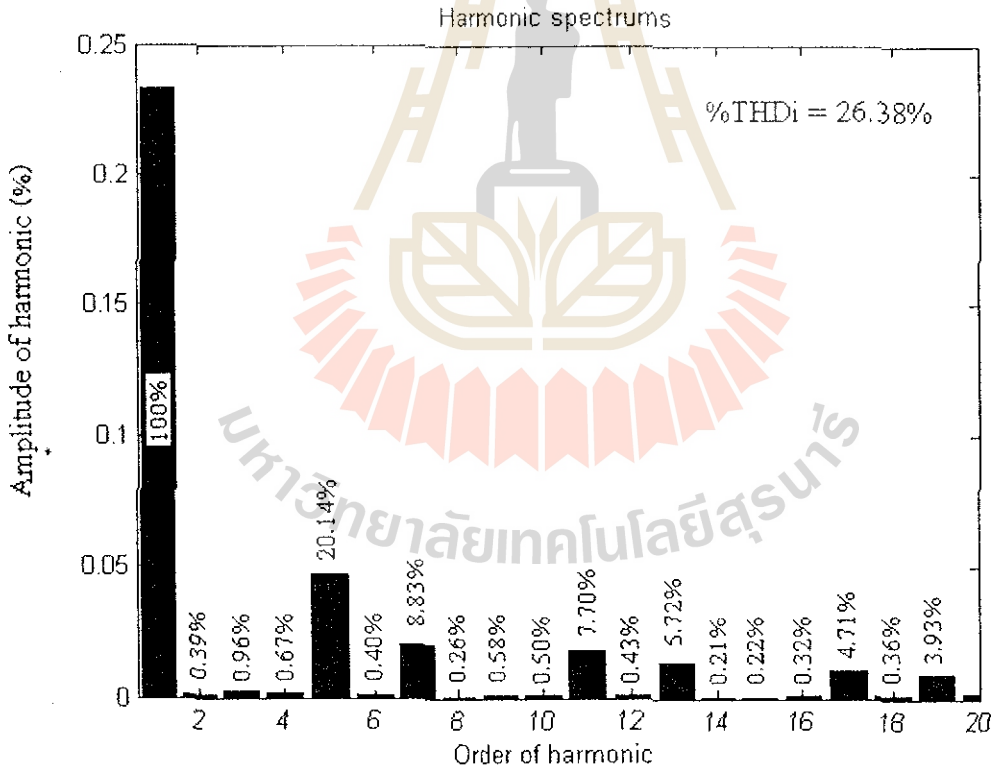
แบบอนุกรมใช้การออกแนวดังที่กล่าวถึงในบทที่ 4 โดยค่าพารามิเตอร์ต่างๆที่ใช้มีดังนี้ ค่าความ
หนึ่งช่วงเท่ากับ 0.5 H ค่าตัวเก็บประจุเท่ากับ $20 \mu\text{F}$



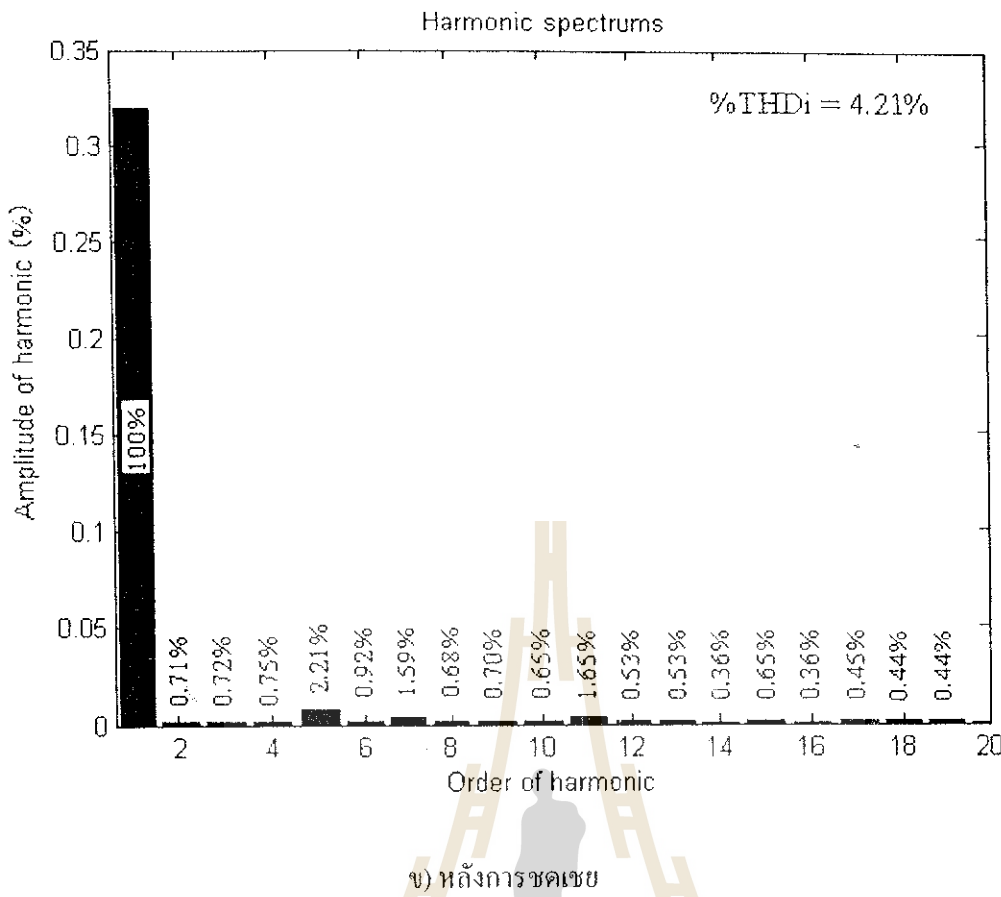
รูปที่ 5.2 ผลการทดสอบกรณีโหลดของวงจรเรียงกระแสเป็นความต้านทานเพียงอย่างเดียว
(แกลในแกนนอนเท่ากับ 5ms/div. แกนตั้งเท่ากับ 0.5A/div.)



รูปที่ 5.3 รูปสัญญาณกระแสเดาเชยที่ได้จากวงจรกรองกำลังแยกที่ไฟ กรณีโภคเป็นวงจรเรียงกระแสต่อกับโหลดความต้านทานเพียงอย่างเดียว
(สเกลในแกนนอนเท่ากับ 5ms/div. แกนตั้งเท่ากับ 0.02A/div.)



ก) ก่อนการซัดเชย



รูปที่ 5.4 สเปกตรัมของกระแสไฟฟ้าไฟฟ้า ก่อนและหลังการลดเชยกรณี โหลดของวงจรเรียง
กระแสเป็นความต้านทานเพียงอย่างเดียว

ผลการทดสอบของระบบเมื่อโหลดเป็นวงจรเรียงกระแสและตัวต้านทาน ได้รับการแสดงไว้ในรูปที่ 5.2 สำหรับแกนนอนของรูปที่ 5.2 เป็น 5 มิลลิวานาทีต่อช่อง ในขณะที่สเกลแกนตั้งเป็น 0.5 แอมป์ต่อช่อง จากรูปดังกล่าว กระแสไฟฟ้าก่อนการลดเชย ($i_{su,uncomp}$, $i_{sv,uncomp}$ และ $i_{sw,uncomp}$) มีลักษณะบิดเบี้ยวไม่เป็นรูปสัญญาณขาบ โดยที่ค่า %THDi ในแต่ละเฟสคือ จำกัดาร่างที่ 5.1 ค่า %THDi เฉลี่ยก่อนการลดเชยมีค่าเท่ากับ 26.38 เมอร์เซ็นต์ แต่ภายหลังการลดเชยาร์มอนิก รูปสัญญาณกระแสไฟฟ้าหลังการลดเชย ($i_{su,comp}$, $i_{sv,comp}$ และ $i_{sw,comp}$) มีลักษณะใกล้เคียงรูปสัญญาณขาบ บริสุทธิ์อย่างมาก ข้อมูลด้าน %THDi ในแต่ละเฟส และ %THDi เหลือหลังการลดเชยคือ จำกัดาร่างที่ 5.1 ค่า %THDi เฉลี่ยก่อนการลดเชยมีค่าเท่ากับ 4.21 เมอร์เซ็นต์ ซึ่งมีค่าลดลงอย่างมากเมื่อเทียบกับสภาวะก่อนการลดเชย เมื่อนำมาค่ากระแสไฟฟ้าก่อนและหลังการลดเชยของไฟฟ้า ไปวิเคราะห์ สเปกตรัม เพื่อคุณภาพ าร์มอนิกที่เกิดขึ้น ซึ่งแสดงไว้ในรูปที่ 5.4 แกนนอนของรูปดังกล่าว คือ ลำดับอาร์มอนิก (h) แกนตั้ง คือ ค่ากระแสสูงสุดแต่ละค่าดับอาร์มอนิก (I_h) จากรูปที่ 5.4 สังเกตได้

ว่าก่อการชดเชย สาร์มอนิกลำดับที่ 5 7 11 13 17 19 มีปริมาณมากอย่างเห็นได้ชัด เมื่อเทียบกับปริมาณสาร์มอนิกที่ลำดับอื่นๆ และมีค่าเกินกรอบที่มาตรฐาน IEEE Std.519-1992 แต่ภายหลังการชดเชย ปริมาณ สาร์มอนิกที่ลำดับต่างๆเหล่านี้มีค่าลดลงอย่างมากโดยปริมาณสาร์มอนิกลำดับที่ 5 มีค่าลดลงจาก 20.14 เปอร์เซ็นต์ เหลือเพียง 2.21 เปอร์เซ็นต์ ลำดับที่ 7 ลดลงจาก 8.83 เปอร์เซ็นต์ เหลือ 1.59 เปอร์เซ็นต์ ลำดับที่ 11 ลดลงจาก 7.70 เปอร์เซ็นต์ เหลือ 1.65 เปอร์เซ็นต์ ลำดับที่ 13 ลดลงจาก 5.72 เปอร์เซ็นต์ เหลือ 0.53 เปอร์เซ็นต์ ลำดับที่ 17 ลดลงจาก 4.71 เปอร์เซ็นต์ เหลือ 0.45 เปอร์เซ็นต์ ลำดับที่ 19 ลดลงจาก 3.93 เปอร์เซ็นต์ เหลือ 0.44 เปอร์เซ็นต์ ซึ่งภายหลังการชดเชย ปริมาณ สาร์มอนิกที่ลำดับต่างๆ และค่า%THDi อยู่ในกรอบมาตรฐานของ IEEE Std.519-1992 ส่วนผลการวิเคราะห์สเปกตรัม เพื่อคุณภาพสาร์มอนิกสำหรับไฟส.บ และ w จะมีลักษณะในทำนองเดียวกับไฟส.บ จึงไม่จำเป็นต้องวิเคราะห์ ที่นี่อาจกล่าวได้ว่า ผลการทดสอบทางปฏิบัติในกรณีนี้ ให้ผลดีอย่างน่าพึงพอใจมากลดลงจนผลลัพธ์มีความสอดคล้องกับผลการจำลองสถานการณ์ที่ได้นำเสนอไว้ก่อนหน้านี้

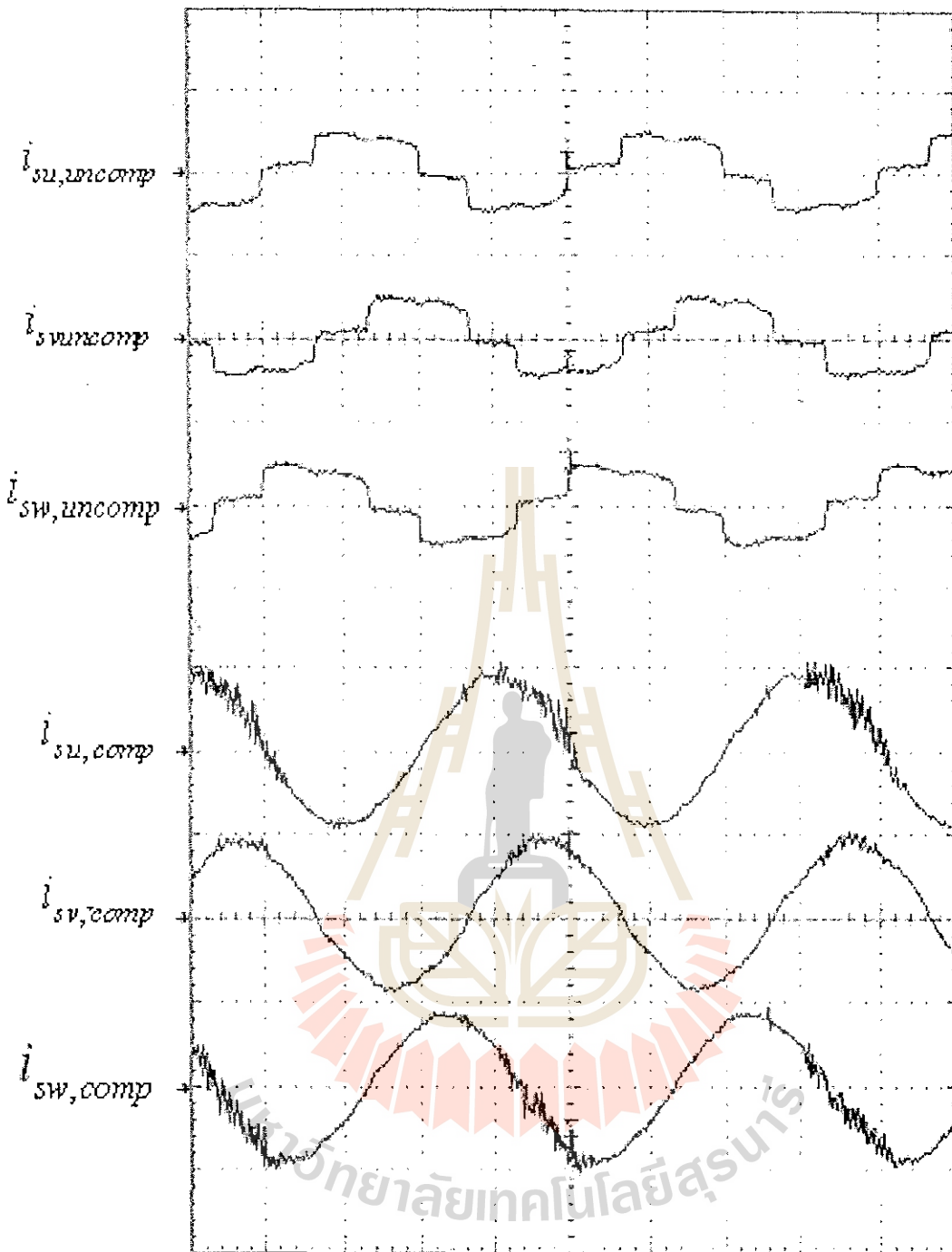
ตารางที่ 5.1 ผลการทดสอบการกำจัดสาร์มอนิกในสภาวะที่โหลดของระบบเป็นวงจรเรียงกระแส

สามเฟสที่มีโหลดเป็นความต้านทานเพียงอย่างเดียว

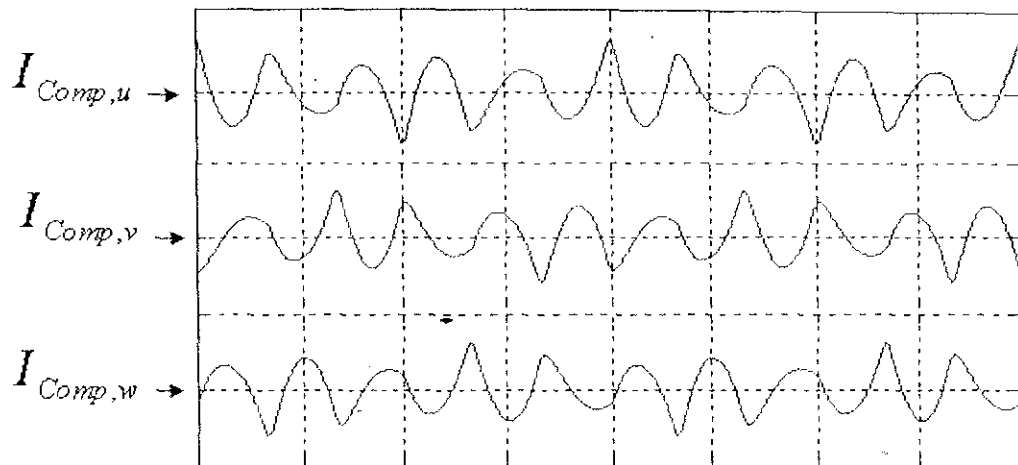
สภาวะของระบบ	%THDi เฟส b	%THDi เฟส v	%THDi เฟส w	%THDi เหลี่ยม
ก่อนการชดเชย	26.44	26.38	26.32	26.38
หลังการชดเชย	4.44	4.38	3.81	4.21

5.3 ผลการทดสอบกรณีโหลดของวงจรเรียงกระแสเป็นความต้านทานต่ออนุกรมกับตัวหนี่ยวน้ำ

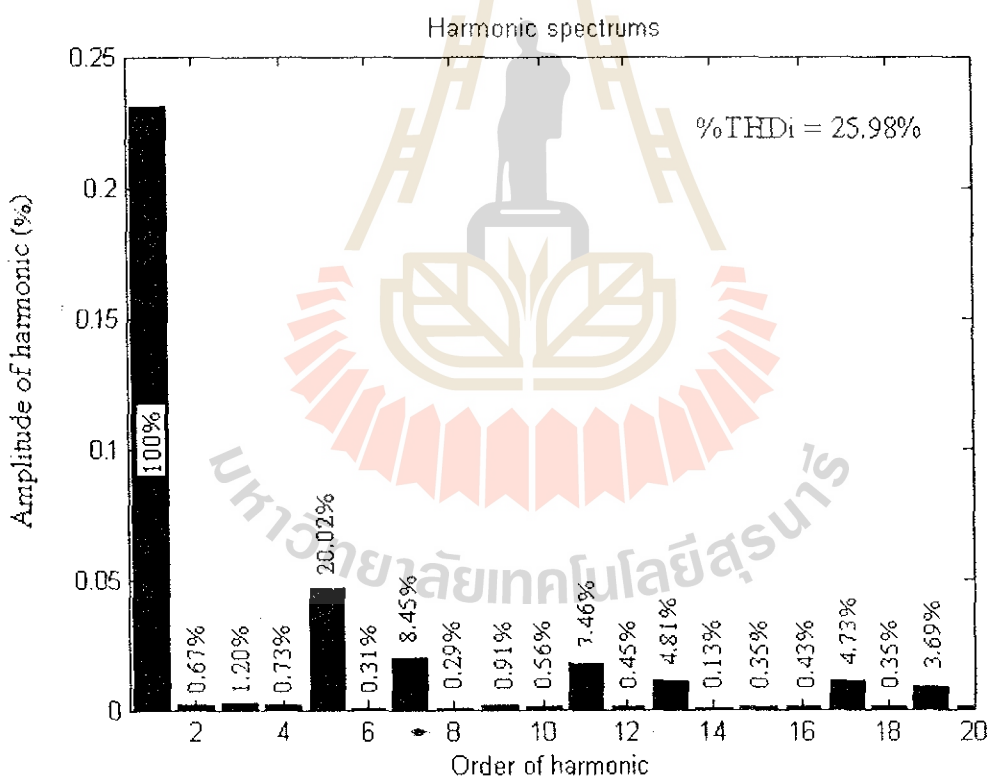
ระบบที่ใช้ในการทดสอบการกำจัดสาร์มอนิกในหัวข้อนี้ โหลดไม่เป็นเชิงเส้นเป็นวงจรเรียงกระแสสามเฟสที่มีโหลดหนึ่งชุดเป็นความต้านทานต่ออนุกรมกับตัวหนี่ยวน้ำ ซึ่งแทนหรือเทียบเท่ากับโหลดทางกลไฟฟ้า เช่นมอเตอร์ เพื่อทดสอบผลดูประสิทธิภาพการกำจัดสาร์มอนิกในเชิงปฏิบัติจริงมากขึ้น พิกัดแรงดันที่ใช้ในการทดสอบเหมือนกันกับที่ได้อธิบายไว้ในหัวข้อที่ผ่านมา ความต้านทานที่ใช้เป็นโหลดให้กับวงจรเรียงกระแสสามเฟสมีขนาด 900 โอห์ม ในขณะที่ตัวหนี่ยวน้ำมีขนาด 1.95 เยนรี รูปคลื่นสัญญาณต่างๆ ที่บันทึกไว้จากการทดสอบได้รับการแสดงไว้ในรูปที่ 5.5 ซึ่งสังเกตได้ว่ากระแสไฟฟ้าก่อนการชดเชยมีลักษณะบิดเบี้ยวไม่เป็นรูปคลื่นชาบน์ มีค่า%THDi เหลี่ยมก่อนการชดเชยเท่ากับ 25.98 เปอร์เซ็นต์ ดังตารางที่ 5.2 ภายหลังการชดเชยกระแสไฟฟ้าที่เหล่งจ่ายกำลังไฟฟ้าหลักมีลักษณะใกล้เคียงรูปคลื่นชาบน์ริสุทธิ์อย่างมาก ซึ่งค่า%THDi เหลี่ยมหลังการชดเชยมีค่าเท่ากับ 4.85 เปอร์เซ็นต์ ซึ่งลดลงอย่างมากเมื่อเปรียบเทียบสภาวะ



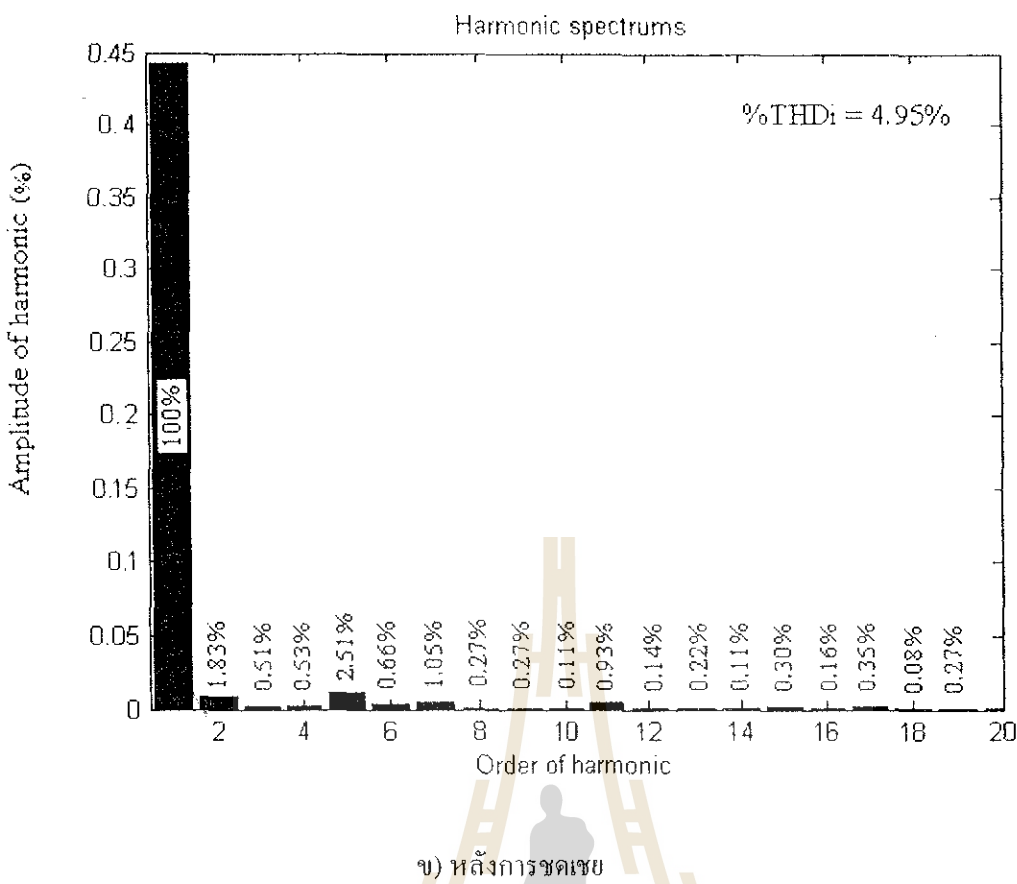
รูปที่ 5.5 ผลการทดสอบกรณีโหลดของวงจรเรียงกระแสเป็นความต้านทานต่ออนุกรมกับตัวเหนี่ยวนำ
(สเกลในแกนนอนเท่ากับ 5ms/div. แกนตั้งเท่ากับ 0.5A/div.)



รูปที่ 5.6 รูปสัญญาณกระแสชดเชยที่ได้จากการกรองกำลังแยกทีฟ กรณีโหลด
เป็นวงจรเรียงกระแสต่อกันโดยลดความต้านทานต่ออนุกรมกับตัวหนึ่งบวบนำ
(สเกลในแกนนอนเท่ากับ 5ms/div. แกนตั้งเท่ากับ 0.02A/div.)



ก) ก่อนการชดเชย



รูปที่ 5.7 สเปกตรัมของกระแสไฟฟ้าไฟฟ์ บ ก่อนและหลังการทดสอบกรณีโหลดของวงจรเรียงกระแสเป็นความต้านทานต่ออนุกรมกับด้วงเนื้อขวานนำ

ก่อนการทดสอบ อย่างไรก็ตามอาจสังเกตเห็นสัญญาณรบกวนความถี่สูงปรากฏขึ้นบนรูปคลื่นของกระแสที่ผ่านการทดสอบแล้วกระบวนการเหล่านี้กิจกรรมสวิทช์ที่ไม่เป็นอุดมคติของอุปกรณ์สวิทช์เมื่อดำเนินการวิเคราะห์สเปกตรัมเพื่อหาปริมาณสาร์มอนิก ก่อนและหลังการทดสอบของไฟฟ์ บในทำนองเดียวกันกับหัวข้อก่อนหน้านี้ จะได้สเปกตรัมดังรูปที่ 5.7 โดยก่อนการทดสอบปริมาณสาร์มอนิกลำดับที่ 5 7 11 13 17 และ 19 มีค่าเกินขอบเขตมาตรฐานของ IEEE Std.519-1992 อุ่นมาก แต่หลังการทดสอบ ปริมาณสาร์มอนิกลำดับที่ 5 มีค่าลดลงจาก 20.02 เปอร์เซ็นต์ เหลือเพียง 2.51 เปอร์เซ็นต์ ลำดับที่ 7 ลดลงจาก 8.45 เปอร์เซ็นต์ เหลือ 1.05 เปอร์เซ็นต์ ลำดับที่ 11 ลดลงจาก 7.46 เปอร์เซ็นต์ เหลือ 0.93 เปอร์เซ็นต์ ลำดับที่ 13 ลดลงจาก 4.81 เปอร์เซ็นต์ เหลือ 0.22 เปอร์เซ็นต์ ลำดับที่ 17 ลดลงจาก 4.73 เปอร์เซ็นต์ เหลือ 0.35 เปอร์เซ็นต์ ลำดับที่ 19 ลดลงจาก 3.69 เปอร์เซ็นต์ เหลือ 0.27 และอาจสังเกตเห็นว่ามีสาร์มอนิกอันดับคู่กิดขึ้น เช่น อันดับที่ 2 และ 4 ซึ่งสอดคล้องกับการปรากฏของสัญญาณรบกวนความถี่สูงอย่างไรก็ตาม จากผลดังกล่าวข้างต้นปริมาณสาร์มอนิกเหล่านี้ มีค่าลดลง และอยู่ในกรอบมาตรฐานของ IEEE Std.519-1992 ส่วนผลการวิเคราะห์

สเปกตรัมเพื่อคุณภาพนิยามของนิกสำหรับเฟส v และ w จะมีลักษณะในทำนองเดียวกันกับเฟส u จึงไม่ได้นำเสนอไว้ ณ ที่นี่

ตารางที่ 5.2 ผลการทดสอบการกำจัดสาร์มอนิกในสภาวะที่โหลดของระบบเมื่อวงจรเรียงกระแส
สามเฟสที่มีโหลดเป็นความต้านทานต่ออนุกรมกับตัวหนี้บาน้ำ

สภาวะของระบบ	%THDi เฟส u	%THDi เฟส v	%THDi เฟส w	%THDi เหลือ
ก่อนการลดเชย	26.21	25.90	25.83	25.98
หลังการลดเชย	4.95	4.86	4.74	4.85

5.4 สรุป

ผลทดสอบในทางปฏิบัติของการใช้ชีวิช SWFA บนแกน $\alpha, \beta, 0$ ระบุเอกสารนี้ว่ามอนิกควบคู่กับวงจรกรองกำลัง ไอบริด ให้ผลลัพธ์ที่น่าพึงพอใจอย่างมาก ทั้งในการณ์โหลดของวงจรเรียงกระแสเป็นความต้านทานเพียงอย่างเดียว และกรณีที่โหลดของวงจรเรียงกระแสเป็นความต้านทานต่ออนุกรมกับตัวหนี้บาน้ำ ซึ่งก่อนการลดเชยค่า %THDi เหลือยังคงกว่า IEEE Std.519-1992 อย่างมากทั้งสองกรณี ภายหลังเมื่อลดเชยด้วยวงจรกรองกำลัง ไอบริด ปรากฏว่า รูปคลื่นกระแสไฟฟ้าที่แหล่งจ่ายกำลังไฟฟ้าเหล่านี้มีลักษณะใกล้เคียงความเป็นสัญญาณชานบันธุ์มากและค่า %THDi เหลือหลังการลดเชยอยู่ในขอบเขตมาตรฐาน IEEE Std.519-1992 อาจกล่าวได้ว่า ในภาพรวมคุณภาพนิยามของนิกมากกว่า 80 เมอร์เซนต์

บทที่ 6

สรุปและข้อเสนอแนะ

6.1 สรุป

งานวิจัยนี้มุ่งเน้นการระบุอุอกลักษณ์ของมนิกรให้กับวงจรกรองกำลังไฟบริสุทธิ์เป็นวงจรกรองที่มีโครงสร้างผสมผสานทั้งวงจรกรองกำลังพาราซิฟและแยกทีฟ วงจรกรองกำลังพาราซิฟแบบต่างๆ มีส่วนในการช่วยลดขนาดของกระแสและแรงดันที่ความถี่มูลฐานเพื่อลดพิษดักกำลังไฟฟ้าของวงจรกรองกำลังแยกทีฟ เมื่อนำวงจรทั้งสองติดต่อทำงานแบบไฮบริดก็จะทำให้การกำจัดสาร์มอนิกมีประสิทธิภาพมากขึ้น การระบุอุอกลักษณ์ของมนิกรให้กับวงจรกรองกำลังไฟบริสุทธิ์ในที่นี้ได้พัฒนาจากวิธี DQF ด้วยการตัดการเปลี่ยนแกนหมุน α - β -0 ออกเรียกวิธีใหม่นี้ว่าวิธีประยุกต์ SWFA บนแกน $\alpha, \beta, 0$ ซึ่งอัลกอริทึมใหม่มีโครงสร้างหลักเป็นการวิเคราะห์ฟูริเยร์ SWFA กระทำกับกระแสไฟฟ้าเป็นเวกเตอร์ $(\alpha, \beta, 0)$ จึงเรียกวิธีการใหม่นี้ว่า space – vector with Fourier method หรือ วิธี SVF แนวทางใหม่นี้มีหนทางการคำนวณง่ายกว่า DQF มีความซับซ้อนน้อยกว่า อิทธิพล SWFA มีความถูกต้องในการระบุอุอกลักษณ์ของมนิกรสูง และมีความอ่อนตัวในการปรับใช้เพื่อการกำจัดสาร์มอนิกแบบกลุ่มหรือแบบเจาะจงอันดับต่ำของค่าคงที่ กระแสอันดับศูนย์บังช่วยในเรื่องของความไม่สมดุลของระบบ ทำให้การฉีดกระแสแซดแซมารถกระทำได้อย่างถูกต้อง รายละเอียดต่างๆ เกี่ยวกับการระบุอุอกลักษณ์ของมนิกรด้วยวิธีประยุกต์ SWFA บนแกน $\alpha, \beta, 0$ ได้นำเสนอไว้ในบทที่ 3

การเปรียบเทียบประสิทธิภาพของการระบุอุอกลักษณ์ด้วยวิธี DQF กับวิธีประยุกต์ SWFA บนแกน $\alpha, \beta, 0$ หรือ SVF นั้นเปรียบเทียบโดยใช้ผลการจำลองสถานการณ์การกำจัดสาร์มอนิกที่พิจารณาแบบจำลองของวงจรกรองในส่วนของวงจรกรองกำลังแยกทีฟเป็นแหล่งจ่ายกระแสอุดมคติ ที่กำจัดสาร์มอนิกได้อย่างสมบูรณ์ ทั้งนี้เพื่อศึกษาเปรียบเทียบสมรรถนะของวิธีการระบุอุอกลักษณ์ สาร์มอนิกเพียงอย่างเดียวโดยยังไม่คำนึงถึงข้อจำกัดในทางปฏิบัติของวงจรกรองกำลัง ดังนี้ชี้วัดสมรรถนะของวิธีการระบุอุอกลักษณ์ของสาร์มอนิกพิจารณาจากค่า %THDi หลังการกำจัดสาร์มอนิกเป็นสำคัญ การจำลองสถานการณ์ได้พิจารณาระบบ 2 รูปแบบที่มีโหลดไม่เป็นเชิงเส้นคือ วงจรเริงกระแสสามเฟสที่มีโหลดเป็นความต้านทานเพียงอย่างเดียวโดยความต้านทานในที่มีค่าเท่ากับ 50 และ 600 โอม์ ไม่มีการติดต่อตัวเก็บประจุในการปรับเรียงแรงดัน จึงจัดเป็นโหลดในกลุ่มแหล่งจ่ายกระแสไม่เป็นเชิงเส้น (current – source nonlinear load, CSNL) ที่ทำให้เกิดไฟฟ้ากระแสสาร์มอนิกในระบบเท่านั้น ทั้งนี้เนื่องจากงานวิจัยนี้มีกรอบของการศึกษาไว้ในด้านการซัดเซยกระแสสาร์มอนิกเป็นการโดยเฉพาะ จึงยังไม่พิจารณาผลเนื้องจากแรงดันสาร์มอนิก ซึ่งจากผลการจำลองสถานการณ์พบว่า กรณีไฟฟ้ากระแสสามเฟสที่มีโหลดเป็นความต้านทานที่มีค่าเท่ากับ 50 โอม์ %THDi เฉลี่ยก่อนการซัดเซยมีค่าเท่ากับ 29.07 เปอร์เซ็นต์ แต่

หากหลังมีติดตั้งวงจรของพาราเซฟแบบบานานซึ่งออกแบบให้กำจัดภาร์มอนิกที่อันดับ 5 และ 7 มีค่า %THD_i เนื่องจากหลังการติดตั้งวงจรกรอง เท่ากับ 17.05 เปอร์เซ็นต์ และกรณีติดตั้งวงจรกรองแยกที่ไฟโดยใช้วิธี DQF และ SVF ในกระบวนการรับออกลักษณะให้ผลหลังการลดเชย %THD_i เนื่องจาก 1.10 เปอร์เซ็นต์ เท่ากับทั้งสองวิธี กรณีติดตั้งวงจรกรองกำลังไสบิริดโดยประกอบด้วยวงจรกรองกำลังพาราเซฟแบบบานานออกแบบให้กำจัดภาร์มอนิกอันดับที่ 5 กับ 7 และวงจรกรองกำลังแยกที่ไฟที่ใช้วิธี DQF และ SVF ในกระบวนการรับออกแบบให้ผลหลังการลดเชยมี %THD_i เนื่องจาก 0.72 เปอร์เซ็นต์ เท่ากับทั้งสองวิธี รวมถึงกำลังไฟฟ้าที่วงจรกรองกำลังแยกที่ไฟก็ลดลงเหลือ 50 เปอร์เซ็นต์ ซึ่งช่วยลดพิภัติกำลังไฟฟ้าและต้นทุนในการผลิตได้กว่าใช้วงจรกรองกำลังแยกที่ไฟแต่เพียงอย่างเดียว กรณีไฟลดลงจริงระบบสามารถฟื้นฟูความต้านทานที่มีค่าเท่ากับ 600 โอมที่ %THD_i เนื่องจากอุปกรณ์ก่อนการลดเชยมีค่าเท่ากับ 30.56 เปอร์เซ็นต์ แต่ภายหลังเมื่อติดตั้งวงจรกรองพาราเซฟแบบบานานซึ่งออกแบบให้กำจัดภาร์มอนิกทุกอันดับโดยผลการกำจัดภาร์มอนิกที่ขึ้นอยู่กับค่าตัวหนึ่งที่ขึ้นเพิ่มขึ้น ยิ่งมีค่ามากการกำจัดภาร์มอนิกก็จะขึ้นตามไปด้วย แต่การที่ค่าตัวหนึ่งขึ้นมากทำให้ต้นทุนของวงจรกรองมากขึ้นด้วย ที่ค่าความหนึ่งยกเว้นเท่ากับ 2.0 เท่านั้น ค่าตัวเดียวกับวงจรกรอง 5 ไมโครเฟรเดค ภายหลังการลดเชย %THD_i เนื่องจากหลังการติดตั้งวงจรกรองเท่ากับ 2.50 เปอร์เซ็นต์ และกรณีติดตั้งวงจรกรองกำลังแยกที่ไฟโดยใช้วิธี DQF และ SVF ในกระบวนการรับออกแบบให้ผลหลังการลดเชย %THD_i เนื่องจาก 3.98 เปอร์เซ็นต์ และ 4.03 เปอร์เซ็นต์ ตามลำดับ กรณีติดตั้งวงจรกรองกำลังทั้งสองที่กล่าวมาเป็นแบบไสบิริดโดยใช้วิธี DQF และ SVF ในกระบวนการรับออกแบบซึ่งให้ผลหลังการลดเชย %THD_i เนื่องจาก 0.83 เปอร์เซ็นต์ เท่ากับทั้งสองวิธี รวมถึงกำลังไฟฟ้าที่วงจรกรองกำลังแยกที่ไฟก็ลดลงเหลือ 90 เปอร์เซ็นต์ ซึ่งช่วยลดพิภัติและต้นทุนในการผลิตได้มาก ดีกว่าใช้วงจรกรองกำลังแยกที่ไฟเพียงอย่างเดียว แต่กระนั้นก็ควรเลือกออกแบบวงจรกรองกำลังพาราเซฟที่มีประสิทธิภาพในการกำจัดภาร์มอนิกที่เหมาะสม ถ้าหากไม่ยอมนำไปสู่ขนาดตัวหนึ่งขึ้นมาที่ใหญ่ก็จะตามมาด้วยต้นทุนที่สูงขึ้นเช่นกัน รายละเอียดการจำลองสถานการณ์เพื่อทดสอบการกำจัดภาร์มอนิกในกรณีอื่นๆ ได้นำเสนอไว้ในบทที่ 4

งานวิจัยนี้ได้ดำเนินการทดสอบในทางปฏิบัติ เพื่อเป็นการยืนยันถึงสมรรถนะของวิธี SVF เมื่อใช้เป็นวิธีในการระบุเอกสารลักษณะสาร์มอนิกให้กับวงจรกรองกำลัง ไอยูริด การทดสอบดำเนินการ กับระบบสามเฟสที่มีโหลดไม่เป็นเชิงเส้นเป็นวงจรเรียงกระแสสามเฟสที่จ่ายกระแสให้ความ ด้านทาน และระบบที่มีโหลดไม่เป็นเชิงเส้นเป็นวงจรเรียงกระแสสามเฟสที่จ่ายกระแสให้ความ ด้านทานคืออนุกรมกับตัวหนึ่งกับตัวหนึ่ง ยกตัวอย่างเช่น ไฟฟ้าใช้ชุด ทดสอบเดิมจากงานวิจัยก่อนหน้านี้ [1] ดำเนินงานที่พิกัด 50 โวลต์อาร์เอมแอล 0.5 แอมเพียร์ อาร์เอมแอล ผลทดสอบในทางปฏิบัติของการใช้งานกรองกำลัง ไอยูริดแบบใหม่นี้ที่มีวิธี SVF ระบุเอกสารลักษณะสาร์มอนิกให้ผลที่น่าพึงพอใจยิ่งมาก ในกรณีที่โหลดของวงจรเรียงกระแสเป็น

ความต้านทานเพียงอย่างเดียว ค่า %THDi เหลือก่อนการซัดเซยมีค่าเท่ากับ 26.38% และในกรณีที่ โหลดของวงจรเรียงกระแสเป็นความต้านทานต่ออนุกรมกับตัวเหนี่ยวหน้า ค่า %THDi เหลือก่อนการซัดเซยมีค่าเท่ากับ 25.98% ซึ่งค่าทั้งสองนี้ค่ามากกว่าที่กำหนดโดยมาตรฐาน IEEE Std.519-1992 แต่ภายหลังการซัดเซย์ร์มอนิกตัวช่วงจรกรองกำลังไชบริด ปรากฏว่า รูปคลื่นกระแสไฟฟ้าที่เหลือจ่ายกำลังไฟฟ้าหลักมีลักษณะใกล้เคียงความเป็นสัญญาณขาขึ้นบันธิสูงซึ่งทั้งสองกรณี และค่า %THDi เหลือก่อนการซัดเซย์ในกรณีที่ โหลดของวงจรเรียงกระแสเป็นความต้านทานเพียงอย่างเดียว และในกรณีที่ โหลดของวงจรเรียงกระแสเป็นความต้านทานต่ออนุกรมกับตัวเหนี่ยวหน้ามีค่าเท่ากับ 4.21% และ 4.85% ตามลำดับซึ่งค่าดังกล่าวอยู่ในกรอบมาตรฐาน IEEE Std.519-1992 โดยในภาพรวม ปริมาณสาร์มอนิกลดลงมากกว่า 80 เมอร์เซ็นต์ รายละเอียดต่างๆเกี่ยวกับการทดสอบการกำจัดสาร์มอนิก ได้รับการนำเสนอไว้ในบทที่ 5

6.2 ข้อเสนอแนะ

1. ในทางปฏิบัติ ควรจะได้มีการพัฒนาอัตโนมัติที่มีระบุเอกสารลักษณ์สาร์มอนิกให้สามารถคำนวณได้รวดเร็วขึ้น โดยการใช้เทคโนโลยีทางซอฟต์แวร์และฮาร์ดแวร์คอมพิวเตอร์สามารถกัน
2. ในทางทฤษฎี ควรให้มีการศึกษาความเป็นไปได้ ที่จะรวมหรือผูกมัดสถานกันด้านระบุเอกสารลักษณ์สาร์มอนิก การควบคุมฮาร์ดแวร์เพื่อการกำจัดสาร์มอนิก และการควบคุมเพื่อปรับปรุงค่าตัวประกอบกำลัง เช้าด้วยกันเป็นหนึ่งเดียว เพื่อการลดต้นทุนของการพัฒนาเทคโนโลยีในอนาคต

บรรณานุกรม

- [1] สราฐพิ ศุจิตชร, รายงานวิจัยฉบับสมบูรณ์ “วงจรกรองกำลังแอคทีฟแบบใหม่ที่ใช้การตรวจวัดชาร์มอนิกในเวลาจริง (รหัสโครงการ SUT7-711-48-24-67)”, มหาวิทยาลัยเทคโนโลยีสุรนารี, 2548
- [2] J. Arrillaga, D.A.Bradley, P.S.Bodger. Power System Harmonics, John Wiley & Sons Ltd., 1985.
- [3] Zainal Salam, Tan Perng Cheng and Awang Jusoh, “Harmonics Mitigation Using Active Power Filter A Technological Review”, Department of Energy Conversion, Faculty of Electrical Engineering, Universiti Teknologi Malaysia, VOL. 8, NO. 2, 2006, pp. 17-26.
- [4] F. Z. Peng, “Harmonic sources and filtering approaches”, IEEE Industry Applications Magazine, vol. 7, Issue 4, July-Aug, 2001, pp. 18-25.
- [5] S. Sujitjorn, K-L. Areerak, and T. Kulworawanichpong, “The DQ Axis With Fourier (DQF) Method for Harmonic Identification”, IEEE Transactions on Power Delivery, vol. 22, no. 1, 2007, pp. 737-739.
- [6] Takeda, M., Ikeda, K., Teramoto, A., and Aritsuka, T. (1998). Harmonic Current and Reactive Power Compensation with an Active Filter. IEEE Power Electronics Specialists Conference (PESC'88), pp. 1174-1170.
- [7] El-Habrouk, M., and Darwish, M.K. (2001). Design and Implementation of a Modified Fourier Analysis Harmonic Current Computation Technique for Power Active Using DSPs. IEE Proc.-Electr. Power Appl. 148(1), pp. 21-28.
- [8] กองพล อารีรักษ์, วิทยานิพนธ์ฉบับสมบูรณ์, “การระบุอุอกถ่ายผ่านชาร์มอนิกสำหรับวงจรกรองกำลังแอคทีฟ”
- [9] IEEE Std. 1036-1992., IEEE Guide for Application of Shunt Power Capacitors., 1992
- [10] วิรัตน์ เกตุสวัสดิ์สมคร, วิทยานิพนธ์ฉบับสมบูรณ์, “การวิเคราะห์และออกแบบวงจรกรองกำลังแบบผสมพาสซีฟและแอคทีฟที่มีการขาดเชยกระแสร้งแอคทีฟและชาร์มอนิก”, สถาบันเทคโนโลยีพระจอมเกล้าอยุธยาลาดกระบัง, 2546
- [11] ATLURI RAMA PRASAD, PHOIVOS D. ZIOGAS, “A Novel Passive Waveshaping Method for Single-phase Diode Rectifiers”, IEEE TRANSACTIONS ON INDUSTRIAL ELECTRONICS, VOL. 31, NO. 6, DECEMBER 1990

ประวัติผู้วิจัย

น้าวَا ชากาศ โภ ดร. สราฐิ สุจิตร สำเร็จการศึกษาวิศวกรรมไฟฟ้า (เกียรตินิยมอันดับ 1) จากโรงเรียนนาเชอร์อาค่า เมื่อ พ.ศ. 2527 และ PhD (Electronic and Electrical Engineering) จาก University of Birmingham, UK เมื่อ พ.ศ. 2530 ปัจจุบันเป็นศาสตราจารย์ประจำสาขาวิชา วิศวกรรมไฟฟ้า สำนักวิชาวิศวกรรมศาสตร์ มหาวิทยาลัยเทคโนโลยีสุรนารี มีความชี่นาญด้าน control system, applied signal processing, AI มีความชี่นาญพิเศษด้านเครื่องสายไฟ ไทย การเดียงและฝึกสูนซ์ มีผลงานหนังสือและตำรา 3 รายการ บทความวิจัยกว่า 100 รายการ และได้จดสิทธิบัตรกว่า 12 รายการ

